

**PROVINCIA DI FERRARA  
COMUNE DI FERRARA**

**REALIZZAZIONE DELLA NUOVA SEDE DEL  
CENTRO UNIFICATO PER L'EMERGENZA DELLA  
PROTEZIONE CIVILE A FERRARA**

EMERGENZA SISMA REGIONE EMILIA-ROMAGNA AI SENSI DELL'ART.1 COMMA 2 DEL D.L. N. 74/2012

**PROGETTO DEFINITIVO**

Redatto secondo l'Art. 28 del DPR 207/2010

**ALLEGATO C.1  
RELAZIONE GEOLOGICA**  
AI SENSI DEL DGR 2193/2015

**REV 1**



IMPRESA GENERALE



# Comune di Ferrara

## Provincia di Ferrara

RELAZIONE GEOLOGICA inerente le indagini eseguite, la caratterizzazione e modellazione geologica del sito (G.2.1. DM 14/01/08)

RELAZIONE GEOTECNICA basata sulle indagini geognostiche effettuate, al fine della caratterizzazione e modellazione del volume significativo di terreno del sito (G.2.2. DM 14/01/08)

Relazione concernente la "RISPOSTA SISMICA DEL SITO" (D.M. 14/01/08 - NNTC) la verifica a possibili fenomeni di liquefazione (D.M. 14/01/2008)

Relazione contenente lo studio di "MICROZONAZIONE SISMICA DEL SITO" (ai sensi della DGR 2193/2015 RER) con verifica del coefficiente di amplificazione del moto sismico secondo approccio descritto nella normativa della Regione Emilia Romagna e verifica dei fenomeni di liquefazione



### OGGETTO:

**Studio di microzonazione sismica  
per l'area denominata "CERPIC"  
presso il Centro Unificato dell'Emergenza  
sul territorio della Protezione Civile  
in progetto in Via Bologna n. 534  
nella località Chiesuol Del Fosso  
nel Comune di Ferrara (FE)**



**GEO GROUP s.r.l.**  
Via C. Costa, 182 - 41123 MODENA  
Tel. 059/3967169 Fax. 059/5332019  
E-mail: [info@geogroupmodena.it](mailto:info@geogroupmodena.it)  
P.IVA e C.F. 02981500362  
[www.geogroupmodena.it](http://www.geogroupmodena.it)



## Relazione Tecnica comprendente:

**RELAZIONE GEOLOGICA** inerente le indagini geognostiche eseguite, la definizione delle unità litotecniche, gli eventuali processi geomorfologici al fine della modellazione geologica del sito (6.2.1. DM 14/01/08)

Relazione concernente la “**RISPOSTA SISMICA DEL SITO**” (*ai sensi del D. M. 14/01/2008 NNTC*) e la verifica agli Stati Limiti Ultimi (SLU) (*6.4 del D.M. 14/01/08*) al fine della progettazione per azioni sismiche

**MICROZONAZIONE SISMICA** dell'area secondo gli *indirizzi per gli studi di microzonazione sismica in Emilia Romagna per la pianificazione territoriale ed urbanistica*, ai sensi della *Delibera di Assemblea Legislativa n.112/2007* e della *Delibera Giunta Regionale n. 2193/2015* e dell'*Ordinanza n. 70 del 13/11/2012*.

## Oggetto:

**Studio di microzonazione sismica per l'area denominata "CERPIC" presso il Centro Unificato dell'Emergenza sul territorio della Protezione Civile in progetto in Via Bologna n. 534 nella località Chiesuol Del Fosso nel Comune di Ferrara (FE).**

## Indice del contenuto

1 PREMESSE.....	3
1.1INQUADRAMENTO GEOGRAFICO .....	6
2. RELAZIONE GEOLOGICA.....	8
2.1MODELLAZIONE GEOLOGICA DEL SITO - GEOLOGIA.....	8
2.2INDAGINI GEOGNOSTICHE .....	8
2.1Prove penetrometriche CPTU e S-CPTU.....	9
3 CLASSIFICAZIONE e CARATTERIZZAZIONE SISMICA DEL SOTTOSUOLO – PROGETTAZIONE PER AZIONI SISMICHE .....	14
3.1INDAGINI GEOFISICHE .....	14
3.1.1 Indagine sismica con metodo MASW.....	14
4.1.2 Indagine sismica passiva con metodo dei microtremori (Re.Mi.).....	15
4.1.3 Indagini sismiche Horizontal to Vertical Spectral Ratio (HVSР) – Metodo di Nakamura ....	16
4.3AZIONE SISMICA: STUDIO DI MICROZONAZIONE SISMICA (III LIVELLO DI APPROFONDIMENTO DGR 2193/15).....	18
3.3.1 VERIFICA DELLA SUSCETTIVITÀ DEL SITO AL FENOMENO DI LIQUEFAZIONE (APPROCCIO DGR 2193/2015).....	26
3.3.2 CALCOLO DEI CEDIMENTI POST-SISMICI .....	28
3.4CATEGORIA DI SOTTOSUOLO (§ 3.2.2 NTC 2008).....	30
5 CONSIDERAZIONI CONCLUSIVE .....	31

## Tavole

Tav. n. 1: "Carta Corografica"	scala 1: 25.000;
Tav. n. 2: "Carta Topografica"	scala 1: 5.000;
Tav. n. 3: "Ripresa fotografica generale dell'area di interesse"	scala grafica;
Tav. n. 4: "Carta della litologia di superficie"	scala grafica;
Tav. n. 5: "Indagini geognostiche"	scala grafica.

## Allegati

- ALL. n. 1** Prove penetrometriche statiche CPTU e SCPTU;  
**ALL. n. 2** Indagini sismiche;  
**ALL. n. 3** Verifica alla liquefazione;

## 1 PREMESSE

Nel mese di Novembre 2017 è stata eseguito il presente studio di microzonazione sismica ai sensi L.R. n. 19/2008 e della D.G.R. n. 2193/2015 relativa all'area denominata "CERPIC" in progetto per la realizzazione del Centro Unificato dell'Emergenza della Protezione Civile in progetto in Via Bologna n. 534 in località Chiesuol Del Fosso nel Comune di Ferrara (FE).





Fig. 1.1: Inquadramento geografico dell'area denominata "CERPIC" in progetto; immagini tratte da *Bing Maps*.

Si riportano di seguito alcuni disegni progettuali inerenti gli interventi in progetto di cui si tratta nella presente relazione di studio di microzonazione sismico.



**Fig. 1.2:** Planimetria di progetto dell'intero lotto oggetto di futura realizzazione del Centro Unificato dell'Emergenza della Protezione Civile.



**Fig. 1.3:** Planimetria di progetto dell'area denominata "CERPIC" di futura realizzazione presso il Centro Unificato dell'Emergenza della Protezione Civile in progetto.

## 1.1 INQUADRAMENTO GEOGRAFICO

L'area in esame è sita a sud-ovest rispetto al centro del Comune di Ferrara (FE), nei pressi della località Chiesuol Del Fosso in Via Bologna n. 534, nei pressi dell'area "Ferrara Fiere Congressi S.r.l.", come illustrato nella "Carta corografica", tavola CTR n. 185\_SE "Ferrara" alla scala 1: 25.000 (**tav. n. 1**); nella "Carta topografica", alla scala 1: 10.000 tratta dalla Carta Geografica Unica della Provincia di Ferrara, (**tav. n. 2**) e nella "Ripresa fotografica generale dell'area di interesse" (**tav. n. 3**), riportate in allegato.

Le coordinate geografiche relative al sito in oggetto, calcolate mediante apposito software ed utilizzando la maglia di punti riportata in figura 1.2 sono le seguenti:

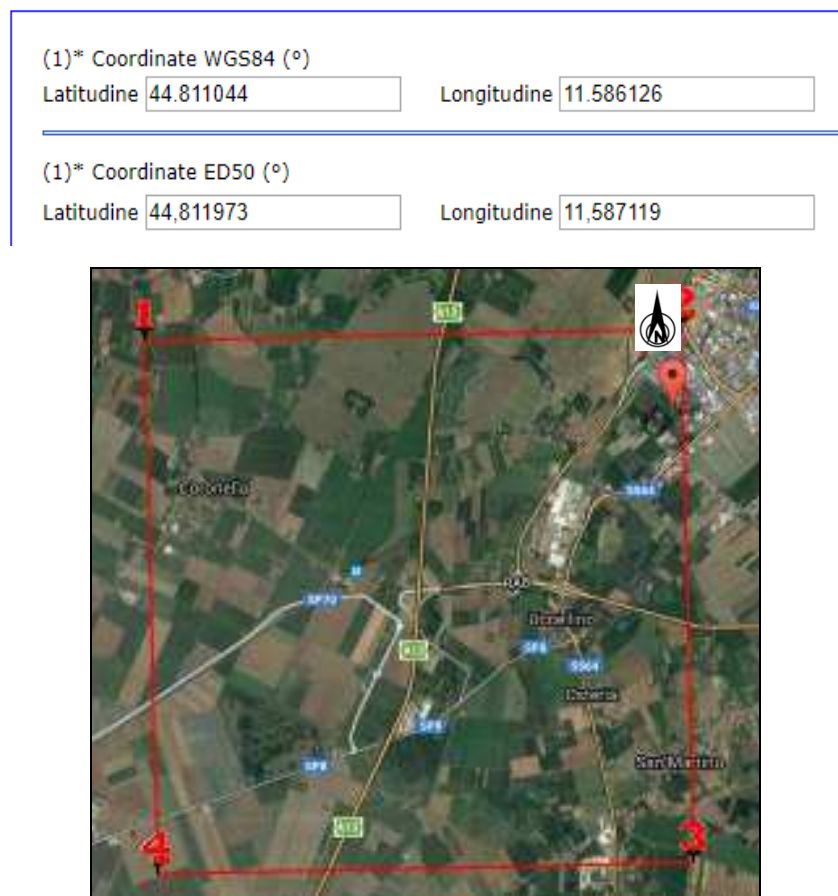


Fig. 1.2: Maglia di punti che identificano l'area di interesse.

Per ottemperare alle richieste del D.M. 14/01/2008 il succitato studio verrà suddiviso nei seguenti ambiti:

- 1) **RELAZIONE GEOLOGICA** riguardante le indagini geognostiche eseguite, la caratterizzazione e modellazione geologica del sito (6.2.1. D.M. 14/01/08);
- 2) Relazione concernente la **"RISPOSTA SISMICA DEL SITO"** (ai sensi del D. M. 14/01/2008 NNTC), la verifica dello Stato Limite Ultimo (SLU) (par. 6.4 del D.M. 14/01/08) e la verifica a possibili fenomeni di liquefazione (D.M. 14 /01/2008)
- 3) **MICROZONAZIONE SISMICA DELL'AREA** ai sensi della Delibera Assemblea Legislativa (DAL) n. 112/2007 Art. 16 c.1 "indirizzi per gli studi di microzonazione sismica in Emilia-Romagna per la pianificazione territoriale e urbanistica" e successiva DGR 2193/2015

## **2. RELAZIONE GEOLOGICA**

---

### **2.1 MODELLAZIONE GEOLOGICA DEL SITO - GEOLOGIA**

---

L'area oggetto di studio è posta a sud-ovest rispetto al centro del Comune di Ferrara (FE). Da quanto si evince dalla cartografia della "Carta Geologica d'Italia in scala 1:100.000", nell'area oggetto di studio affiora la seguente litologia:

#### **S<sup>a</sup> – terreni sabbioso argillosi**

L'area oggetto di studio è posta nella pianura modenese, in una zona pianeggiante alla quota topografica media di circa 7.00 m s.l.m..

### **2.2 INDAGINI GEOGNOSTICHE**

---

In relazione alla litologia presente nell'area e in base alla tipologia di intervento in progetto, la campagna geognostica è stata espletata mediante le seguenti indagini geognostiche:

- **n. 1 prova penetrometrica statica con piezocono sismico SCPTU, che ha raggiunto la profondità di -30.30 m da p.c., eseguita in data 31/10/2017;**
- **n. 1 prova penetrometrica statica con piezocono CPTU, che ha raggiunto la profondità di -20.00 m da p.c., eseguita in data 31/10/2017;**
- **n. 2 indagini sismiche con metodologia MASW, eseguite in data 27/10/2017;**
- **n. 2 indagini sismiche passive con metodologia Re.Mi., eseguite in data 27/10/2017;**
- **n. 3 indagini sismiche passive HVSR, eseguite in data 27/10/2017.**

L'ubicazione delle indagini geognostiche è illustrata nella **tav. n. 5**

## 2.2.1 Prove penetrometriche CPTU e S-CPTU

La prova penetrometrica statica con punta elettrica (CPTE/U), consiste essenzialmente nella misura della resistenza alla penetrazione di una punta conica standard, connessa all'estremità inferiore di una batteria di aste cave, che viene infissa a pressione e velocità costante nel terreno tramite un dispositivo di spinta idraulico che agisce alla sommità delle aste.

La punta elettrica è strumentata con sensori elettrici e un sistema di trasmissione dei dati in superficie via cavo, che permette l'acquisizione e la registrazione dei dati quasi in continuo, ogni centimetro. I dati misurati durante la prova sono la resistenza totale alla penetrazione Qt, la resistenza alla penetrazione della punta Qc e la resistenza laterale del manicotto Fs; è possibile inoltre monitorare, durante l'esecuzione della prova, alcuni parametri di controllo, quali l'inclinazione rispetto alla verticalità e la velocità di penetrazione del cono.

Una punta elettrica particolare, detta “piezocono”, è dotata anche di un dispositivo di misura della pressione, attraverso il quale viene misurata la pressione dell’acqua nei pori del terreno u (CPTU).

La pressione che viene misurata è la pressione  $u = u_0 + \Delta u$ , dove  $u_0$  è la pressione dovuta al livello idrostatico e  $\Delta u$  quella generata dallo sforzo alla penetrazione nel terreno.

Il piezocono da Noi utilizzato è un Tecno Penta TP CPL2IN ed è dotato di un dispositivo di misura della pressione costituito da un cilindro metallico saturato con grasso, situato poco al di sopra della punta conica. Si riporta di seguito lo schema con le caratteristiche del piezocono utilizzato.

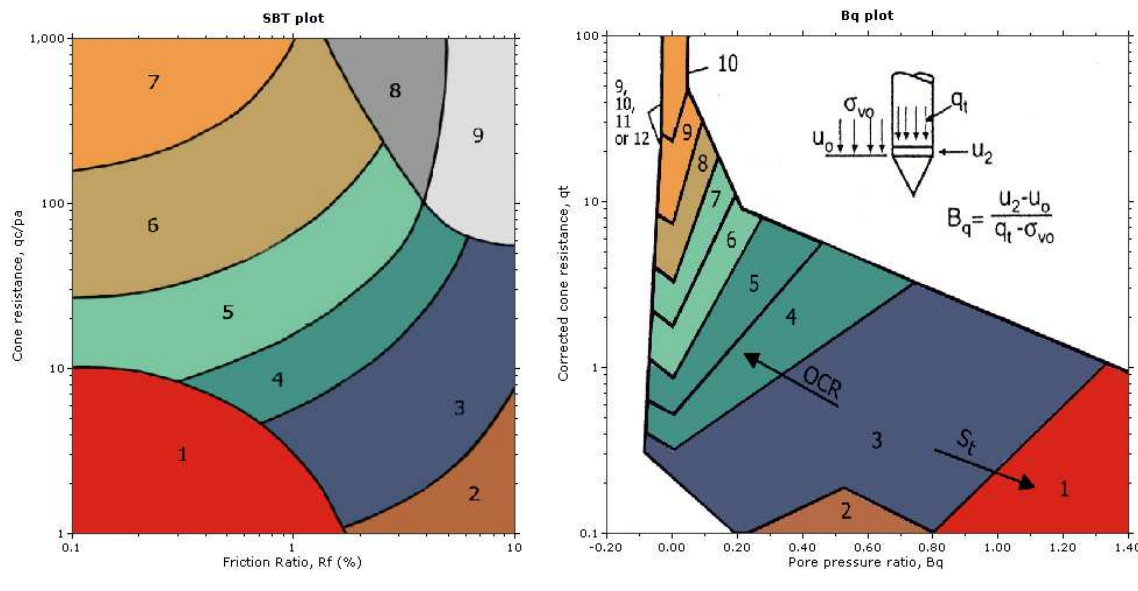
DATI STRUMENTALI DEL PIEZOCONO	
Area punta	10 cm <sup>2</sup>
Area interna punta cono	6.6 cm <sup>2</sup>
Angolo di apertura punta	60 °
Diametro punta conica meccanica	35.7 mm
Altezza manicotto laterale	13.37 cm
Passo	2 cm
Distanza punta/setto poroso	0.4 cm

Tab. 2.1: Caratteristiche del piezocono utilizzato.

I dati acquisiti sono stati elaborati con software CPeT – IT v. 1.7.4.13 prodotto da GeoLogisMiki – Geotechnical Software. I report, in cui sono riportati su grafici i dati di resistenza e pressione interstiziale misurati e l’interpretazione litostatografica e geotecnica delle prove, sono riportati in **allegato n. 1**.

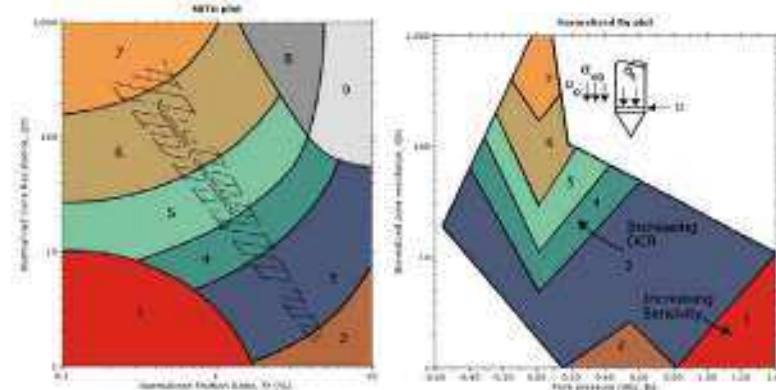
La caratterizzazione litostatografica del terreno è stata effettuata in funzione delle carte proposte da Robertson, in cui il tipo di comportamento del terreno è definito da tre parametri: qt, resistenza

alla punta corretta,  $R_f$ ,  $B_q$ , nella prima carta (1986) e con i parametri normalizzati nella seconda (1990).



#### SBT legend

- |                           |                              |                                   |
|---------------------------|------------------------------|-----------------------------------|
| 1. Sensitive fine grained | 4. Clayey silt to silty clay | 7. Gravely sand to sand           |
| 2. Organic material       | 5. Silty sand to sandy silt  | 8. Very stiff sand to clayey sand |
| 3. Clay to silty clay     | 6. Clean sand to silty sand  | 9. Very stiff fine grained        |



#### SBTn legend

- |                           |                              |                                   |
|---------------------------|------------------------------|-----------------------------------|
| 1. Sensitive fine grained | 4. Clayey silt to silty clay | 7. Gravely sand to sand           |
| 2. Organic material       | 5. Silty sand to sandy silt  | 8. Very stiff sand to clayey sand |
| 3. Clay to silty clay     | 6. Clean sand to silty sand  | 9. Very stiff fine grained        |

La ricerca e la disponibilità di numerosi dati ottenuti in camera di calibrazione e in campagna ha prodotto numerose correlazioni tra i dati misurati in situ ed il valore dei parametri geotecnici caratteristici dei terreni. Il software utilizzato per l'elaborazione della prova utilizza le correlazioni riportate nello schema seguente.

$g = g_n \cdot \left( 0.27 \cdot \log(R_f) + 0.36 \cdot \log\left(\frac{q_t}{P_0}\right) + 1.236 \right)$ <p>where <math>g_n</math> = water unit weight</p>	$G_0 = (q_t - \sigma_v) \cdot 0.0188 \cdot 10^{0.55 I_c + 1.08}$
$\text{:: Permeability, } k \text{ (m/s)} ::$ <p><math>I_c &lt; 3.27</math> and <math>I_c &gt; 1.00</math> then <math>k = 10^{0.952-3.044}</math>.</p> <p><math>I_c \leq 4.00</math> and <math>I_c &gt; 3.27</math> then <math>k = 10^{-4.52+1.274}</math>.</p>	$V_s = \left( \frac{G_0}{\rho} \right)^{0.50}$
$\text{:: N}_60 \text{ (blows per 30 cm)} ::$ $N_{60} = \left( \frac{q_t}{P_0} \right) \cdot \frac{1}{10^{1.059-0.3817 I_c}}$ $N_{600} = \frac{1}{10^{2.2268-0.2817 I_c}}$	$\text{:: Small strain shear Modulus, } G_0 \text{ (MPa)} ::$ $S_u = \frac{(q_t - \sigma_v)}{N_{60}}$ <p>(applicable only to SBTs: 1, 2, 3, 4 and 9 or <math>I_c &gt; I_{c,\text{crit}}</math>)</p>
$\text{:: Young's Modulus, } E_s \text{ (MPa)} ::$ $(q_t - \sigma_v) \cdot 0.015 \cdot 10^{0.55 I_c + 1.08}$ <p>(applicable only to <math>I_c &lt; I_{c,\text{crit}}</math>)</p>	$S_u(\text{rem}) = f_{I_c}$ <p>(applicable only to SBTs: 1, 2, 3, 4 and 9 or <math>I_c &gt; I_{c,\text{crit}}</math>)</p>
$\text{:: Relative Density, } D_r \text{ (%)} ::$ $100 \cdot \frac{Q_m}{k_{DR}}$ <p>(applicable only to SBTs: 5, 6, 7 and 8 or <math>I_c &lt; I_{c,\text{crit}}</math>)</p>	$\text{:: Overconsolidation Ratio, } OCR ::$ $K_{OCR} = \left[ \frac{Q_m^{0.20}}{0.25 \cdot (10.50 + 7 \cdot \log(F_i))} \right]^{1.05}$ $OCR = k_{OCR} \cdot Q_m$ <p>(applicable only to SBTs: 1, 2, 3, 4 and 9 or <math>I_c &gt; I_{c,\text{crit}}</math>)</p>
$\text{:: State Parameter, } \psi ::$ $\psi = 0.56 - 0.33 \cdot \log(Q_{tr,ca})$	$\text{:: In situ Stress Ratio, } K_0 ::$ $K_0 = 0.1 \cdot \left( \frac{q_t - \sigma_v}{\sigma_{v0}} \right)$ <p>(applicable only to SBTs: 1, 2, 3, 4 and 9 or <math>I_c &gt; I_{c,\text{crit}}</math>)</p>
$\text{:: Peak drained friction angle, } \phi^* \text{ (°)} ::$ $\phi^* = 17.60 + 11 \cdot \log(Q_{tr})$ <p>(applicable only to SBTs: 5, 6, 7 and 8)</p>	$\text{:: Soil Sensitivity, } S_t ::$ $S_t = \frac{N_b}{F_i}$ <p>(applicable only to SBTs: 1, 2, 3, 4 and 9 or <math>I_c &gt; I_{c,\text{crit}}</math>)</p>
$\text{:: 1-D constrained modulus, } M \text{ (MPa)} ::$ <p>If <math>I_c &gt; 2.20</math>  <math>\alpha = 14</math> for <math>Q_m &gt; 14</math>  <math>\alpha = Q_m</math> for <math>Q_m \leq 14</math>  <math>M_{CP1} = \alpha \cdot (q_t - \sigma_v)</math></p> <p>If <math>I_c \leq 2.20</math>  <math>M_{CP1} = (q_t - \sigma_v) \cdot 0.0188 \cdot 10^{0.55 I_c + 1.08}</math></p>	$\text{:: Effective Stress Friction Angle, } \phi' \text{ (°)} ::$ $\phi' = 29.5^{\circ} \cdot B_0^{0.121} \cdot (0.256 + 0.336 \cdot B_0 + \log Q_t)$ <p>(applicable for <math>0.10 &lt; B_0 &lt; 1.00</math>)</p>

Fig. 2.2: Correlazioni utilizzate per la stima dei parametri geotecnici.

La prova penetrometrica elettrica con piezocono sismico SCPTU consiste nell'infissione nel terreno di un piezocono standard all'interno del quale sono inseriti tre geofoni per la misura della velocità di propagazione nel terreno delle onde sismiche di taglio S e di compressione P. Le modalità esecutive della prova seguono le normative tecniche standard della classica prova con piezocono la cui infissione viene arrestata ad intervalli regolari di 1,00 metro per effettuare l'acquisizione dei dati sismici tramite sensori e sismografo.

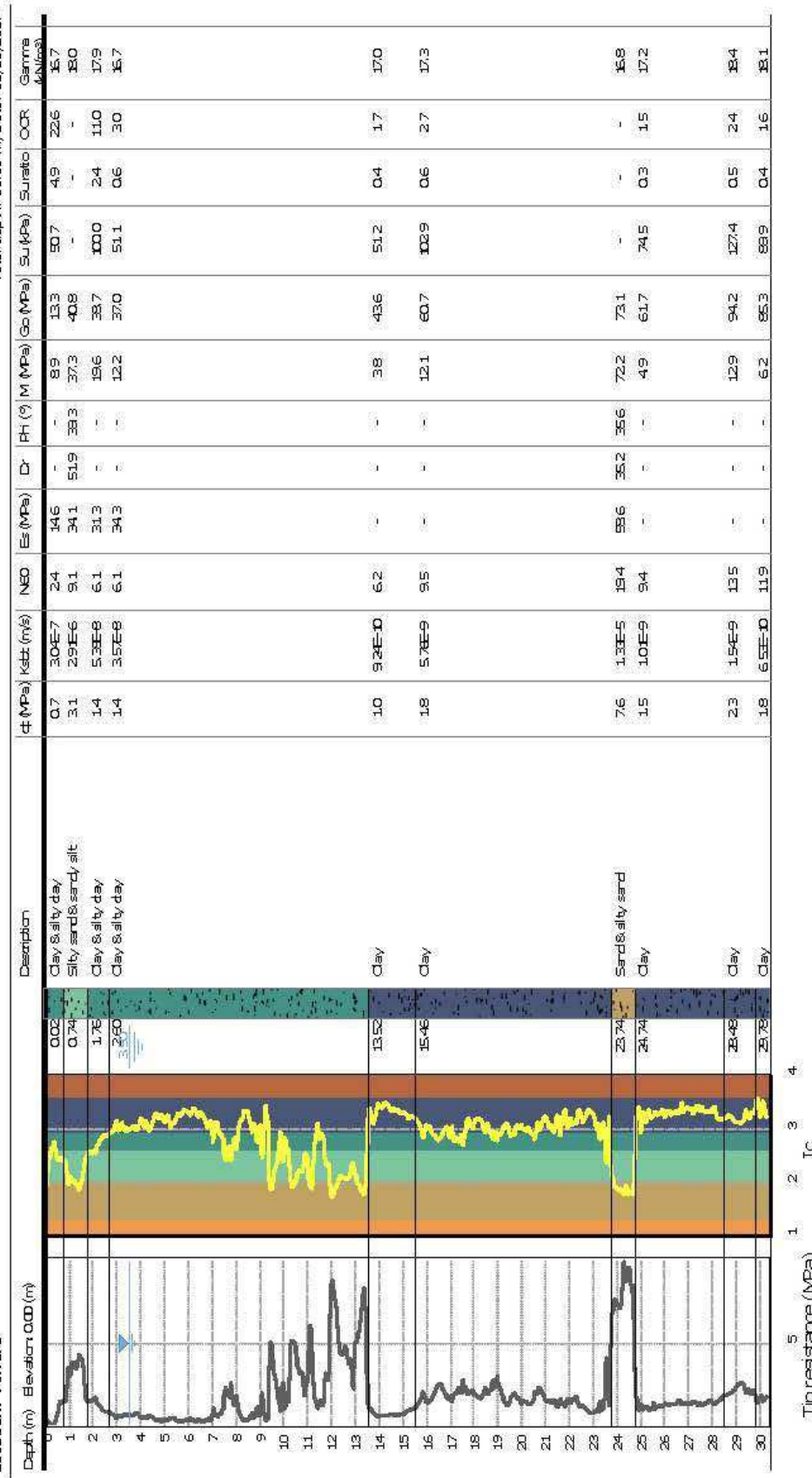
Il sistema di energizzazione del terreno (sorgente delle onde di taglio) è costituito da una pesante traversina in ferro collegata e fissata al penetrometro in modo tale che le terminazioni della traversina siano situate ad una distanza non superiore a 3,00 metri dalla verticale di prova. Le traversine di ferro fissate alle terminazioni vengono colpiti con una mazza o un martello sufficientemente pesanti. Per la valutazione dei tempi di arrivo ad ogni metro di profondità viene utilizzato il metodo del cross-over (sovraposizione di due segnali con opposta polarizzazione) che permette di scartare i segnali non coerenti, individuare i segnali migliori su cui mediare e determinare con precisione i tempi di arrivo delle onde di taglio.

Attraverso le indagini SCPTU proposte, oltre a identificare con esattezza la litostatigrafia dei punti indagati, è stato ricavato il valore di velocità di onde S ad ogni metro di profondità, sulla base di una misura diretta e affidabile. Le misure delle velocità di onde S sono state eseguite fino alla profondità di -30.00 m.

## SEZIONE LITOSTRATIGRAFICA – CPTU1/SCPTU

Project: Centro Unificato dell'Emergenza sul Territorio della Protezione Civile  
Location: Ferrara

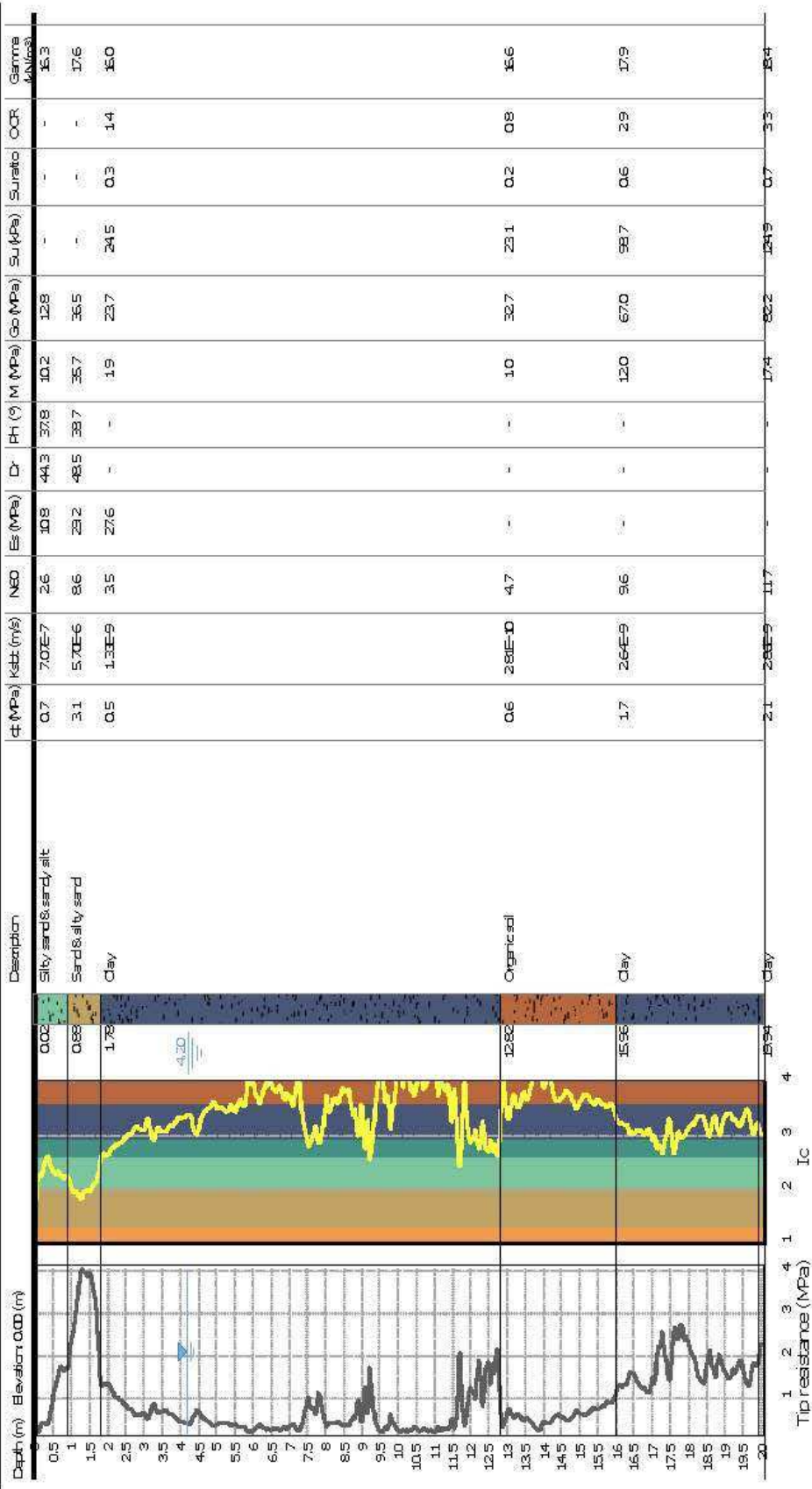
CPT : CPTU 1  
Total depth: 30.30 m, Date: 31/10/2017



## SEZIONE LITOSTRATIGRAFICA – CPTU2

Project: Centro Unificato dell'Emergenza sul Territorio della Protezione Civile  
 Location: Ferrara

CPT : CPTU 2  
 Total depth: 20.00 m Date: 31/10/2017



### **3 CLASSIFICAZIONE e CARATTERIZZAZIONE SISMICA DEL SOTTOSUOLO – PROGETTAZIONE PER AZIONI SISMICHE**

---

#### **3.1 INDAGINI GEOFISICHE**

---

Per la classificazione sismica dell'area di studio, in data **27/10/2017** sono state eseguite in sito le seguenti indagini geofisiche:

- ***n. 2 indagini sismiche con metodo MASW;***
- ***n. 2 indagini sismiche passive con metodo Re.Mi.;***
- ***n. 3 indagini sismiche passive Horizontal to Vertical Spectral Ratio (HVSR) – Metodo di Nakamura.***

L'ubicazione delle indagini eseguite è riportata nella **Tav. n. 5**, mentre in **Allegato n.2** sono presenti i grafici relativi ai risultati ottenuti dall'elaborazione delle indagini sismiche *MASW*, *Re.Mi.* e *HVSR* rispettivamente.

##### **3.1.1 Indagine sismica con metodo MASW**

---

Per misurare le velocità delle onde di taglio si possono eseguire prospezioni sismiche mediante stendimenti superficiali, utilizzando geofoni verticali da 4,5 Hz ed acquisendo attivamente i segnali delle onde rifratte alla superficie mediante una sorgente artificiale provocata. Questa tecnica, nota con la sigla **MASW** (Multichannel Analysis of Surface Waves), permette di ricostruire il profilo verticale delle Vs con procedimenti di modellazione diretta delle velocità di fase delle onde, rifratte alla superficie. Partendo dal sismogramma registrato mediante sorgente energizzante in asse con lo stendimento, viene eseguita un'analisi spettrale che ha consentito di elaborare un'immagine della distribuzione del segnale di velocità sismica in funzione delle diverse frequenze che lo compongono. Da tale elaborazione, tramite una fase di “picking” del segnale ad elevata intensità è stata ottenuta la “**curva di dispersione**”, dalla cui inversione è stato calcolato il **modello sismo-stratigrafico** espresso in termini di velocità delle onde di taglio (Vs). I dati sono stati registrati mediante un sismografo Geode Geometrics 24 bit con filtri disinseriti, velocità di campionamento (sample rate) di 0,2 millisecondi e lunghezza delle acquisizioni di 1 secondo. Si effettuano battute poste ad offset diversi (10 m e 15 m di distanza dal primo geofono) mediante grave da 8,0 kg di massa.

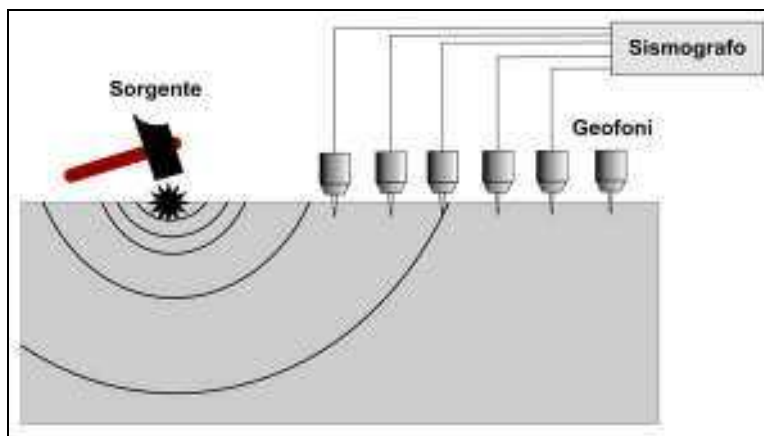


Fig. 3.1: Schema di Array lineare e punto energizzante.



Fig. 3.2: Strumentazione della Geode Geometrics utilizzata per l'esecuzione dell'indagine sismica MASW e ReMi.

#### **4.1.2 Indagine sismica passiva con metodo dei microtremori (Re.Mi.)**

Nel sito oggetto di indagine sono state eseguite n. 2 acquisizioni di rumore sismico ambientale disperso attraverso array di registrazione lineari. Tale tecnica, conosciuta secondo la metodologia Re.Mi. (Louie, 2001), permette di campionare le frequenze più basse, caratterizzanti le porzioni più profonde del sottosuolo. La tecnica Re.Mi. sfrutta la capacità di poter mettere in relazione le velocità di fase e le frequenze, relative alle onde di taglio, con le forme di dispersione delle onde di superficie. I microtremori sismici naturali determinano, in corrispondenza della superficie, la formazione di onde superficiali di Rayleigh. L'indagine Re.Mi è stata eseguita mediante l'ausilio di

sismografo GEODE (Geometrics) con 24 canali di acquisizione. L'array di misura è stato costituito attraverso la disposizione di n. 24 geofoni verticali con frequenza propria di vibrazione pari a 4.5 Hz, con offset geofonico pari a 5.00 m.

La tecnica Re.Mi. utilizza i microtremori naturali come sorgente sismica, trasformando i dati acquisiti da un dominio spazio/tempo a un dominio frequenza/velocità<sup>-1</sup> attraverso una trasformazione definita  $\rho\text{-}\tau$  (Thorson & Claerbout, 1985) e una trasformazione di Fourier applicata nella direzione di  $\tau$ . Così facendo è possibile definire lo spettro energetico relativo alle velocità di fase delle onde di Rayleigh nel dominio frequenza/velocità<sup>-1</sup>. Utilizzando array lineari l'interpretazione degli spettri non risulta pertanto lineare: per ovviare al problema delle velocità apparenti, derivante dal fatto che la direzione di propagazione delle onde nelle tecniche passive non è necessariamente parallela all'array, è di comune prassi eseguire il *pick* dello spettro non al massimo dell'energia ma al minimo.

#### 4.1.3 Indagini sismiche Horizontal to Vertical Spectral Ratio (HVSR) – Metodo di Nakamura

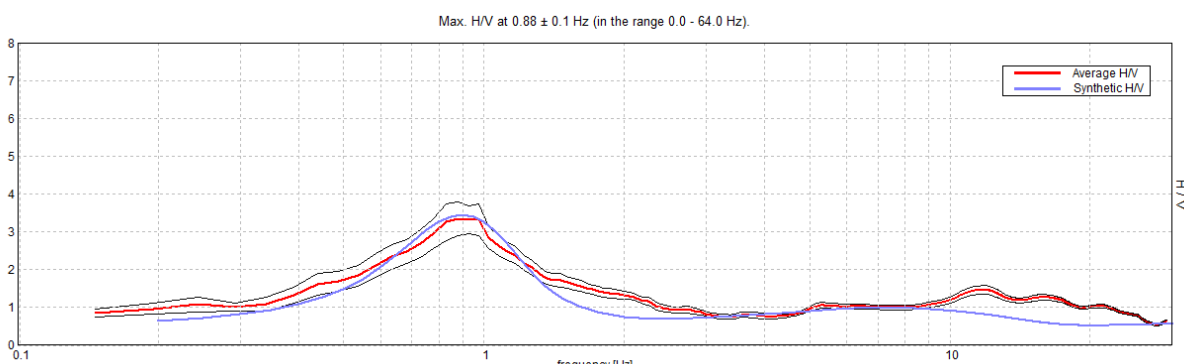
La caratterizzazione sismica dei terreni tramite la tecnica di **indagine sismica passiva HVSR (Horizontal to Vertical Spectral Ratio – Metodo di Nakamura)** è finalizzata all'individuazione delle frequenze caratteristiche di risonanza di sito. Esse sono correlabili ai cambi litologici presenti sia all'interno della copertura che nell'ammasso roccioso. L'utilizzo di algoritmi di calcolo finalizzati ad una modellizzazione sintetica dello spettro H/V, permette di correlare ogni picco spettrale con le discontinuità presenti nel sottosuolo (per esempio i cambi litologici). I dati che si possono ricavare sono spessori, profondità e velocità di propagazione delle onde di taglio all'interno del sismo-strato individuato. Tramite l'elaborazione di moti superiori e l'analisi dell'andamento delle tre componenti del moto, è possibile distinguere i picchi di origine naturale da quelli generati dai moti superiori o da artefatti, al fine di garantire una corretta interpretazione dello spettro sismico registrato. La tecnica dei rapporti spettrali (HVSR) trova la sua massima applicazione negli studi di microzonazione sismica poiché fornisce un parametro fondamentale (frequenza propria di risonanza di sito) per una corretta progettazione di edifici antisismici. Negli ultimi anni si è affermata anche per la sua versatilità poiché si è dimostrato come lo spettro sismico può rappresentare un modello sismo – stratigrafico del sottosuolo.

La tecnica **HVSR** è totalmente **non invasiva, molto rapida**, si può applicare ovunque e non necessita di nessun tipo di perforazione, né di stendimenti di cavi, né di energizzazioni esterne diverse dal rumore ambientale che in natura esiste ovunque. Per l'acquisizione dei dati è stato utilizzato un "velocimetro triassiale" conforme alle norme SESAME.

I risultati che si possono ottenere da indagini sismiche HVSR sono:

- La **frequenza caratteristica di risonanza del sito** che rappresenta un parametro fondamentale per il corretto **dimensionamento degli edifici antisismici**. Si dovranno adottare adeguate precauzioni nell'edificare strutture aventi la stessa frequenza di vibrazione del terreno, per evitare l'effetto di "**doppia risonanza**", fenomeno estremamente pericoloso per la stabilità delle costruzioni.
- La **frequenza fondamentale di risonanza di un edificio**, qualora la misura venga effettuata all'interno dello stesso. In seguito sarà possibile confrontarla con quella caratteristica del sito e capire se, in caso di sisma, la costruzione potrà essere o meno a rischio.
- La **velocità media delle onde di taglio Vs** calcolata tramite un apposito codice di calcolo. È necessario, per l'**affidabilità del risultato**, conoscere la profondità di un riflettore noto dalla stratigrafia (prova penetrometrica, sondaggio, etc.) e riconoscibile nella **curva H/V**. E' possibile calcolare la **Vs30** e la relativa categoria del suolo di fondazione come esplicitamente richiesto dalle Norme Tecniche per le Costruzioni del 14 gennaio 2008.
- La **stratigrafia del sottosuolo** con un *range* di indagine compreso tra 0.5 e 700 m di profondità, anche se il dettaglio maggiore si ha nei primi 100 metri. Il principio su cui si basa la tecnica **HVSR**, in termini di **stratigrafia del sottosuolo**, è rappresentato dalla definizione di strato, inteso come unità distinta da quelle sopra e sottostanti per un **contrasto d'impedenza**, ossia per il rapporto tra i prodotti di velocità delle onde sismiche nel mezzo e densità del mezzo stesso.

Dall'elaborazione delle indagini sismiche passive HVSR eseguite in situ, è stato individuato nello spettro H/V dell'indagine HVSR n. 2 un picco caratteristico alla frequenza  $0.88 \pm 0.1$  Hz; dal confronto tra lo spettro H/V sperimentale e quello sintetico, illustrati in **fig. 3.3**, si è ottenuto il modello sismo-stratigrafico riportato nella **tavella 3.1**.



**Fig. 3.3 – Curva H/V sintetica e sperimentale ottenuta dall'indagine sismica HVSR n. 2.**

Depth at the bottom of the layer [m]	Thickness [m]	Vs [m/s]	Poisson ratio
0.50	0.50	90	0.42
2.50	2.00	110	0.42
7.50	5.00	162	0.42
21.50	14.00	193	0.42
44.50	23.00	244	0.42
76.50	32.00	350	0.42
116.50	40.00	400	0.42
inf.	inf.	500	0.42

Tabella 3.1 – Modello sismo-stratigrafico ottenuto dall'indagine sismica HVSR n. 2.

#### 4.3 AZIONE SISMICA: STUDIO DI MICROZONAZIONE SISMICA (III LIVELLO DI APPROFONDIMENTO DGR 2193/15)

Alla luce di quanto esposto nel § 3.2.2 del D.M. 14/01/2008 e in accordo con quanto esposto nella D.A.L 112/2007 e successiva D.G.R. 2193/2015 della Regione Emilia Romagna, sono stati definiti i fattori di amplificazione dell'accelerazione e delle velocità spettrali secondo uno **studio di risposta sismica locale, secondo III livello di approfondimento**. Per ottemperare ai riferimenti normativi citati l'analisi è stata svolta secondo quanto indicato al § 7.11.3 del D.M. 14/01/2008, attraverso analisi numerica monodimensionale in campo lineare equivalente. Per fare ciò è stato utilizzato come strumento di lavoro il software di calcolo STRATA (University of Texas - Austin).

Ai fini della restituzione degli spettri di accelerazione, relativi allo stato limite SLV, è stata svolta la verifica dell'amplificazione del sito mediante l'utilizzo di un modello simulato in campo lineare equivalente.

Utilizzando un modello lineare equivalente è possibile ottenere una soluzione di un modello non lineare, attraverso analisi lineari complete nelle quali, al termine di ogni interazione vengono aggiornati i parametri di **rigidezza** e **smorzamento** che sono dipendenti dallo stato di deformazione del terreno. Attraverso un'iterazione di calcoli si raggiunge una convergenza prefissata a monte della fase di computazione.

Il software STRATA è in grado di valutare la risposta sismica di un deposito di terreno, considerando un profilo monodimensionale in cui si propagano linearmente le onde sismiche, in funzione dei parametri dinamici attribuiti al terreno. Il terreno viene schematizzato come un sistema di N strati orizzontali omogenei, isotropi e visco-elastici, sovrastanti un semispazio uniforme, attraversati da un treno di onde di taglio che incidono verticalmente le superfici. Ogni strato è descritto per mezzo dello spessore  $H$ , del modulo di taglio massimo  $G_{max}$  o dalla corrispondente velocità massima  $V_{max}$ , dal valore dello smorzamento  $D$ , dal peso dell'unità di volume  $\gamma$  e dalle curve di decadimento del modulo di rigidezza a taglio normalizzato ( $G / G_0 - \gamma$ ) e le corrispondenti curve dello smorzamento ( $D - \gamma$ ) con la deformazione di taglio  $\gamma$ . Il modello lineare visco-elastico fa

riferimento al modello reologico di Kelvin-Voigt, costituito da una molla e uno smorzatore viscoso in parallelo. Tale modello è descritto quindi dalla rigidezza (**G**) e dallo smorzamento (**D**). L'onda monodimensionale viene descritta dall'equazione in cui lo spostamento provocato (*u*) è funzione della profondità (*z*) e del tempo (*t*):

$$u(z, t) = A \exp [i(\omega t + k^* z)] + B \exp [i(\omega t - k^* z)]$$

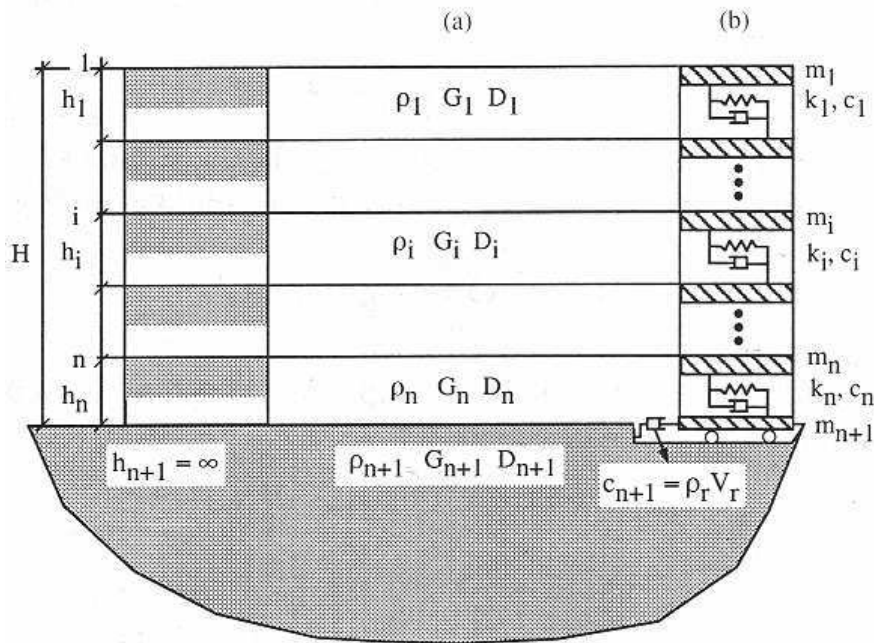
Nell'equazione appena presentata A e B rappresentano le corrispettive amplificazioni del tetto e della base dello strato considerato. Il fattore  $k^*$  risulta dipendente dal modulo di taglio (*G*), dal grado di smorzamento (*D*) e dalla densità del terreno ( $\rho$ ). Le relazioni sono le seguenti:

$$k^* = \frac{\omega}{v_s^*}$$

$$v_s^* = \sqrt{\frac{G^*}{\rho}}$$

$$G^* = G \left( 1 - 2D^2 + i2D \sqrt{1 - D^2} \right) \approx G(1 + i2D)$$

Dove  $G^*$  e  $v_s^*$  rappresentano il modulo di taglio e la velocità di taglio.



**Fig. 4.5:** Modello a strati continui adottato per la simulazione con il codice di calcolo STRATA.

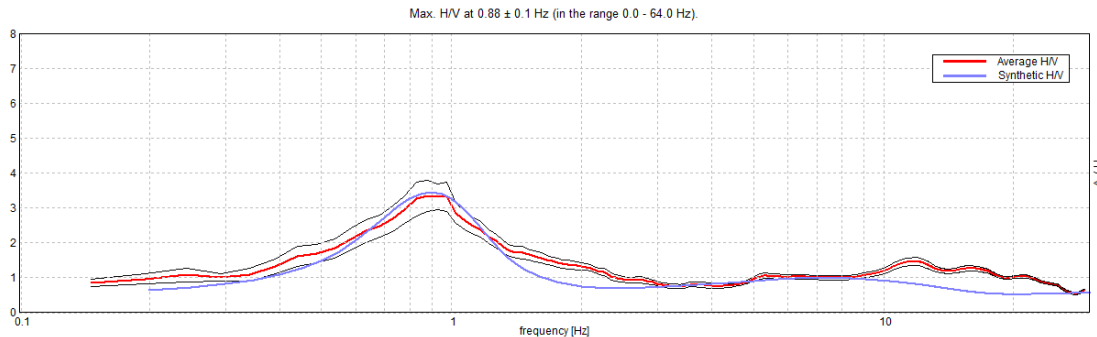
## MODELLO SIMULATO

Il modello simulato deriva dai dati ottenuti dalle prove che compongono la campagna geognostica eseguita in situ. Tale profilo approssima il comportamento del sottosuolo, dal punto di vista sismico, in corrispondenza dell'area studiata. Il profilo considerato deriva dall'interpolazione dei

dati provenienti dalle indagini geofisiche eseguite e i dati, di natura bibliografica, disponibili per il sito di riferimento.

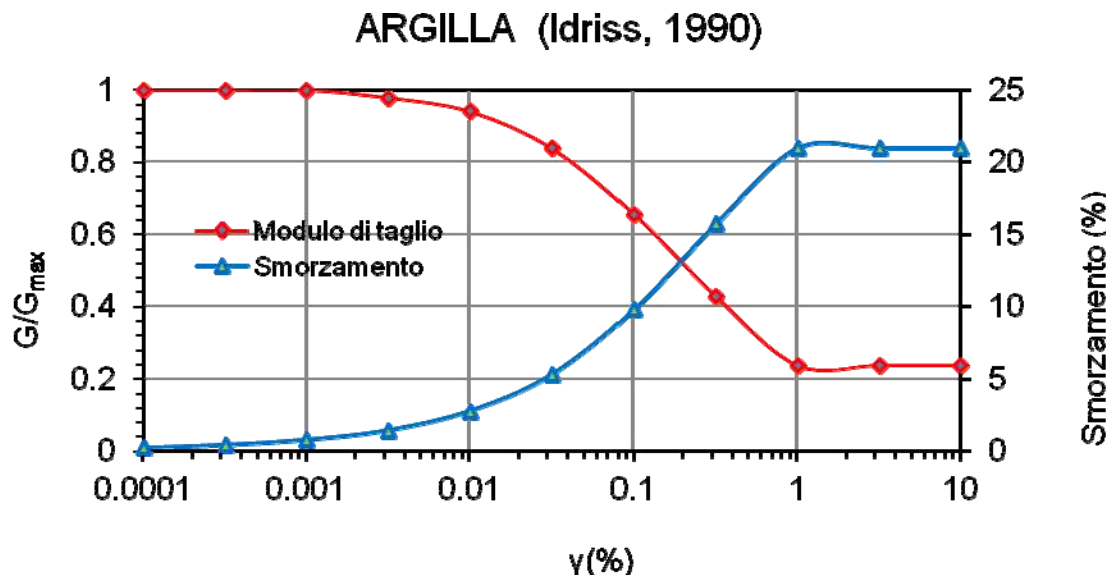
Il profilo sismico utilizzato per la modellazione della RSL deriva dall'elaborazione dell'indagine HVSR n. 2 e delle indagini di superficie eseguite (MASW, REMI). Si illustra successivamente il modello utilizzato:

Depth at the bottom of the layer [m]	Thickness [m]	V <sub>s</sub> [m/s]	Poisson ratio
0.50	0.50	90	0.42
2.50	2.00	110	0.42
7.50	5.00	162	0.42
21.50	14.00	193	0.42
44.50	23.00	244	0.42
76.50	32.00	350	0.42
116.50	40.00	400	0.42
inf.	inf.	500	0.42



**Fig. 3.6:** Modello sismico utilizzato per la RSL eseguita e curva HVSR relativa al modello impiegato

Per descrivere il comportamento dinamico dei terreni costituenti il modello sono state considerate curve di decadimento dei moduli di rigidezza e smorzamento, al variare della deformazione percentuale γ(%). Si riportano successivamente le curve di decadimento considerate per l'esecuzione del calcolo di risposta sismica locale:



**Fig. 3.7:** Curva di decadimento dei moduli  $G/G_{\max}$  e  $D$ , utilizzata per descrivere il comportamento dei materiali coesivi che compongono il sottosuolo in oggetto.

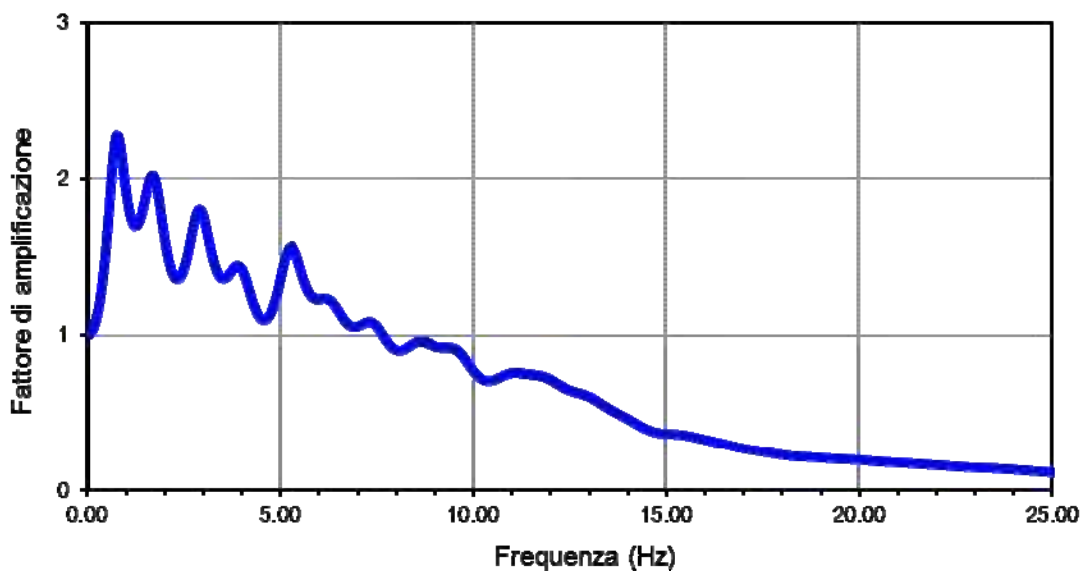
Trattandosi di una verifica a monte di una fase di verifica urbanistica, in accordo con quanto esposto nella D.G.R. 2193/15, l'analisi RSL in oggetto è stata svolta adottando come input sismico 3 accelerogrammi, corrispondenti allo stato limite SLV. I segnali di riferimento sono stati successivamente scalati per il valore di  $PGA_0$  atteso al suolo rigido in corrispondenza dell'areale oggetto di analisi. Per fare ciò è stata considerata l'interpolazione spaziale dei valori di  $PGA_0$  proposta da INGV per il territorio nazionale e resi disponibili per il territorio regionale sui punti di una griglia con passo 0.05 gradi.

Per il sito in oggetto, come rappresentato nella figura successivamente illustrata, tale valore è pari a **0.253 g** considerando un valore di  $Cu = 2.00$  (Classe d'uso IV) e  $V_n = 100$  anni per ottenere un tempo di ritorno pari a 1898 anni.

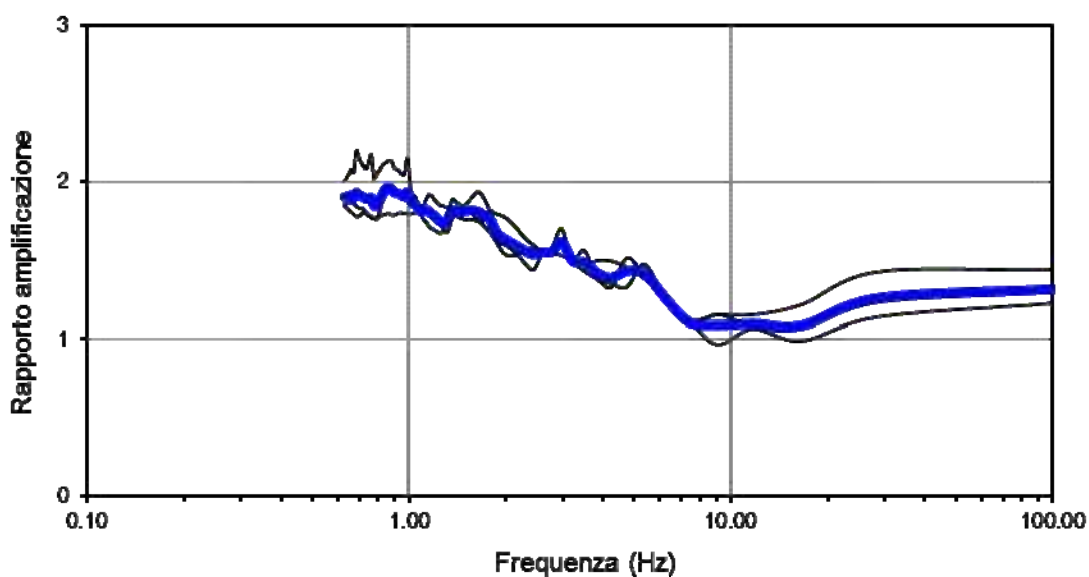
## RISULTATI OTTENUTI

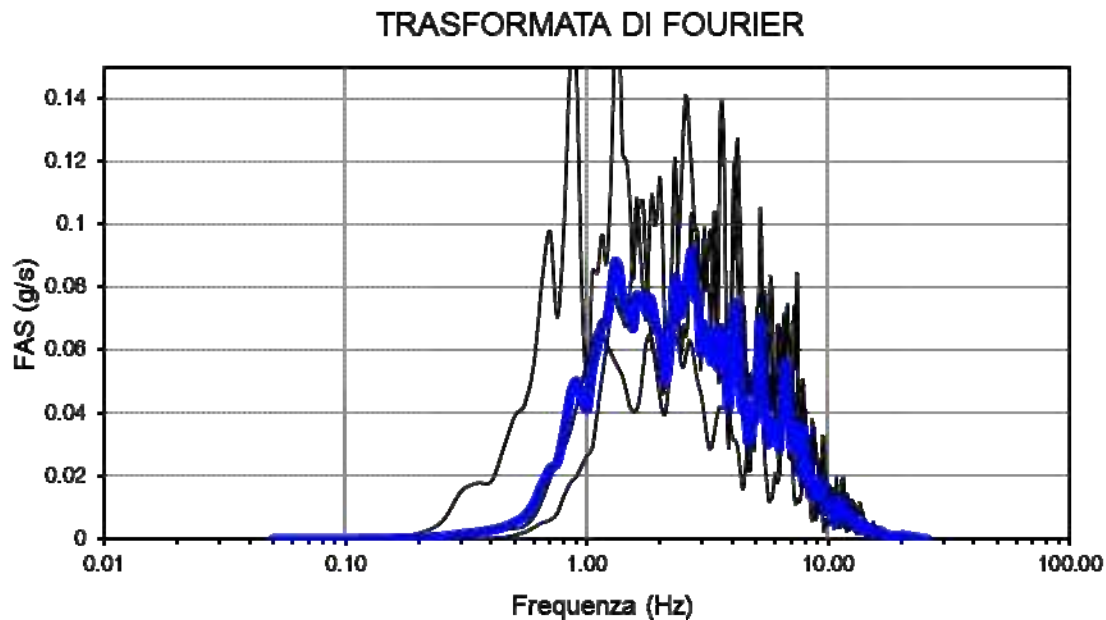
Sulla scorta delle verifiche svolte mediante software STRATA, in riferimento al modello considerato, è stato possibile definire, nel dominio delle frequenze, la funzione TF (Funzione di trasferimento) e rapporto spettrale di amplificazione associato. Per via grafica si inserisce successivamente la funzione di trasferimento TF ottenuta a seguito dell'analisi RSL in oggetto. Attraverso tale funzione è possibile definire il campo di frequenze entro il quale il sottosuolo, in corrispondenza del sito in oggetto, amplifica il segnale sismico, oltre che a quantificare l'amplificazione stessa.

### FUNZIONE DI TASFERIMENTO



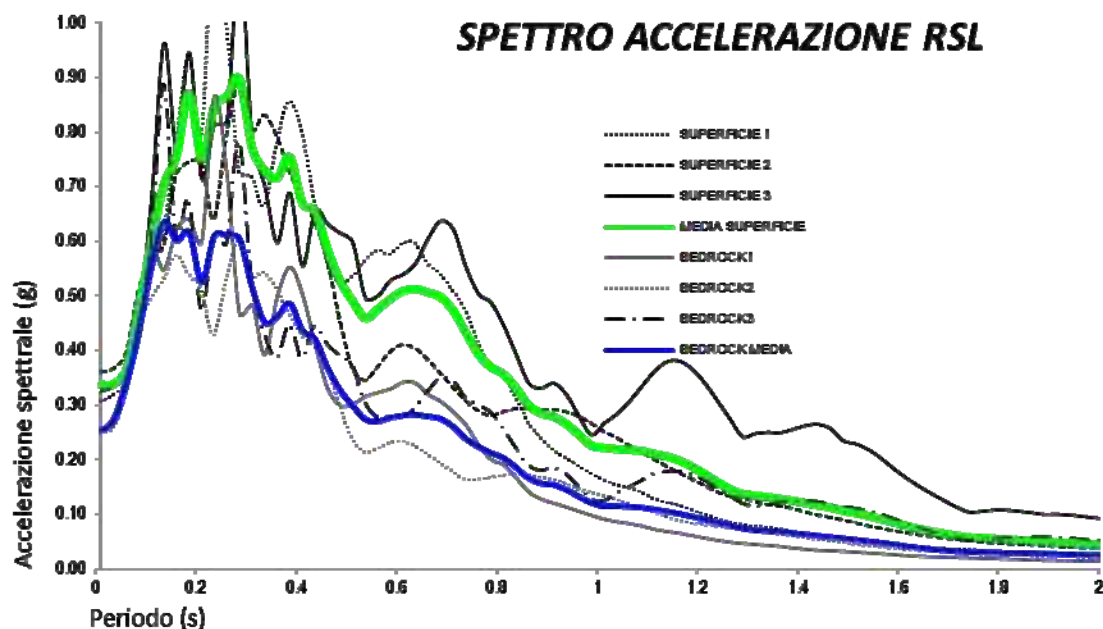
### RAPPORTO SPETTRALE





**Fig. 3.9:** In alto: funzione FTT, funzione FT e rapporto spettrale di amplificazione.

Definiti i parametri che descrivono il comportamento del sottosuolo nel campo elastico lineare equivalente e descritti gli accelerogrammi su suolo rigido validi per il sito in oggetto, attraverso il software STRATA sono state definite le seguenti forme spettrali, in termini accelerazione e velocità alla superficie:



**Fig. 3.10:** Accelerazioni spettrali relative a un periodo di ritorno pari a 1898 anni (SLV).

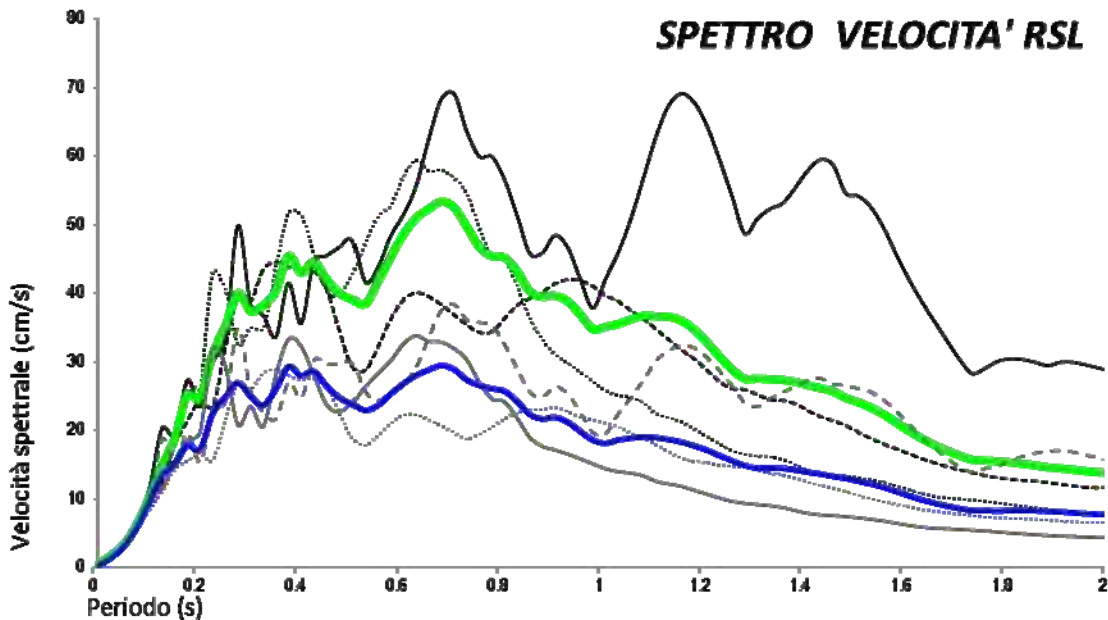
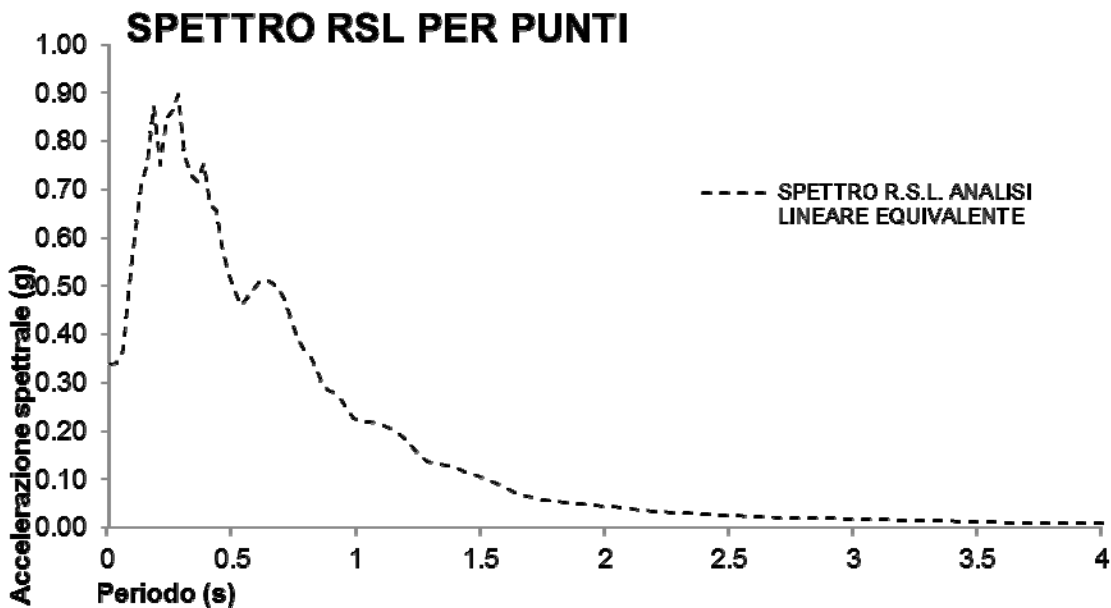


Fig. 3.11: Velocità spettrali relative a un periodo di ritorno pari a 1898 anni (SLV).

A seguito delle risultanze dello studio RSL svolto si definiscono i seguenti parametri sismici caratteristici del sito analizzato:

	F.A. S.I.					
	PGA <sub>0</sub>	F.A. PGA	(0.00 < T(s) < 0.50)	(0.50 < T(s) < 1.00)	(0.50 < T(s) < 1.50)	PGA <sub>MAX</sub>
SLV	0.253	1.33	1.60	1.79	1.97	0.337

Tab. 3.2: Parametri che identificano lo spettro normalizzato (SLV - Tr 1898), derivato dall'analisi mediante il software di calcolo STRATA;



T (s)	Ag								
0.01	0.337	1.04	0.219	2.07	0.042	3.09	0.016	4.12	0.008
0.04	0.339	1.06	0.218	2.09	0.040	3.12	0.016	4.15	0.008
0.06	0.366	1.09	0.216	2.12	0.039	3.14	0.016	4.17	0.008
0.09	0.478	1.11	0.211	2.14	0.037	3.17	0.016	4.20	0.008
0.11	0.600	1.14	0.206	2.17	0.036	3.19	0.016	4.22	0.008
0.14	0.705	1.16	0.199	2.19	0.034	3.22	0.015	4.25	0.008
0.16	0.757	1.19	0.187	2.22	0.033	3.24	0.015	4.27	0.007
0.19	0.872	1.21	0.174	2.24	0.032	3.27	0.015	4.30	0.007
0.21	0.750	1.24	0.159	2.27	0.031	3.29	0.015	4.32	0.007
0.24	0.847	1.26	0.147	2.29	0.030	3.32	0.014	4.35	0.007
0.26	0.866	1.29	0.137	2.32	0.030	3.35	0.014	4.37	0.007
0.29	0.898	1.31	0.135	2.34	0.029	3.37	0.014	4.40	0.007
0.31	0.771	1.34	0.132	2.37	0.029	3.40	0.014	4.42	0.007
0.34	0.730	1.36	0.129	2.39	0.028	3.42	0.013	4.45	0.007
0.36	0.716	1.39	0.125	2.42	0.028	3.45	0.013	4.47	0.007
0.39	0.755	1.41	0.121	2.44	0.027	3.47	0.013	4.50	0.006
0.41	0.670	1.44	0.117	2.47	0.026	3.50	0.012	4.52	0.006
0.44	0.656	1.46	0.113	2.49	0.026	3.52	0.012	4.55	0.006
0.46	0.585	1.49	0.107	2.52	0.025	3.55	0.011	4.57	0.006
0.49	0.528	1.51	0.102	2.54	0.024	3.57	0.011	4.60	0.006
0.51	0.490	1.54	0.097	2.57	0.024	3.60	0.011	4.62	0.006
0.54	0.459	1.56	0.092	2.59	0.023	3.62	0.011	4.65	0.006
0.56	0.476	1.59	0.085	2.62	0.023	3.65	0.010	4.67	0.006
0.59	0.495	1.61	0.079	2.64	0.022	3.67	0.010	4.70	0.006
0.61	0.509	1.64	0.074	2.67	0.022	3.70	0.010	4.72	0.006
0.64	0.513	1.66	0.069	2.69	0.021	3.72	0.010	4.75	0.006
0.66	0.507	1.69	0.065	2.72	0.021	3.75	0.010	4.77	0.006
0.69	0.498	1.72	0.061	2.74	0.020	3.77	0.010	4.80	0.006
0.71	0.473	1.74	0.058	2.77	0.020	3.80	0.009	4.82	0.006

0.74	0.433	1.77	0.057	2.79	0.020	3.82	0.009	4.85	0.005
0.76	0.393	1.79	0.056	2.82	0.020	3.85	0.009	4.87	0.005
0.79	0.370	1.82	0.054	2.84	0.019	3.87	0.009	4.90	0.005
0.81	0.357	1.84	0.053	2.87	0.019	3.90	0.009	4.92	0.005
0.84	0.331	1.87	0.051	2.89	0.019	3.92	0.009	4.95	0.005
0.86	0.300	1.89	0.050	2.92	0.019	3.95	0.009	4.97	0.005
0.89	0.285	1.92	0.048	2.94	0.019	3.97	0.009	5.00	0.005
0.91	0.279	1.94	0.047	2.97	0.018	4.00	0.009		
0.94	0.265	1.97	0.046	2.99	0.018	4.02	0.009		
0.96	0.246	1.99	0.045	3.02	0.017	4.05	0.009		
0.99	0.226	2.02	0.044	3.04	0.017	4.07	0.008		
1.01	0.222	2.04	0.043	3.07	0.017	4.10	0.008		

### 3.3.1 VERIFICA DELLA SUSCETTIVITÀ DEL SITO AL FENOMENO DI LIQUEFAZIONE (APPROCCIO DGR 2193/2015)

In accordo con la normativa regionale DGR 2193/2015 si è proceduto alla verifica della liquefazione per entrambe le verticali di prova CPTU1/SCPTU e CPT2.

La valutazione del fenomeno della liquefazione viene svolta attraverso il calcolo del fattore di sicurezza di ciascun livello che compone il sottosuolo analizzato nei confronti del fenomeno stesso. Il fattore di sicurezza è derivato secondo la seguente formulazione:

$$F_L(z) = \frac{CRR_{M=7.5; \sigma_v=1atm}}{CSR} \cdot MSF \cdot K_\sigma$$

Dove:

**CRR** è rappresentato dal rapporto di resistenza ciclica

**MSF** rappresenta il fattore di scala della magnitudo che è funzione della magnitudo stessa, della PGA e del valore di CRR

**K<sub>σ</sub>** è il fattore di correzione che tiene conto della pressione efficace alla profondità a cui la resistenza viene valutata

**CSR** è il rapporto di tensione ciclica, ovvero la tensione di taglio indotta dall'azione sismica, normalizzata rispetto alla tensione verticale efficace. Tale parametro è derivabile secondo la seguente formulazione:

$$CSR = \frac{\tau_{media}}{\sigma_{v0}} = 0.65 \cdot \frac{a_{max}}{g} \cdot \frac{\sigma_{v0}}{\sigma_{v0}} \cdot r_d$$

i termini che compongono la seguente relazione sono rappresentati da a<sub>max</sub>/g che descrive il valore dell'accelerazione orizzontale a T = 0.00 s, il rapporto della tensione litostatica totale ed efficace, e

il coefficiente riduttivo  $r_d$ . Quest'ultimo, in accordo con la predetta normativa è stato stimato secondo la seguente formulazione:

$$r_d = \exp [\alpha(z) + \beta(z) \cdot M]$$

$$\alpha(z) = -1.012 - 1.126 \cdot \sin\left(\frac{z}{11.73} + 5.133\right)$$

$$\beta(z) = 0.106 + 0.118 \cdot \sin\left(\frac{z}{11.28} + 5.142\right)$$

dove  $M$  rappresenta il valore di magnitudo di riferimento per il sito in analisi.

Il valore **CRR** è stato ricavato attraverso la metodologia di calcolo proposta da **Boulanger & Idriss 2014**. Per le specifiche della procedura di calcolo adottata si faccia riferimento all'allegato **A2.2** della DGR 2193/2015 della Regione Emilia Romagna.

Le verifiche sono state svolte considerando una magnitudo di riferimento  **$M = 6.14$** , una accelerazione massima al suolo  **$A_{max} = 0.337 \text{ g}$**  (**Approccio DGR 2193/15 III livello di approfondimento**) e con soggiacenza della falda freatica alla profondità di  **$D_w = -3.50 \text{ m da p.c.}$** .

A seguito dell'identificazione del fattore di sicurezza  $F_L$  è stato determinato l'indice potenziale di liquefazione IL (LPI) attraverso il quale è possibile definire l'esposizione del sito al rischio di liquefazione. Il potenziale di liquefazione LPI è stato determinato secondo la seguente formulazione:

$$I_L = \int_0^{z_{crit}} F(z) \cdot w(z) \cdot dz \quad \text{in cui} \quad w(z) = \frac{200}{z_{crit}} \cdot \left(1 - \frac{z}{z_{crit}}\right)$$

Dove  $F(z)$  viene determinato secondo le formulazioni proposte da Somnez (2003)

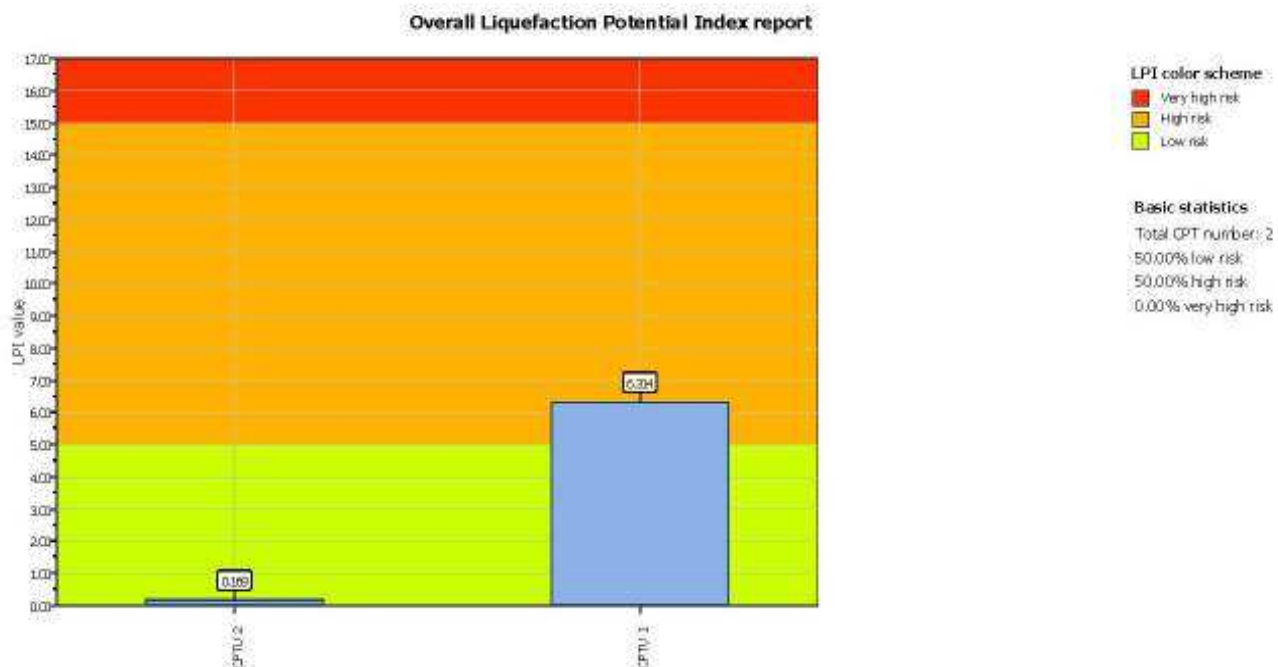
$F(z) = 0$	per	$F_L \geq 1.2$
$F(z) = 2 \cdot 10^6 \cdot \exp(-18.427 \cdot F_L)$	per	$1.2 > F_L \geq 0.95$
$F(z) = 1 - F_L$	per	$F_L \leq 0.95$

In base al valore di LPI ottenuto è possibile fornire un'indicazione del rischio di liquefazione. In considerazione delle linee guida emesse dalla Regione Emilia Romagna, a seguito degli eventi sismici di maggio e giugno 2012, si considera la classificazione di rischio definita da **Somnez (2003)**:

INDICE DI LIQUEFAZIONE	Rischio di liquefazione
LPI=0	Nullo
0<LPI≤2	Basso
2<LPI≤5	Moderato
5<LPI≤10	Alto
10>LPI	Molto alto

A seguito della verifica, in riferimento alla verticale di prova CPT, è stato ottenuto il seguente indice LPI (Indice potenziale liquefazione):

INDAGINE	INDICE DI LIQUEFAZIONE LPI	RISCHIO
CPTU 1/SCPTU	6.314	ALTO
CPTU 2	0.169	BASSO



### 3.3.2 CALCOLO DEI CEDIMENTI POST-SISMICI

Per ottemperare alla normativa regionale DGR 2193/2015 è stata svolta la verifica quantitativa dei sedimenti post-sismici dei livelli granulari saturi, granulari insaturi e dei livelli coesivi soffici. La verifica dei sedimenti è stata eseguita considerando le verticali di entrambe le prove CPTU.

#### CEDIMENTI POST-SISMICI – TERRENI GRANULARI SATURI

La stima dei sedimenti dei terreni granulari saturi è stata svolta in relazione alla resistenza alla punta della prova CPTU, normalizzata e corretta ( $q_{c1N}^{cor}$ ) e del coefficiente di sicurezza alla liquefazione  $F_L$ . Il cedimento post-sismico per ciascuno strato è dato da  $\Delta s_i = \epsilon_{vi} \Delta z_i$ . La deformazione volumetrica  $\epsilon_{vi}$  è stata stimata secondo la metodologia proposta da Idriss e Boulanger (2008) e dettagliata al punto B.1 dell'allegato A2.2 della DGR 2391/2015.

## **CEDIMENTI POST-SISMICI – TERRENI GRANULARI INSATURI**

La valutazione della suscettibilità di addensamento dei terreni granulari insaturi e conseguente cedimento è stata calcolata derivando la deformazione volumetrica per un numero di cicli equivalente  $N_c$  il cui valore è funzione della magnitudo del terremoto secondo l'equazione  $N_c = (M-4)^{2.17}$ . La procedura di calcolo completa viene descritta al punto B.2 dell'allegato A2.2 della DGR 2193/2015.

## **CEDIMENTI POST-SISMICI – TERRENI COESIVI SOFFICI**

I cedimenti dei livelli coesivi è stata svolta solamente per gli strati dotati di  $c_u < 70 \text{ kPa}$  e  $Ip > 30 \%$ . L'entità del cedimento di riconsolidazione conseguente alla dissipazione delle pressioni interstiziali accumulate durante il terremoto è stata stimata mediante la formulazione proposta da Yashihara e Andersen (1991). In tale equazione, descritta dettagliatamente al punto B.3 dell'allegato A2.2 della DGR 2193/2015, l'indice di ricompressione  $C_r$  è stato assunto pari all'indice di rigonfiamento  $C_s$ , funzione del modulo edometrico. Nel presente caso, sulla scorta dei valori di resistenza alla punta ottenuti a seguito della prova CPTU eseguita, il modulo edometrico è stato ricavato mediante la relazione proposta da Mitchell & Gardner (1975)

La verifica dei cedimenti sismici è stata eseguita considerando una soggiacenza della falda freatica pari a **Dw = -3.50 m** da p.c., il valore di PGA derivante dall'analisi RSL eseguita e una magnitudo di riferimento pari a **M = 6.14**.

Si illustrano successivamente i valori di cedimenti post-sismici totali ottenuti:

<b>CEDIMENTI POST SISMICI TOTALI DGR 2193/2015)</b>	
CPTU1/SCPTU	10.899 cm
CPTU2	0.259 cm

I cedimenti calcolati sono da intendersi verificabili solamente al termine di un evento sismico avente magnitudo e accelerazioni comparabili a quelle utilizzate per le analisi descritte.

### 3.4 CATEGORIA DI SOTTOSUOLO (§ 3.2.2 NTC 2008)

Per determinare il parametro Vs<sub>30</sub> e definire quindi la categoria di sottosuolo dell'area indagata (§ 3.2.2 NTC 2008) sono state eseguite in situ le indagini sismiche descritte nei paragrafi precedenti della presente relazione. L'elaborazione delle indagini sismiche sopra citate restituisce un grafico che riporta la curva di dispersione attraverso un'immagine a colori che mostra il profilo delle velocità delle onde di Rayleigh come velocità di fase e frequenza. Analizzando tale grafico si ottiene un modello teorico dell'andamento delle Vs con la profondità fino ad una quota di –30.00 m dal piano di posa delle fondazioni, attraverso la formula:

$$V_{s,30} = \frac{30}{\sum_i \frac{h_i}{V_{si}}}$$

Dall'elaborazione delle indagini sismiche eseguite sono stati ottenuti valori di V<sub>s30</sub> pari a:

INDAGINE	V <sub>s30</sub> (m/s)
MASW n. 1	185
MASW n. 2	196
Re.Mi. n. 1	189
Re.Mi. n. 2	199
HVSR n. 2	185
CPTU1/SCPTU	181

Pertanto, secondo la classificazione proposta dalle NTC 2008 basata sul parametro V<sub>s30</sub>, si definisce il sottosuolo dell'area studiata come appartenente alla **CATEGORIA C**, corrispondente a

depositi di terreni a grana grossa mediamente addensati o terreni a grana fina mediamente consistenti con spessori superiori a 30 m, caratterizzati da un graduale miglioramento delle proprietà meccaniche con la profondità e da valori di **V<sub>s30</sub> compresi tra 180 e 360 m/s (ovvero 15 < N<sub>SPT,30</sub> < 50 nei terreni a grana grossa e 70 < c<sub>u,30</sub> < 250 kPa nei terreni a grana fina).**

Tuttavia, alla luce dei risultati ottenuti dall'analisi di risposta sismica locale e di verifica alla suscettività nei confronti della liquefazione, che ha fornito, per la prova CPTU1/SCPTU, un valore di IL=6.314, corrispondente a un **rischio di liquefazione alto**.

Pertanto, si ritiene di dover classificare il sottosuolo in oggetto come appartenente alla **CATEGORIA S2**, corrispondente a

depositi di terreni suscettibili di liquefazione, di argille sensitive o qualsiasi altra categoria di sottosuolo non classificabile nei tipi precedenti.

## 5 CONSIDERAZIONI CONCLUSIVE

La presente relazione è stata redatta al fine di fornire lo studio di microzonazione sismica ai sensi L.R. n. 19/2008 e della D.G.R. n. 2193/2015 relativa all'area denominata "CERPIC" in progetto per la realizzazione del Centro Unificato dell'Emergenza della Protezione Civile in progetto in Via Bologna n. 534 in località Chiesuol Del Fosso nel Comune di Ferrara (FE).

Per la caratterizzazione litostratigrafica dell'area in oggetto sono state eseguite n. 1 prova penetrometrica statica con piezocone sismico SCPTU e n. 1 prova penetrometrica statica con piezocone CPTU.

Dall'elaborazione delle indagini sismiche eseguite in situ sono stati ottenuti i valori di  $V_{S30}$  pari a:

INDAGINE	$V_{S30}$ (m/s)
MASW n. 1	<b>185</b>
MASW n. 2	<b>196</b>
Re.Mi. n. 1	<b>189</b>
Re.Mi. n. 2	<b>199</b>
HVSR n. 2	<b>185</b>
CPTU1/SCPTU	<b>181</b>

La presente relazione è stata redatta in accordo con i nuovi indirizzi di Microzonazione sismica della Regione Emilia Romagna (**DGR 2193/2015**). È stata eseguita una valutazione del fattore di amplificazione e delle relative intensità spettrali secondo uno studio di III livello di approfondimento. A seguito delle risultanze dello studio RSL svolto si definiscono i seguenti parametri sismici caratteristici del sito analizzato:

	F.A. S.I.					$PGA_{MAX}$
	$PGA_0$	F.A. $PGA$	(0.00 < T(s) < 0.50)	(0.50 < T(s) < 1.00)	(0.50 < T(s) < 1.50)	
<b>SLV</b>	0.253	1.33	1.60	1.79	1.97	0.337

Per ottemperare alla normativa regionale DGR 2193/2015 è stata svolta la verifica quantitativa dei sedimenti post-sismici dei livelli granulari saturi, granulari insaturi e dei livelli coesivi soffici. La verifica dei sedimenti è stata eseguita considerando le verticali di entrambe le prove CPTU.

Si illustrano successivamente i valori di sedimenti post-sismici totali ottenuti:

CEDIMENTI POST SISMICI (DGR 2193/2015)	
CPTU1/SCPTU	10.899 cm
CPTU2	0.259 cm

I cedimenti calcolati sono da intendersi verificabili solamente al termine di un evento sismico avente magnitudo e accelerazioni comparabili a quelle utilizzate per le analisi descritte.

Secondo la classificazione del sottosuolo proposta dalle NTC 2008 basata sul parametro  $V_{s30}$ , si definisce il sottosuolo dell'area studiata come appartenente alla **CATEGORIA C**.

Tuttavia, dall'analisi di risposta sismica locale e di verifica alla suscettività nei confronti della liquefazione, che ha fornito, per la prova CPTU1/SCPTU, un valore di  $IL=6.314$ , corrispondente a un **rischio di liquefazione alto**. Inoltre, si ritiene che la soggiacenza della falda, che durante le indagini eseguite in situ è stata rinvenuta alla quota  **$D_w=-3.50 \text{ m da p.c.}$**  (CPTU1/SCPTU), sia suscettibile di innalzamenti dovuti a stagionalità.

Pertanto, si ritiene di dover classificare il sottosuolo in oggetto come appartenente alla **CATEGORIA S2**, corrispondente a

depositi di terreni suscettibili di liquefazione, di argille sensitive o qualsiasi altra categoria di sottosuolo non classificabile nei tipi precedenti.

**Tutto ciò premesso, in fase di progettazione esecutiva si ritiene opportuno effettuare una indagine geognostica di dettaglio, al fine di confermare i risultati finora ottenuti, per definire un quadro geologico e geotecnico più completo, ai fini di calcolare gli stati limite SLU e i cedimenti delle fondazioni delle strutture da realizzare.**

A disposizione per ulteriori chiarimenti cogliamo l'occasione per porgere distinti saluti.

Modena, 10 novembre 2017

Dott. Geol. Pier Luigi Dallari



## **GEO GROUP s.r.l.**

Indagini geognostiche e geofisiche – geologia applicata alle costruzioni – laboratorio geotecnico - idrogeologia  
– coltivazione cave– bonifiche – consolidamenti – geologia ambientale – consulenze geologiche e geotecniche

## **TAVOLE**

**GEOGROUPS.r.l.**

Indagini geognostiche, geofisiche e consulenze geologiche e geotecniche  
182, via C. Costa 41100 Modena - Tel. 059/3967169 - Fax. 059/5332019- E-mail: geo.group@libero.it



Tav. n. 1 “Carta Corografica”

Scala 1: 25.000



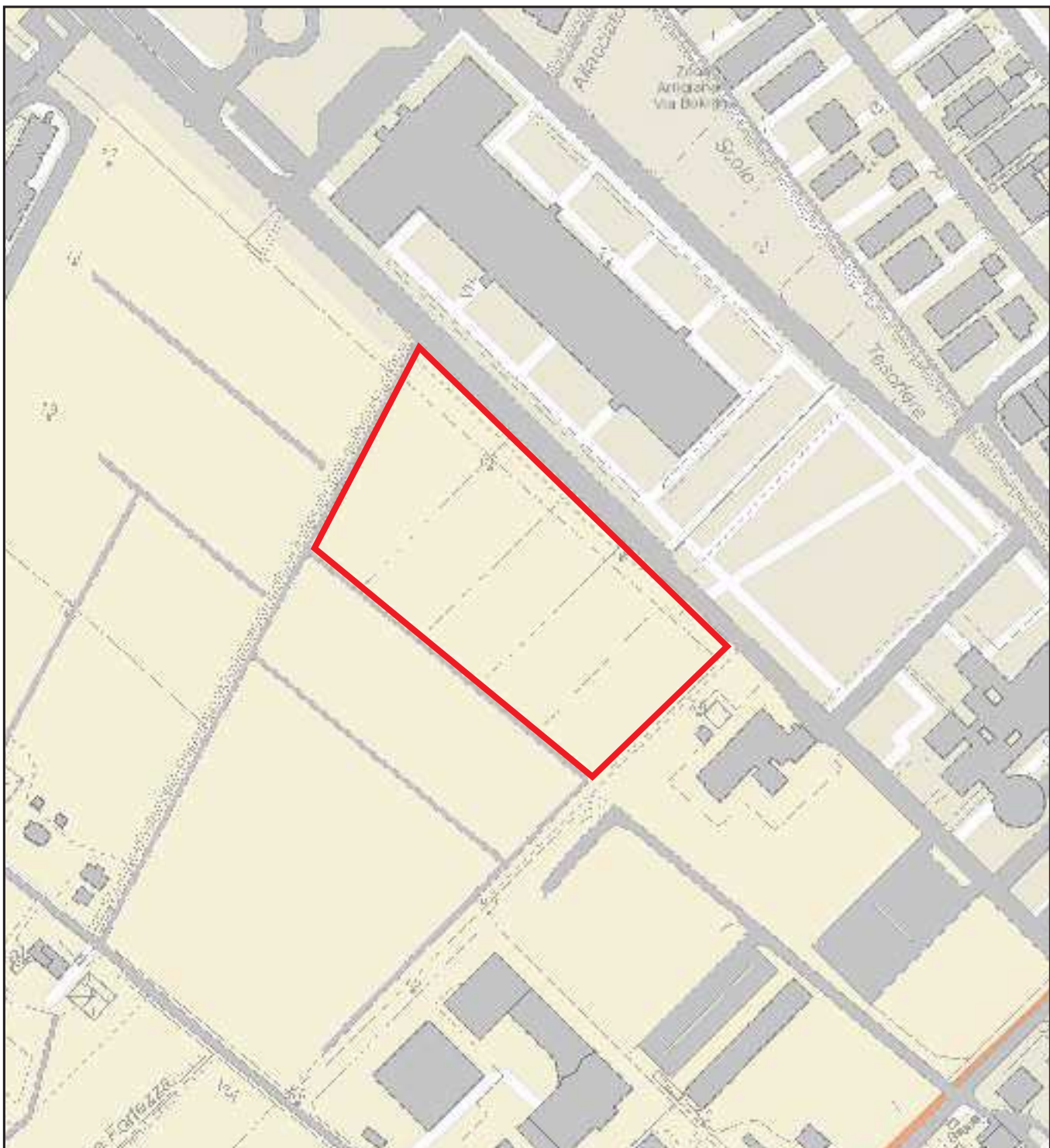
Legenda



Area di interesse

GEOGROUPS.r.l.

**Indagini geognostiche, geofisiche e consulenze geologiche e geotecniche**  
182, via C. Costa 41100 Modena - Tel. 059/3967169 - Fax. 059/5332019- E-mail: geo.group@libero.it



# Tav. n. 2 “Carta topografica” Scala 1: 5.000



## *Legenda*

## Area di interesse

*tratto da:*



**GEOGROUP s.r.l.**

**Indagini geognostiche, geofisiche e consulenze geologiche e geotecniche**  
182, via C. Costa 41100 Modena - Tel. 059/3967169 - Fax. 059/5332019- E-mail: geo.group@libero.it



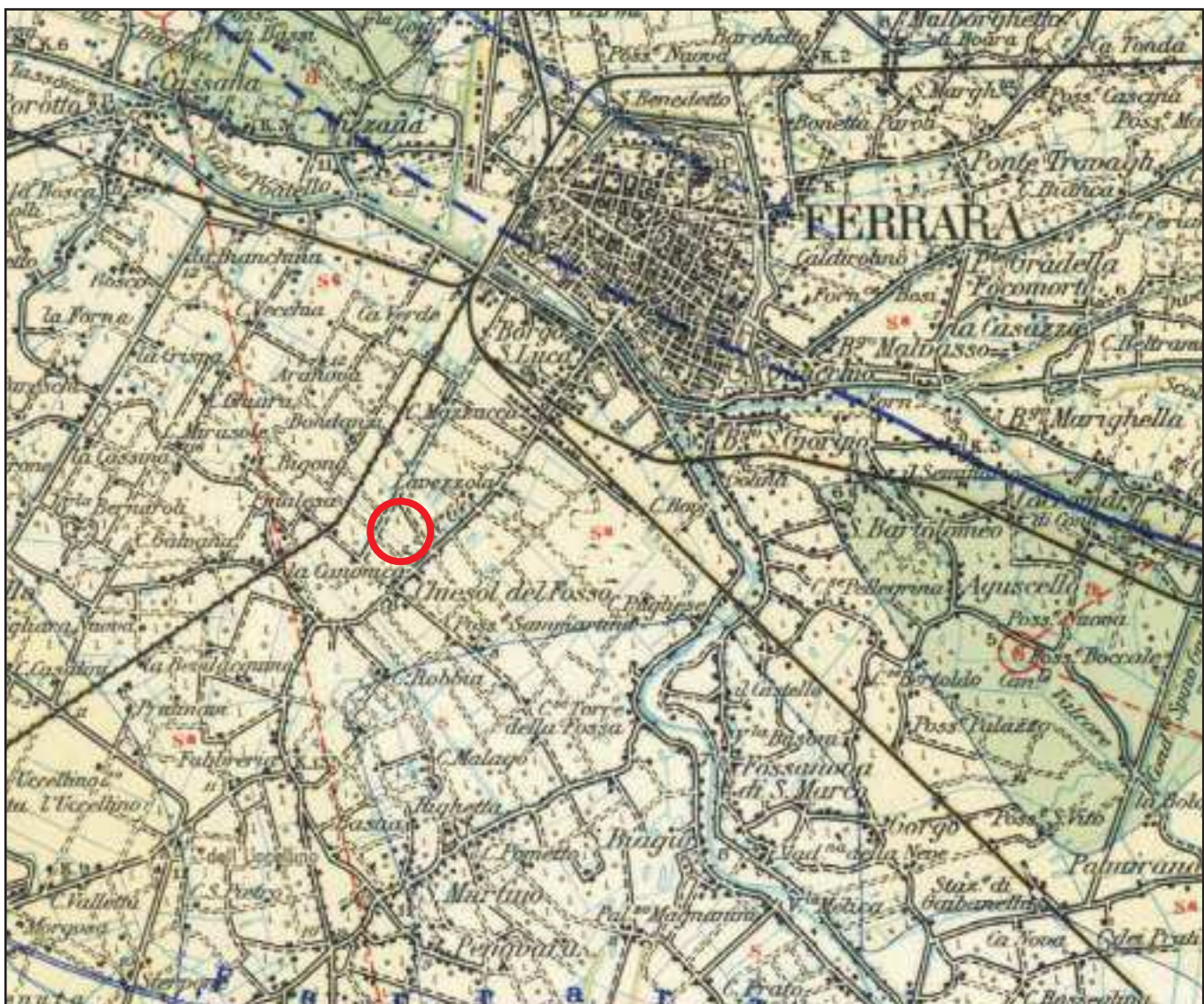
## Tav. n. 3 “Ripresa fotografica generale dell’area di interesse”

(tratta da “Google Earth Image © 2012 DigitalGlobe”)

Scala grafica



Area di interesse



Tav. n. 4 “Carta della litologia di superficie”  
Scala grafica



Legenda



Area di interesse

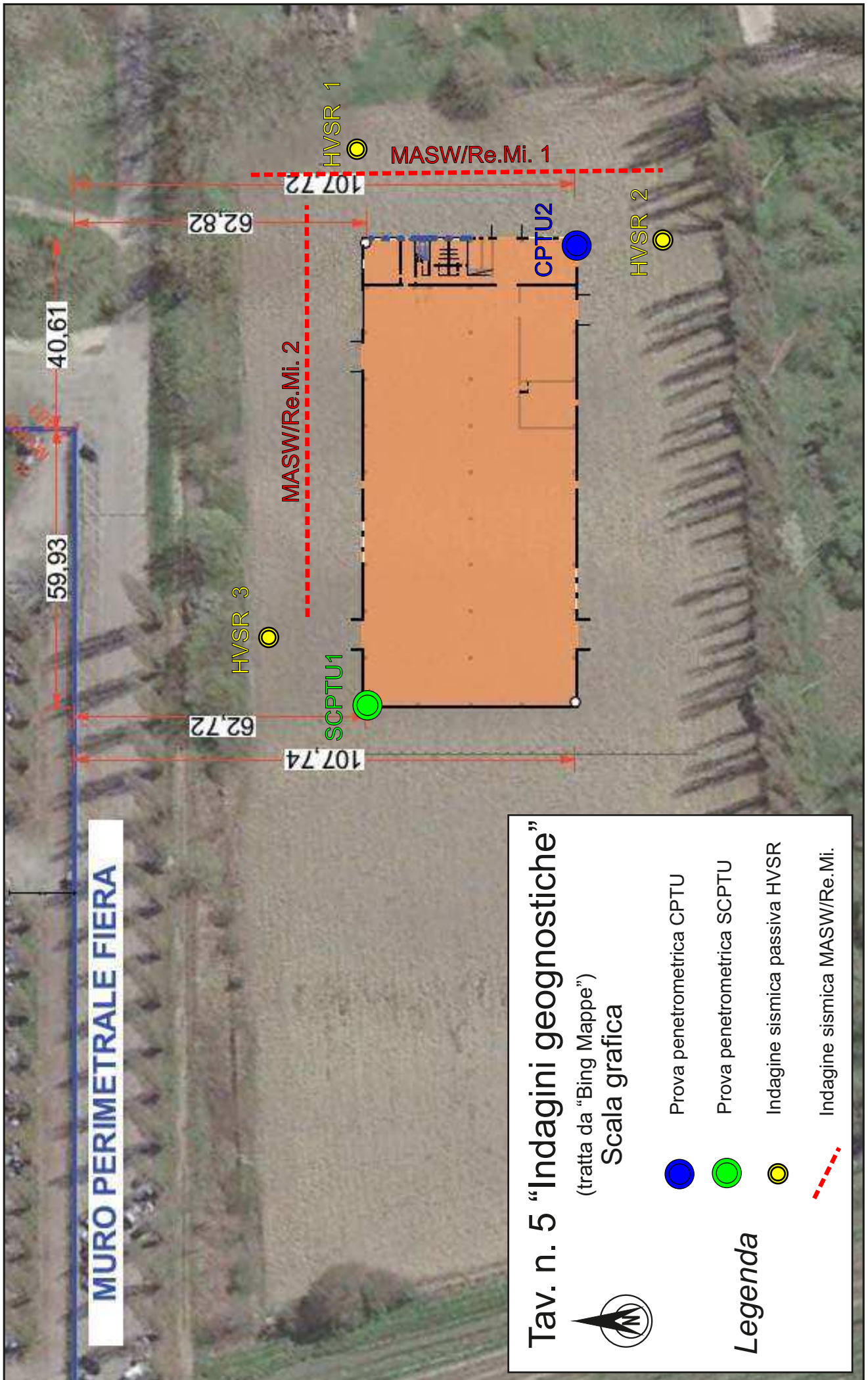
Litologia di superficie

<b>S</b>	Sabbie e terreni prevalentemente sabbiosi	<b>a<sup>s</sup></b>	Argille sabbiose e sabbie argillose
<b>S<sup>a</sup></b>	Terreni sabbioso-argillosi	<b>a</b>	Argille e terreni prevalentemente argilosì

## GEO GROUP s.r.l.

Indagini geognostiche, geofisiche e consulenze geologiche e geotecniche  
182, via C. Costa 41100 Modena - Tel. 059/396169 - Fax. 059/5960176 - E-mail: info@geogroupmodena.it

## MURO PERIMETRALE FIERA



Tav. n. 5 “Indagini geognostiche”

(tratta da “Bing Mappe”)

Scala grafica



Legenda

## **GEO GROUP s.r.l.**

Indagini geognostiche e geofisiche – geologia applicata alle costruzioni – laboratorio geotecnico - idrogeologia  
– coltivazione cave– bonifiche – consolidamenti – geologia ambientale – consulenze geologiche e geotecniche

### **ALLEGATO N° 1**

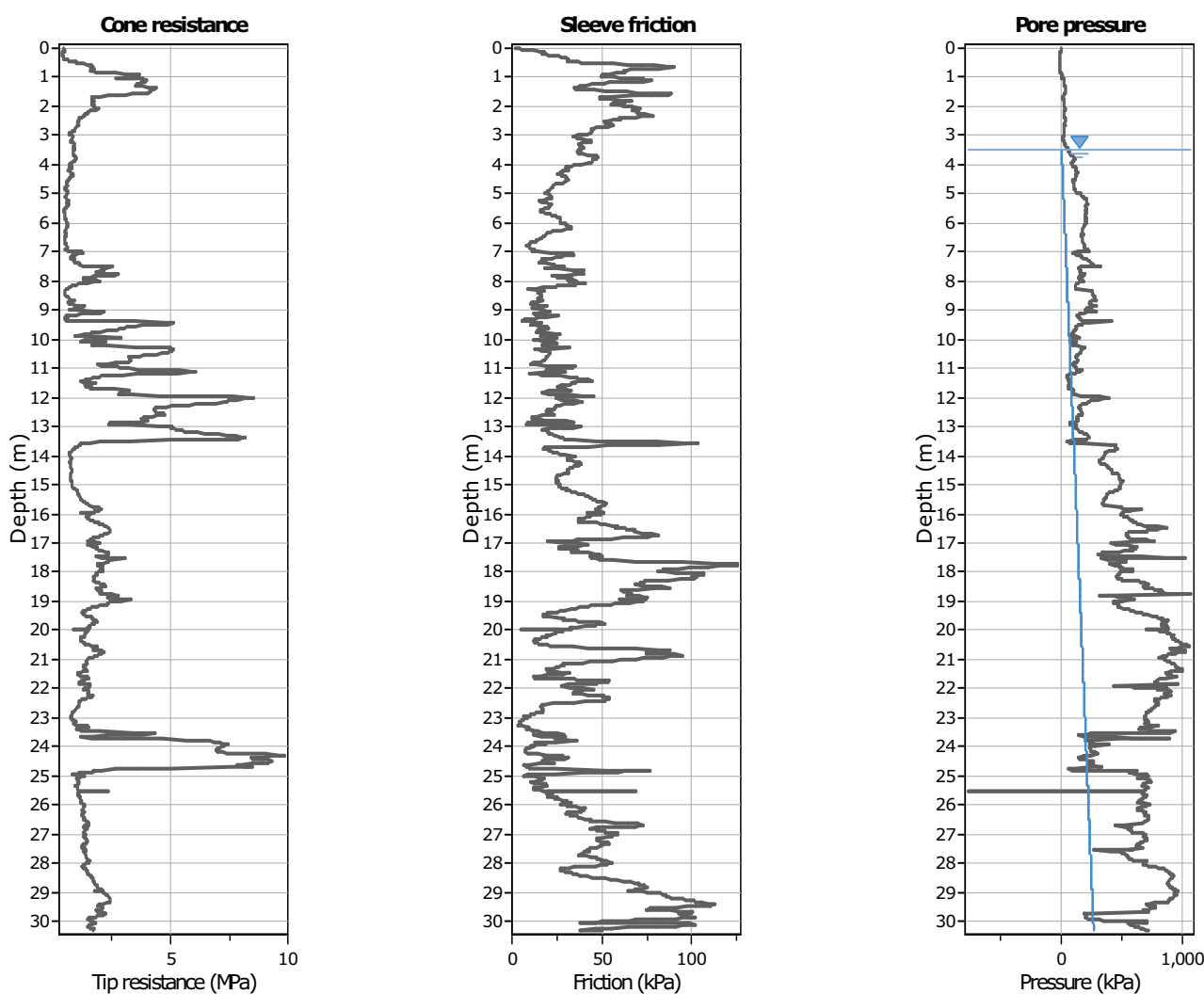
### ***Prove penetrometriche statiche CPT e SCPTU corredate di interpretazione geotecnica***

**Project:** Centro Unificato dell'Emergenza sul Territorio della Protezione Civile

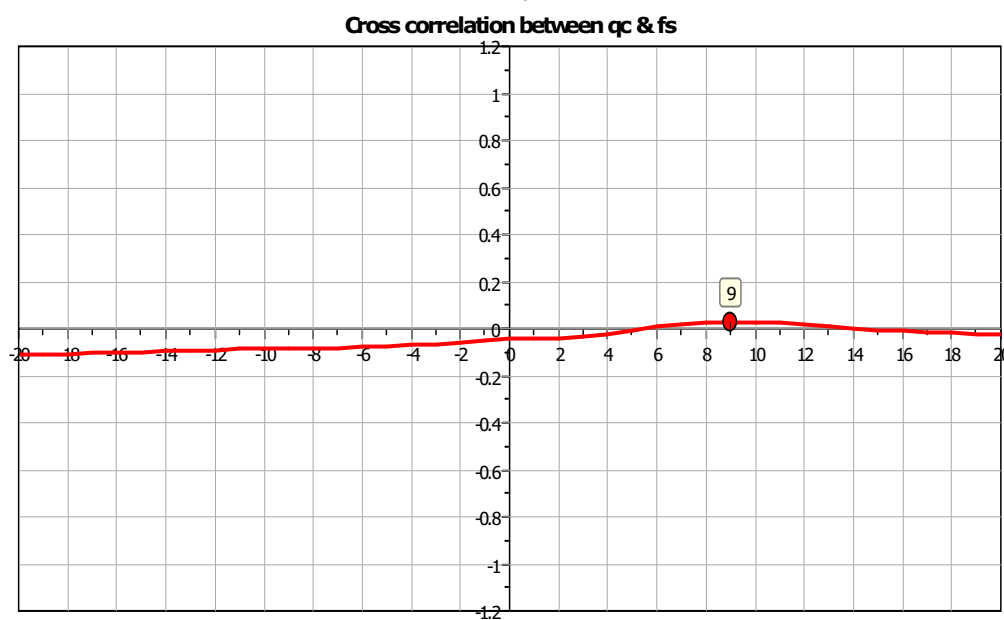
**Location:** Ferrara

**CPT: CPTU 1**

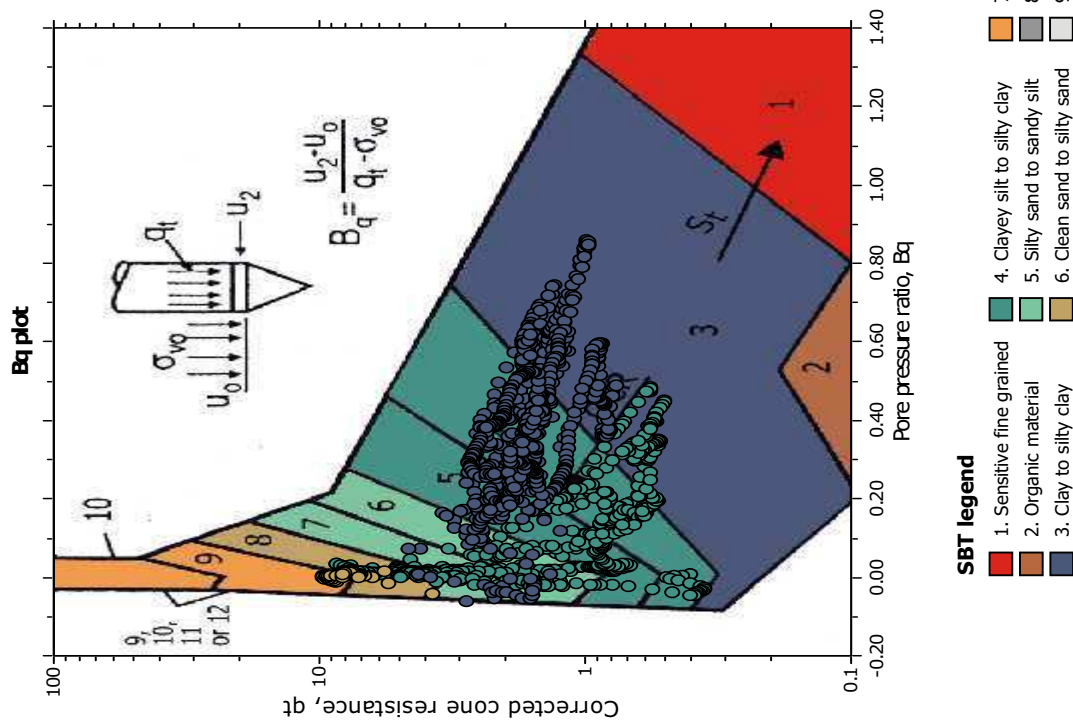
Total depth: 30.30 m, Date: 31/10/2017



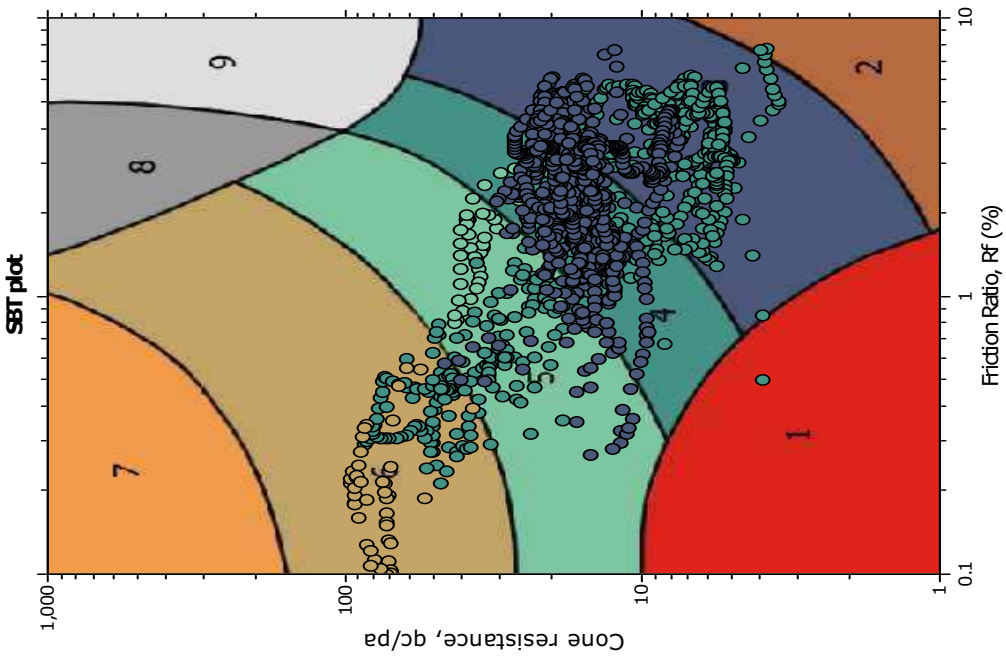
The plot below presents the cross correlation coefficient between the raw qc and fs values (as measured on the field). X axes presents the lag distance (one lag is the distance between two successive CPT measurements).



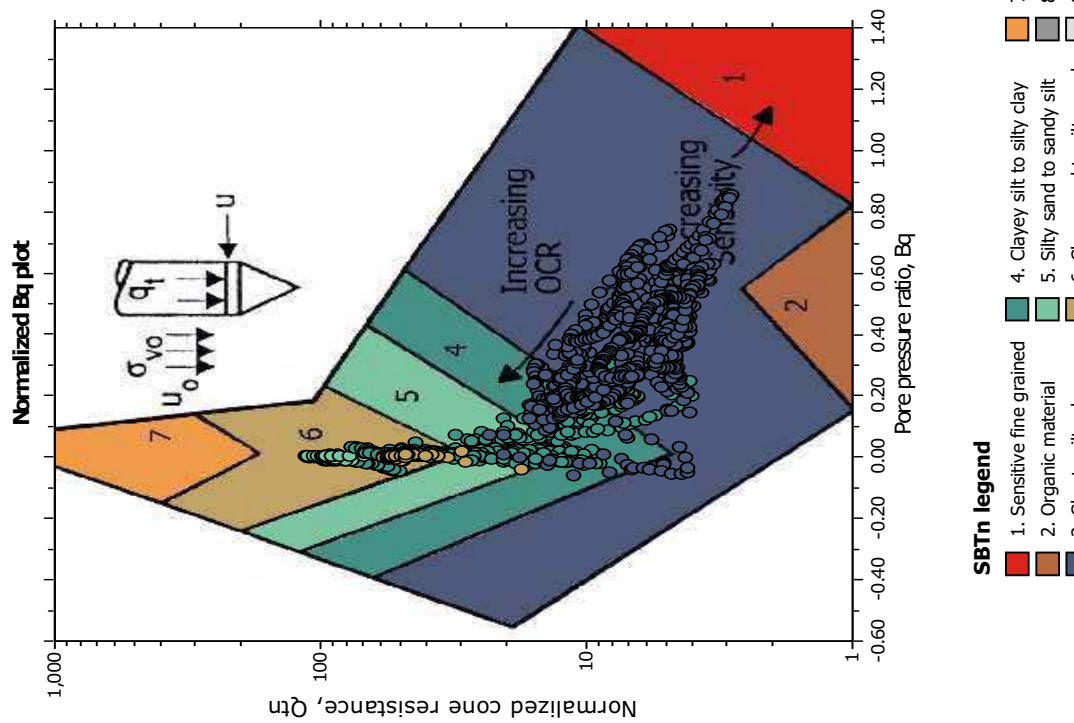
**SBT - Bq plots**



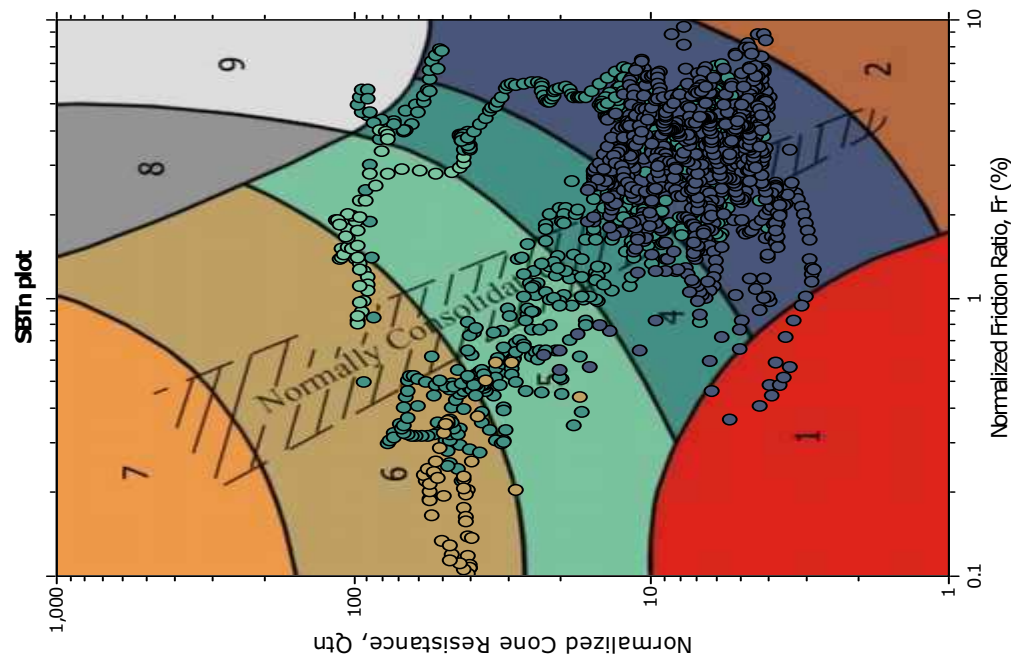
**SBT plot**

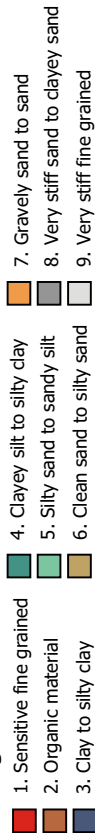
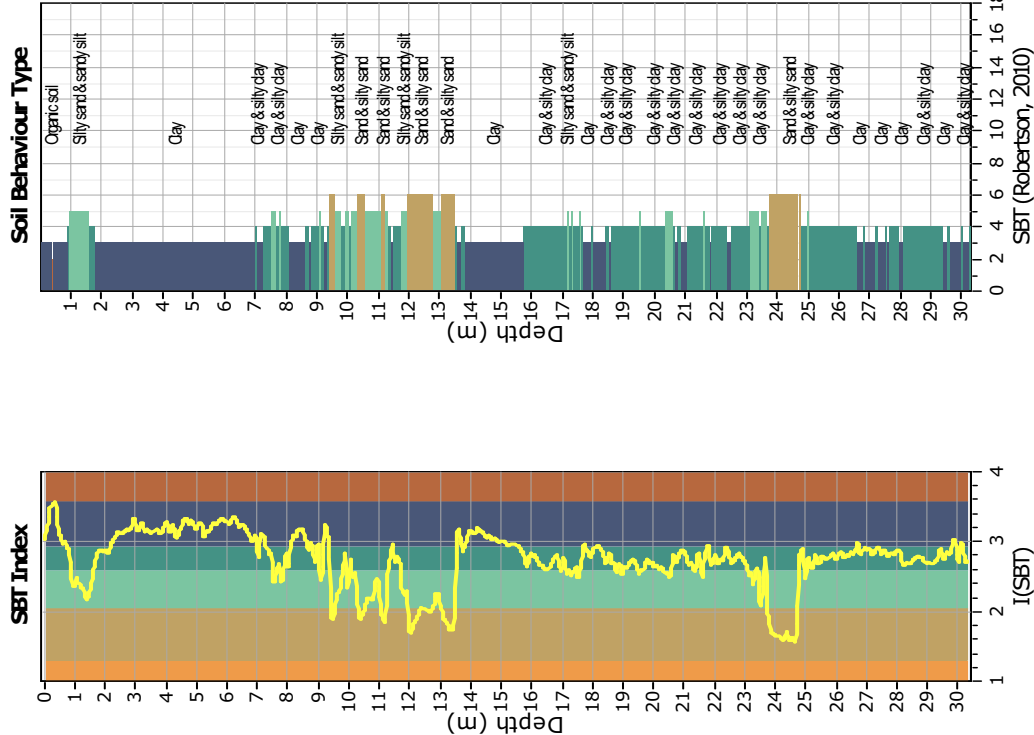
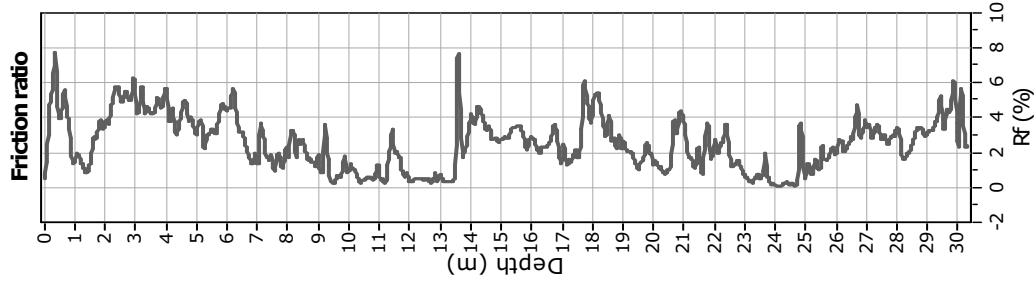
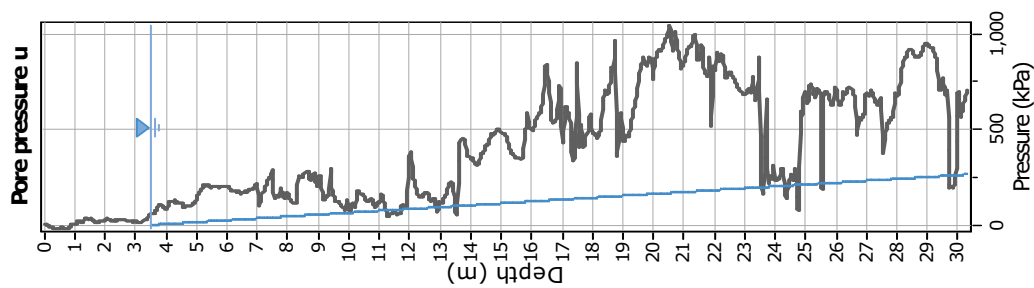
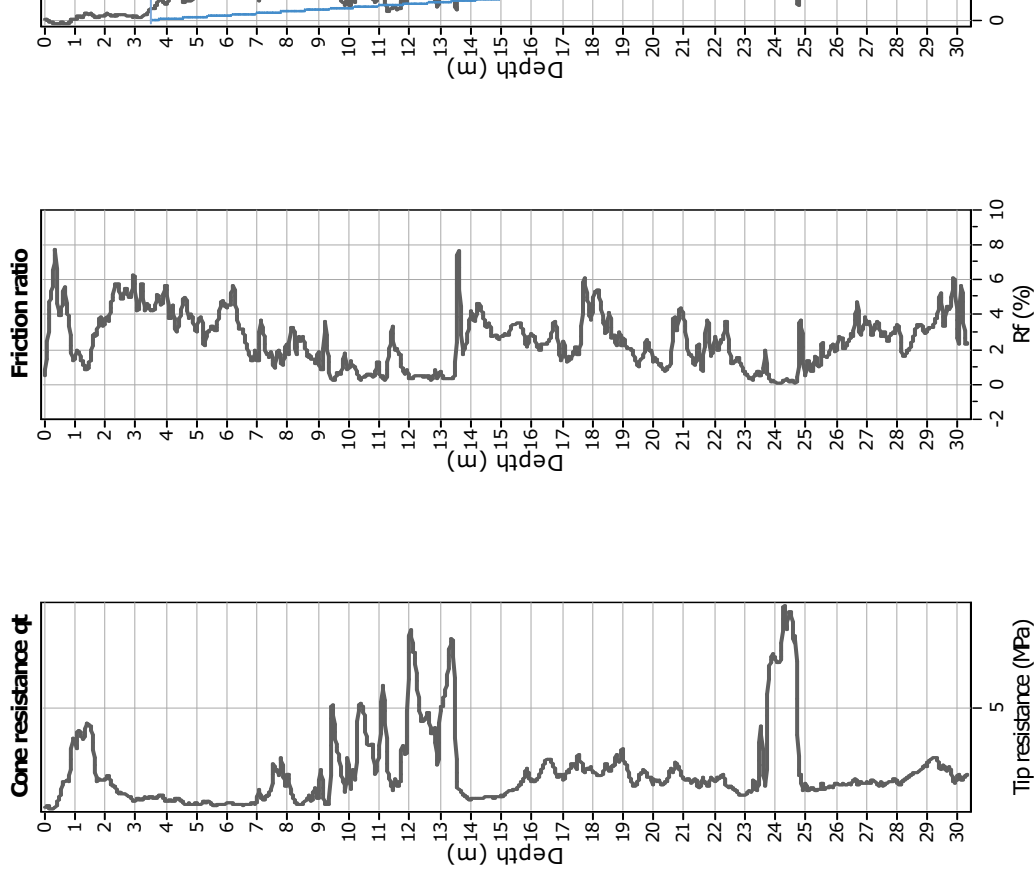


### SBT - Bq plots (normalized)



### SBTn plot



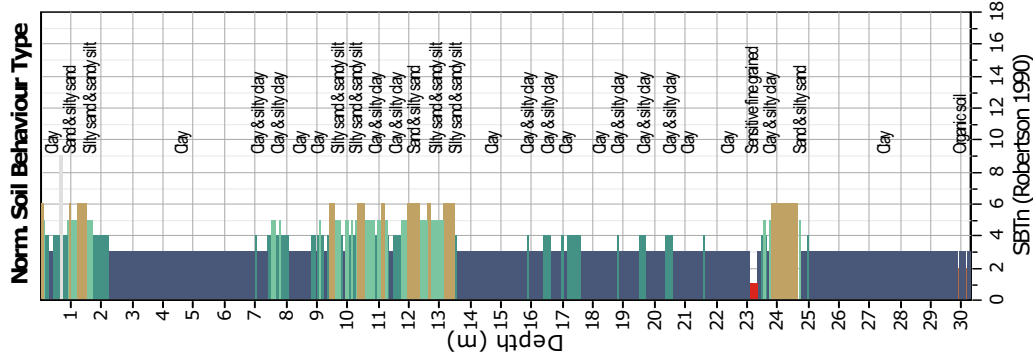
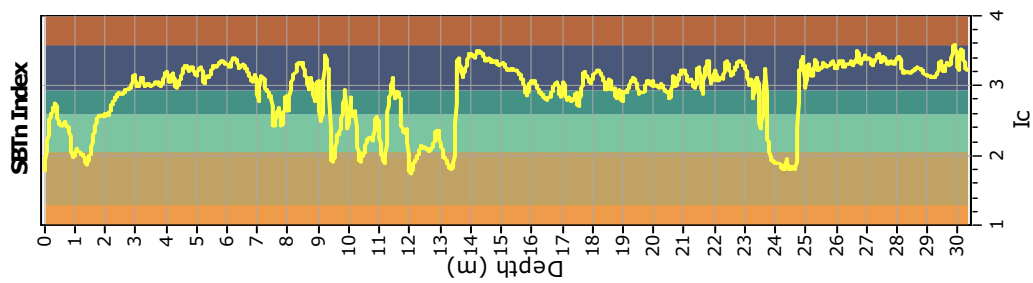
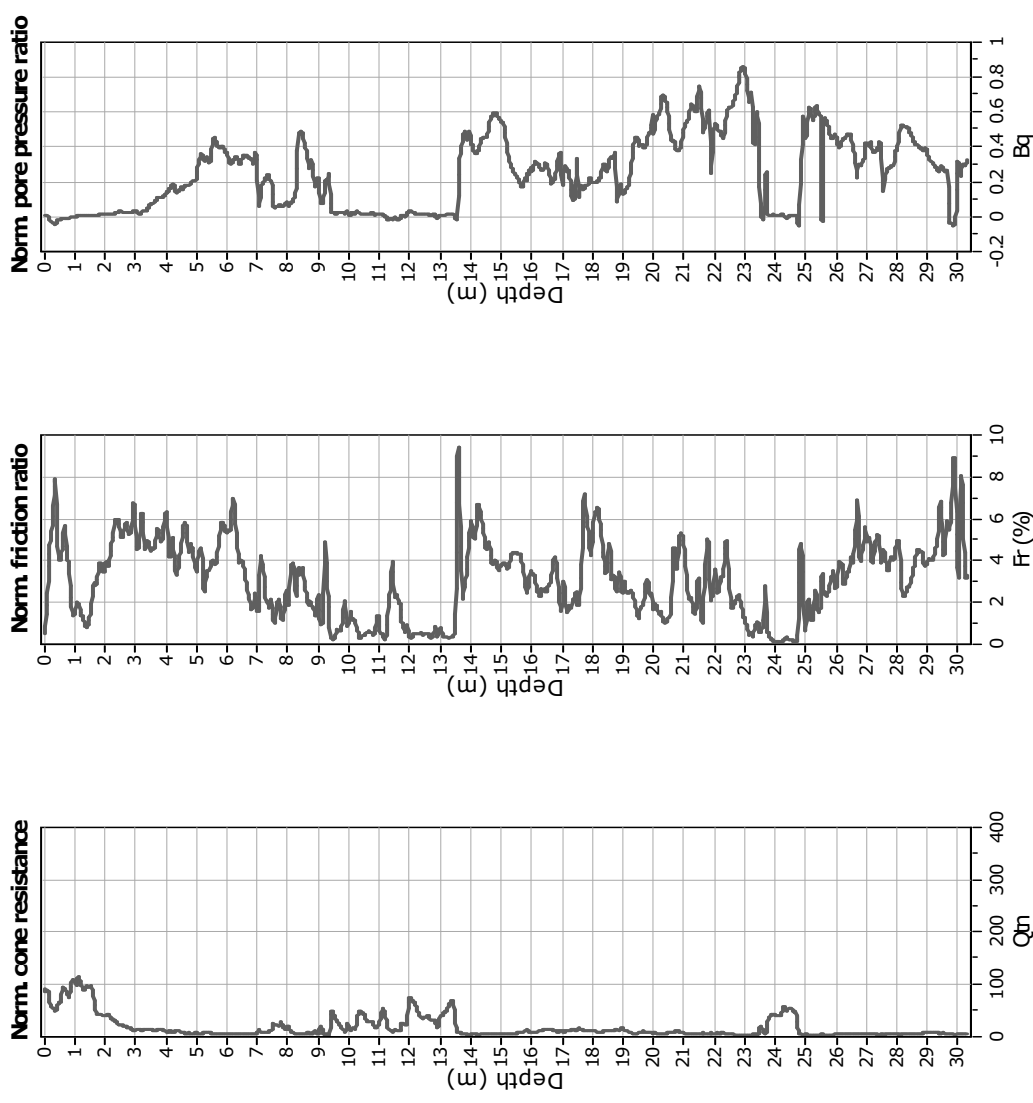


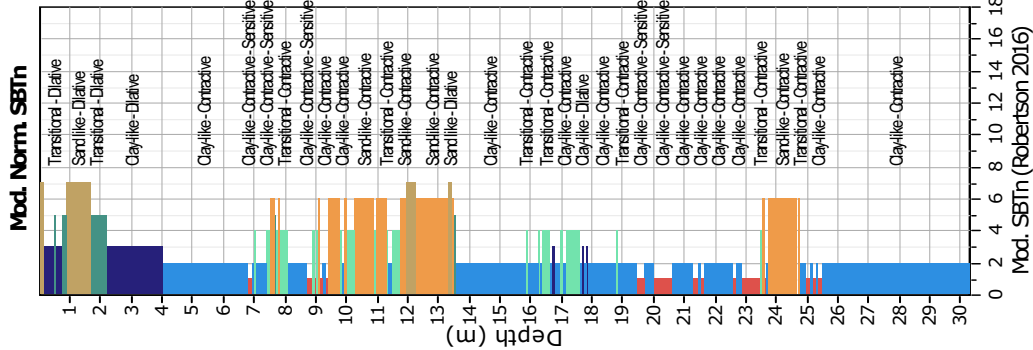
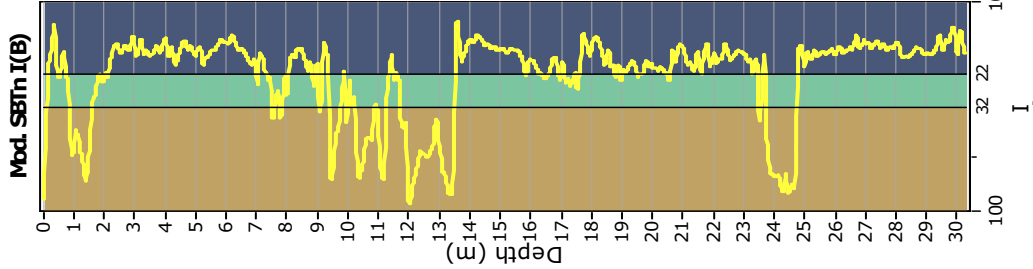
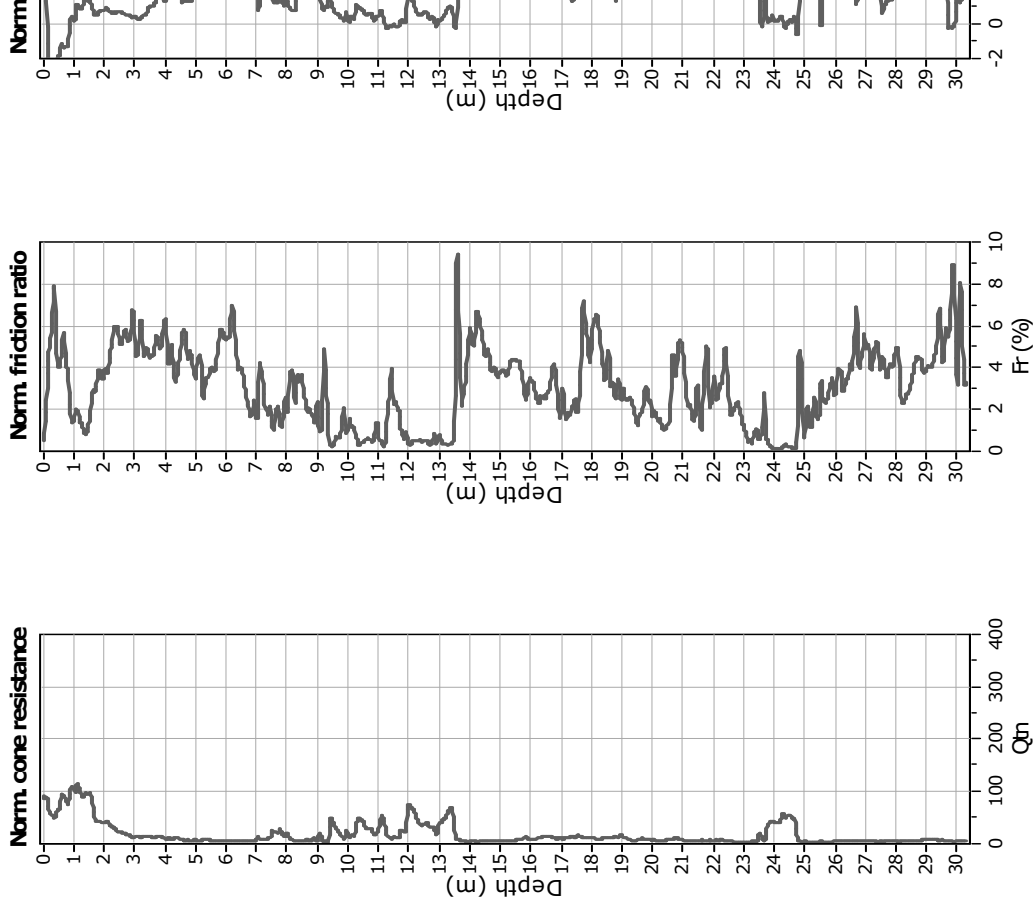
**Project:** Centro Unificato dell'Emergenza sul Territorio della Protezione Civile  
**Location:** Ferrara

**Project:** Centro U  
**Location:** Ferrara

CPT: CPTU 1

Total depth: 30.30 m. Date: 31/10/2017

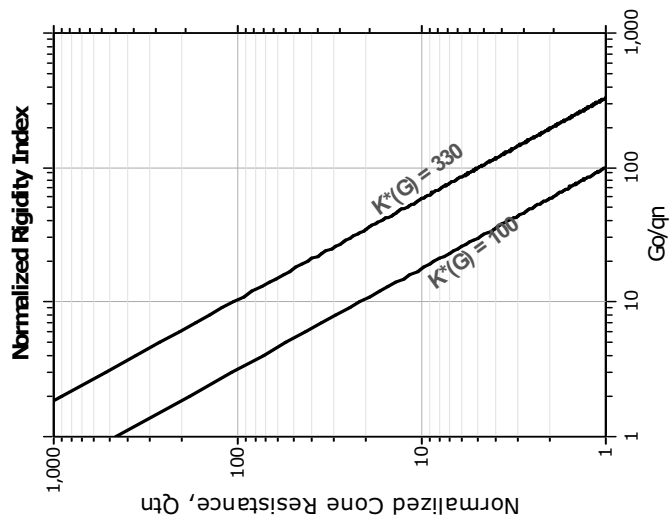




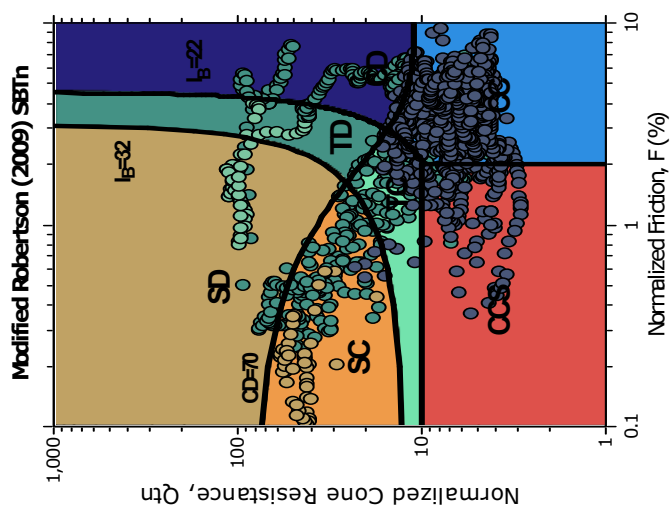
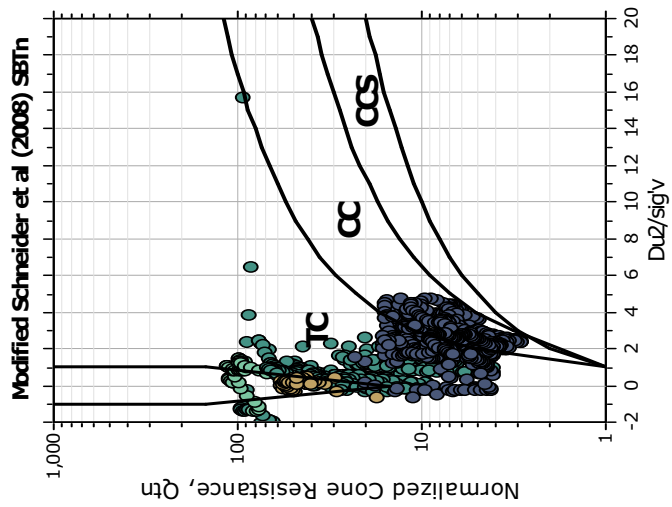
**Mod. SBTn legend**

- 1. CCS: ClayLike - Contractive, Sensitive
- 2. CC: Clay-like - Contractive
- 3. CD: Clay-Like: Dilative
- 4. TC: Transitional - Contractive
- 5. TD: Transitional - Dilative
- 6. SC: Sand-like - Contractive
- 7. SD: Sand-like - Dilative

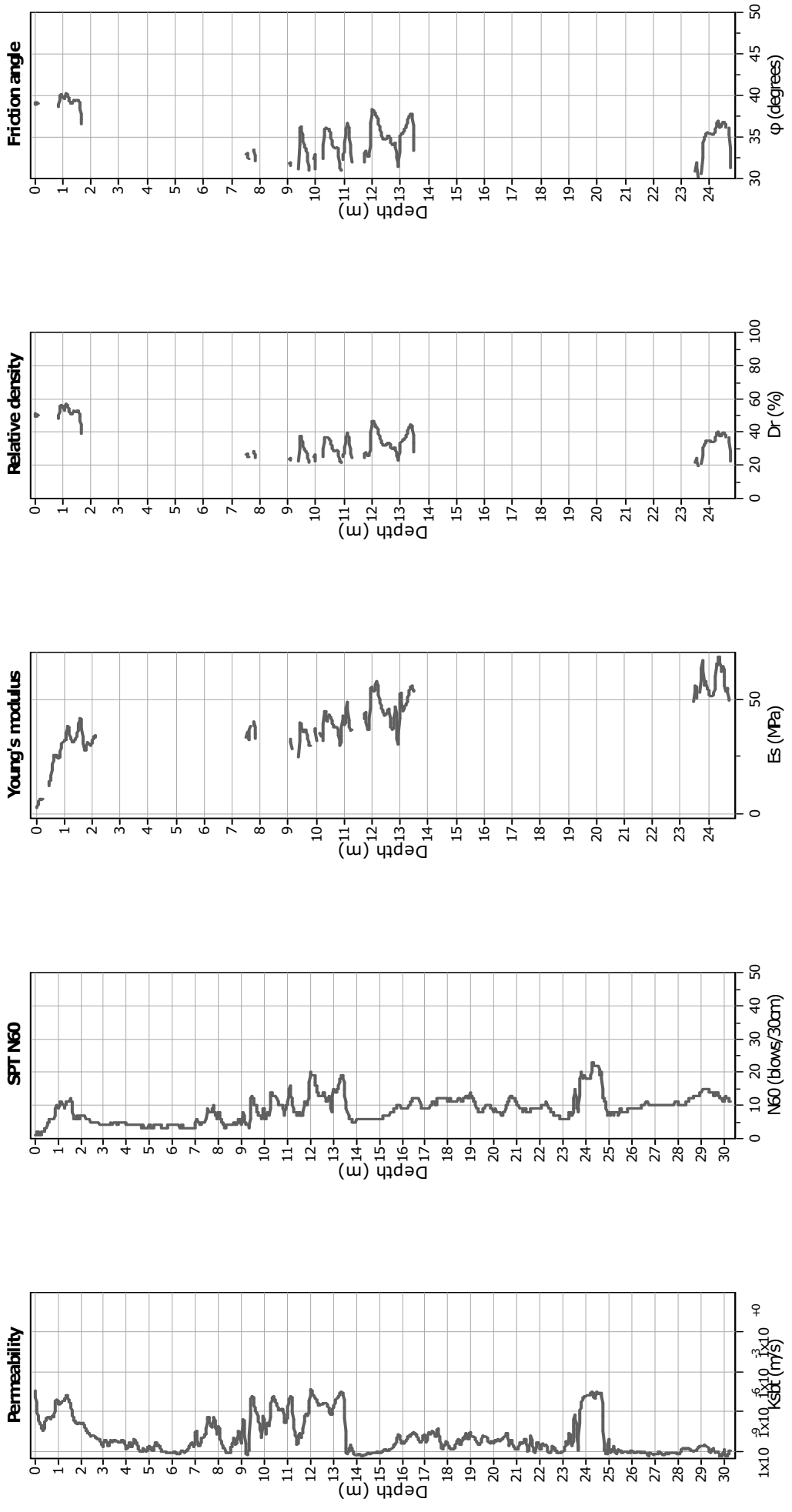
### Updated SBTn plots



K(G) > 330: Soils with significant microstructure (e.g. age/cementation)



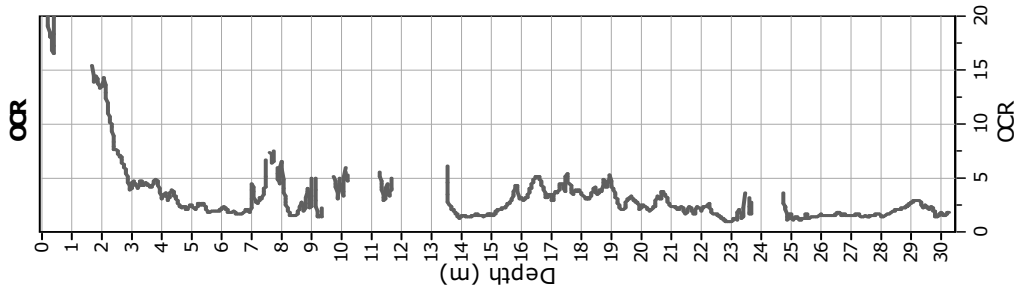
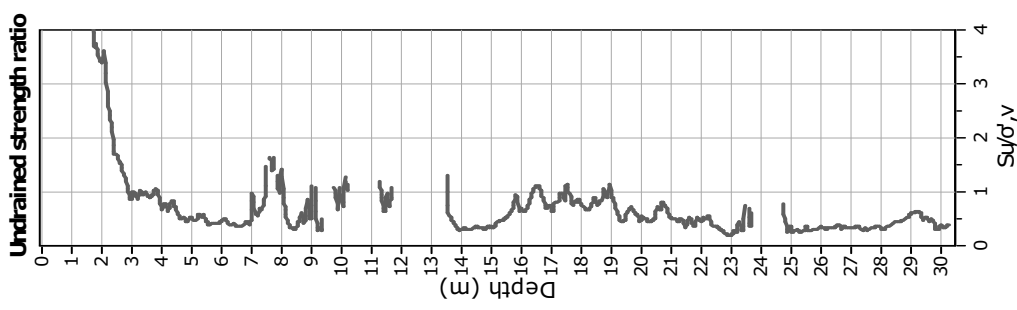
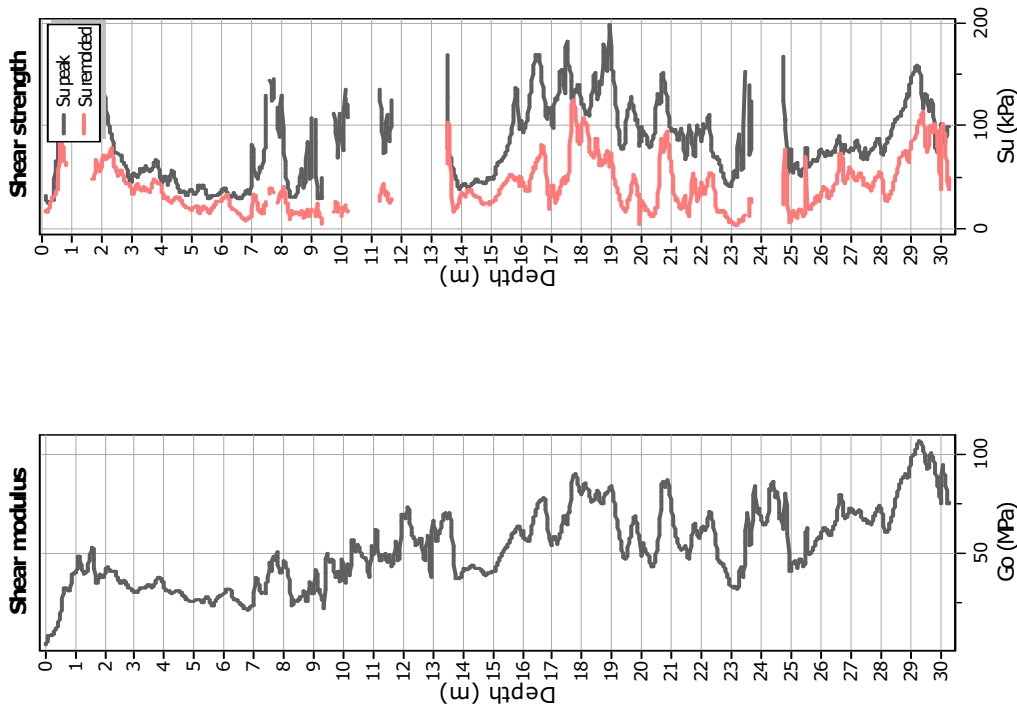
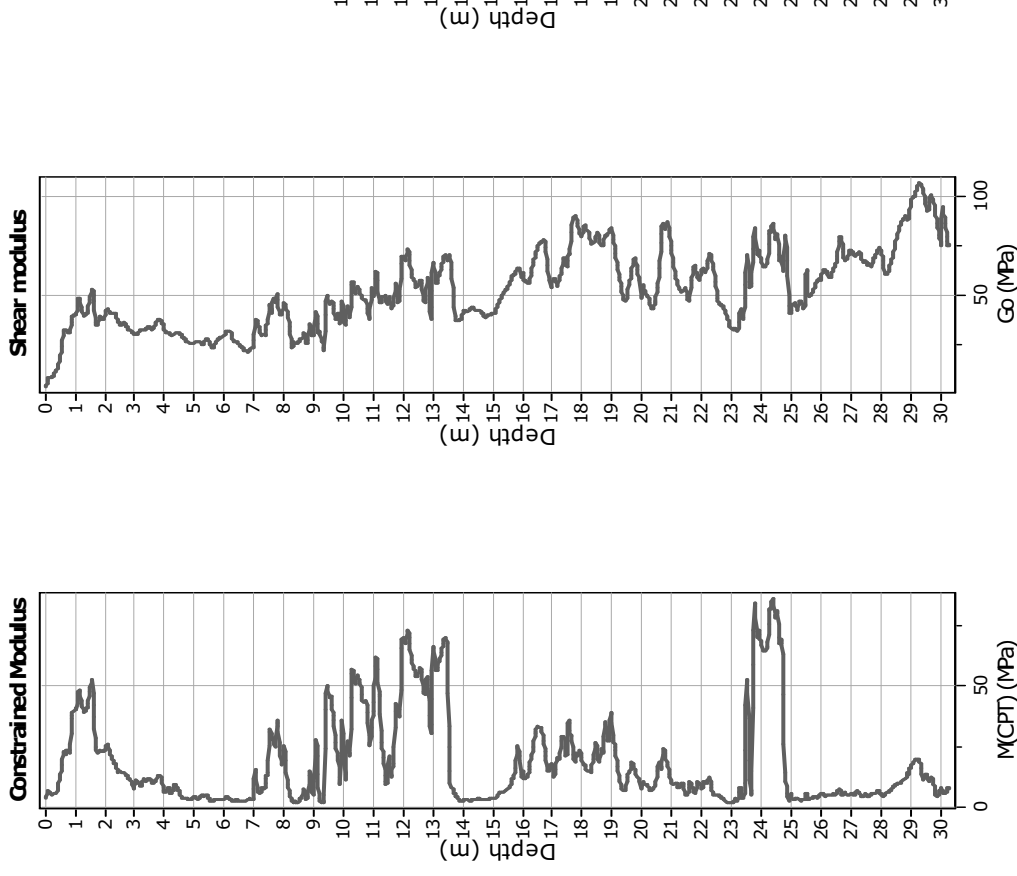
CCS: Clay-like - Contractive - Sensitive  
 CC: Clay-like - Contractive  
 CD: Clay-like - Dilative  
 TC: Transitional - Contractive  
 TD: Transitional - Dilative  
 SC: Sand-like - Contractive  
 SD: Sand-like - Dilative



#### Calculation parameters

Permeability: Based on  $SBT_n$   
 SPT  $N_{60}$ : Based on  $I_c$  and  $q_t$   
 Young's modulus: Based on variable alpha using  $I_c$  (Robertson, 2009)

Relative desity constant,  $C_{Dr}$ : 350.0  
 Phi: Based on Kulhawy & Mayne (1990)  
● User defined estimation data



#### Calculation parameters

Constrained modulus: Based on variable  $\alpha/\phi/a$  using  $I_c$  and  $Q_{in}$  (Robertson, 2009)

G<sub>0</sub>: Based on variable  $\alpha/\phi/a$  using  $I_c$  (Robertson, 2009)

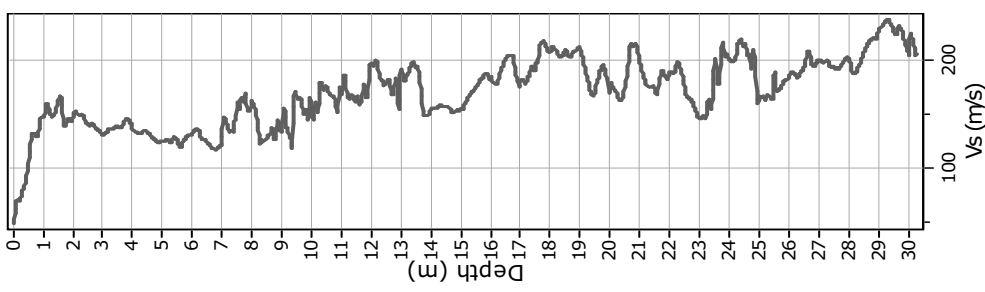
Undrained shear strength cone factor for clays,  $N_{ck} = 14$

OCR factor for clays,  $N_{ct} = 0.33$

User defined estimation data

Flat Dilatometer Test data

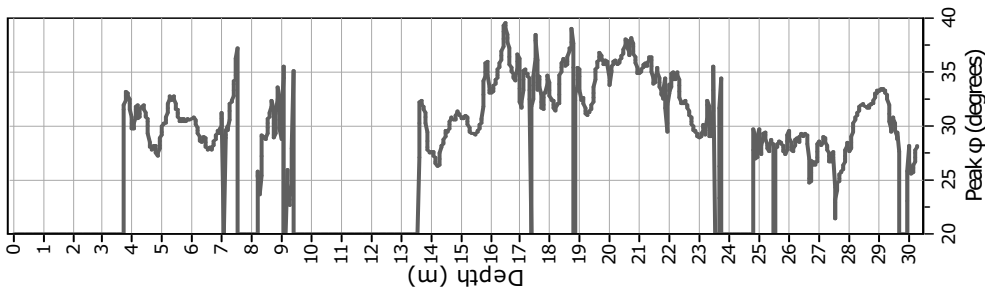
**Shear Wave velocity**



**calculation parameters**

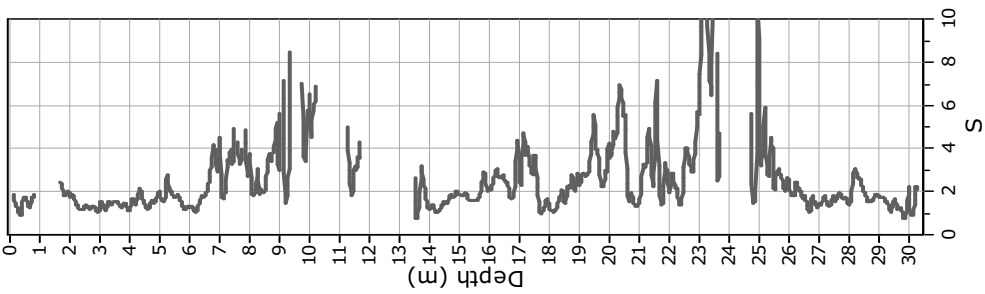
Soil Sensitivity factor,  $N_s$ : 7.00  
—●— User defined estimation data

**Effective friction angle**



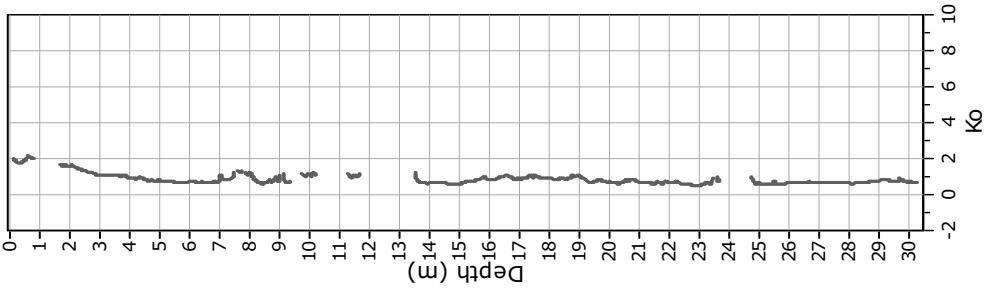
**Peak  $\phi$  (degrees)**

**Soil sensitivity**



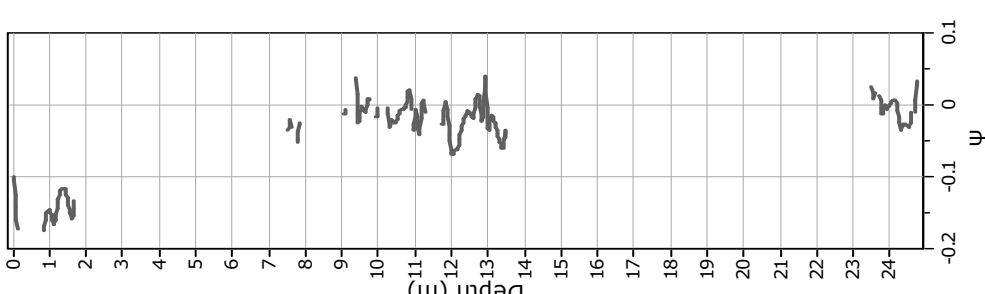
**$S$**

**In-situ stress ratio**



**$K_o$**

**State parameter**



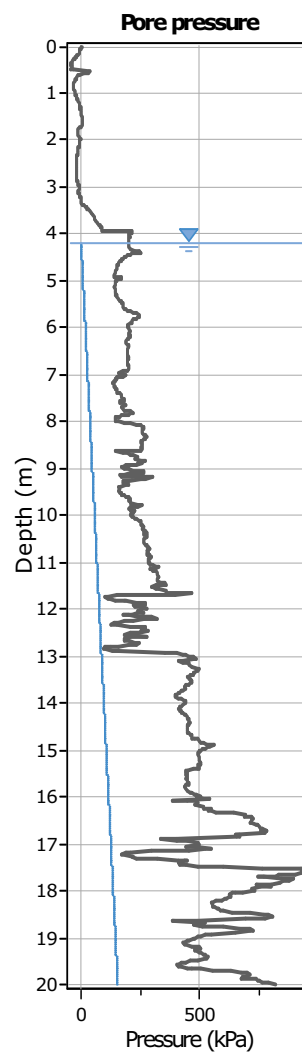
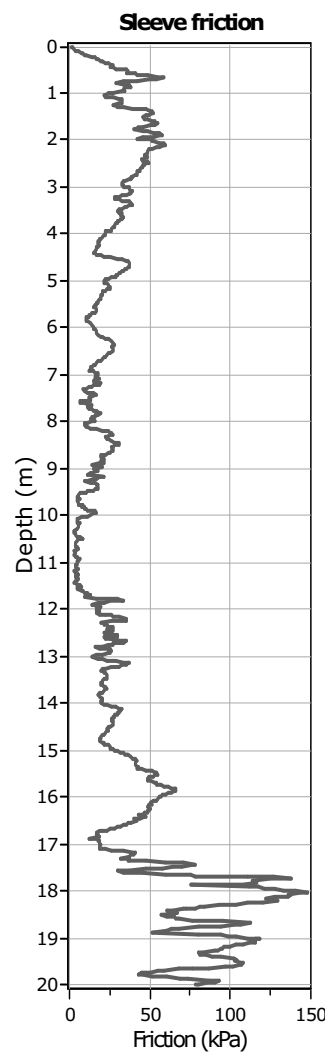
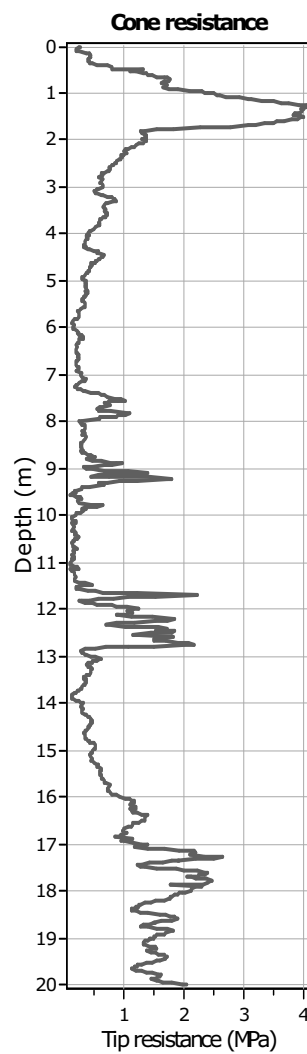
**$\psi$**

**Project:** Centro Unificato dell'Emergenza sul Territorio della Protezione Civile

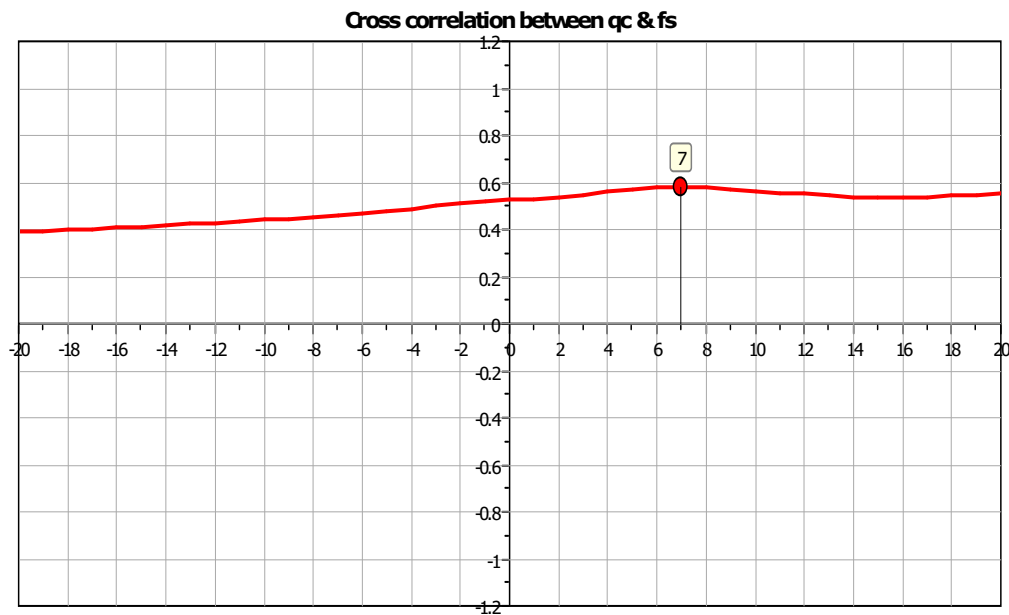
**Location:** Ferrara

**CPT: CPTU 2**

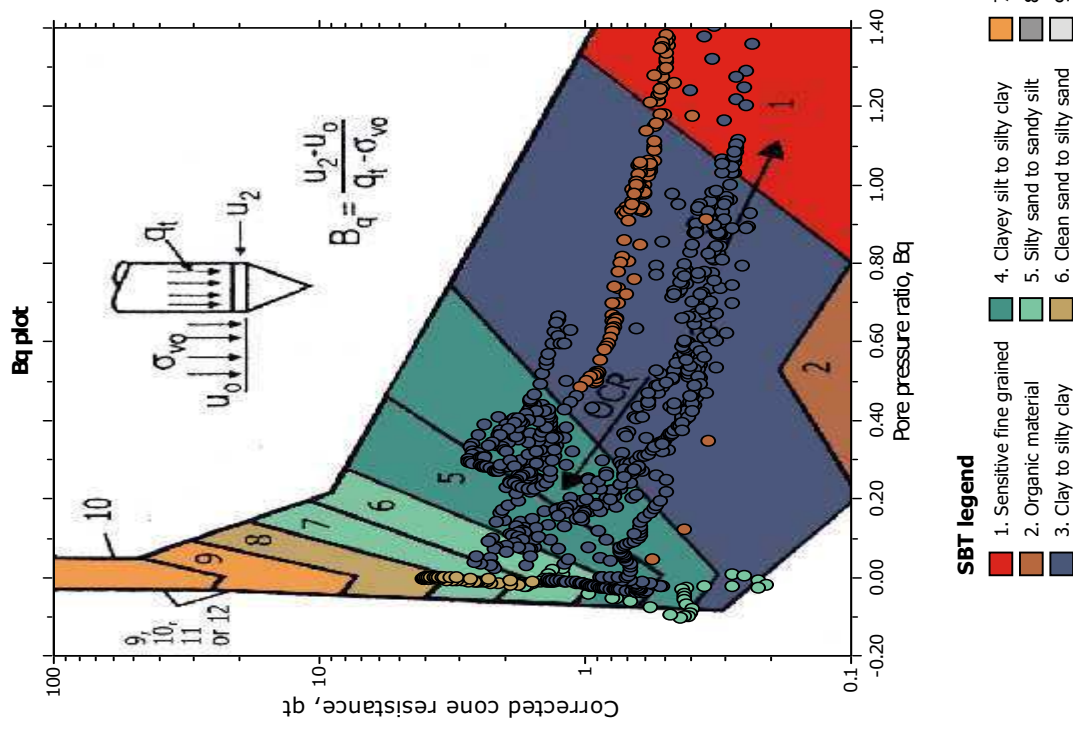
Total depth: 20.00 m, Date: 31/10/2017



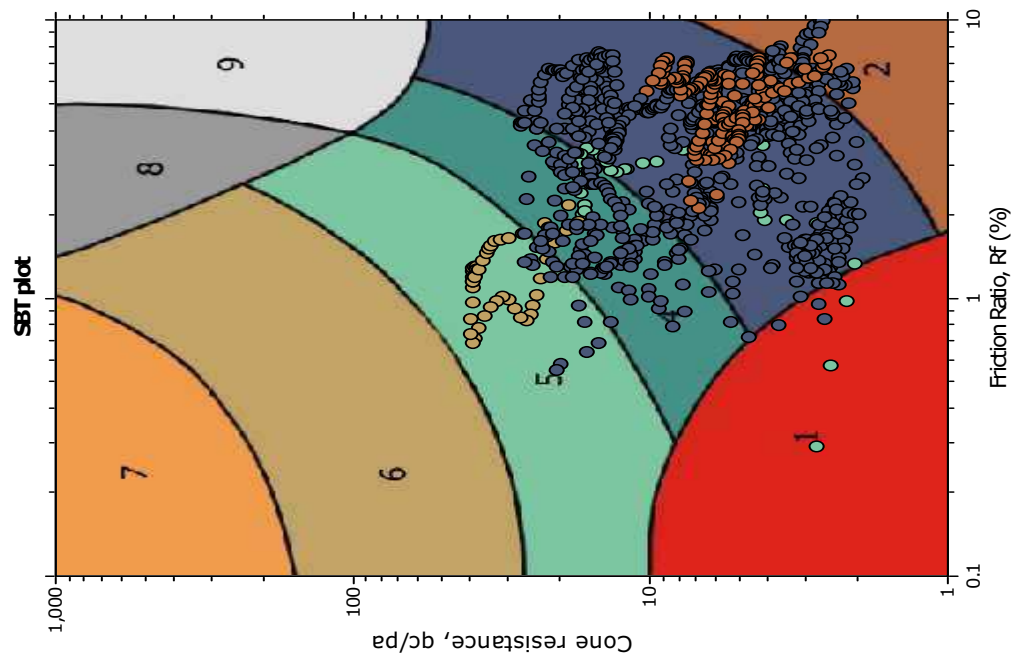
The plot below presents the cross correlation coefficient between the raw qc and fs values (as measured on the field). X axes presents the lag distance (one lag is the distance between two successive CPT measurements).



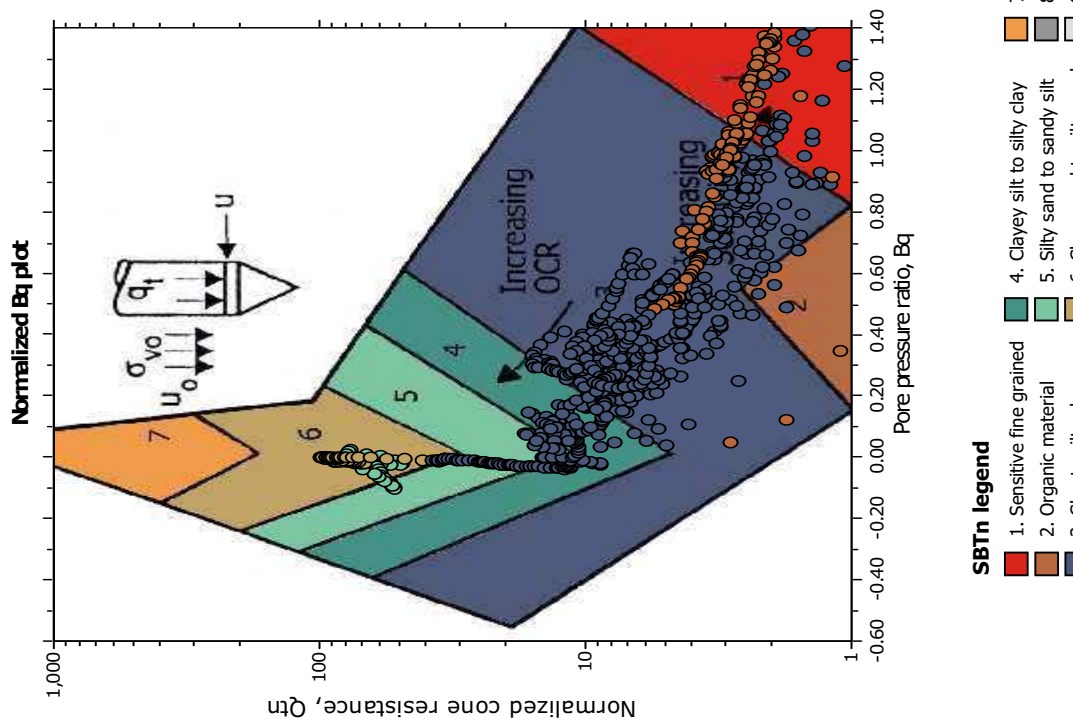
**SBT - Bq plots**



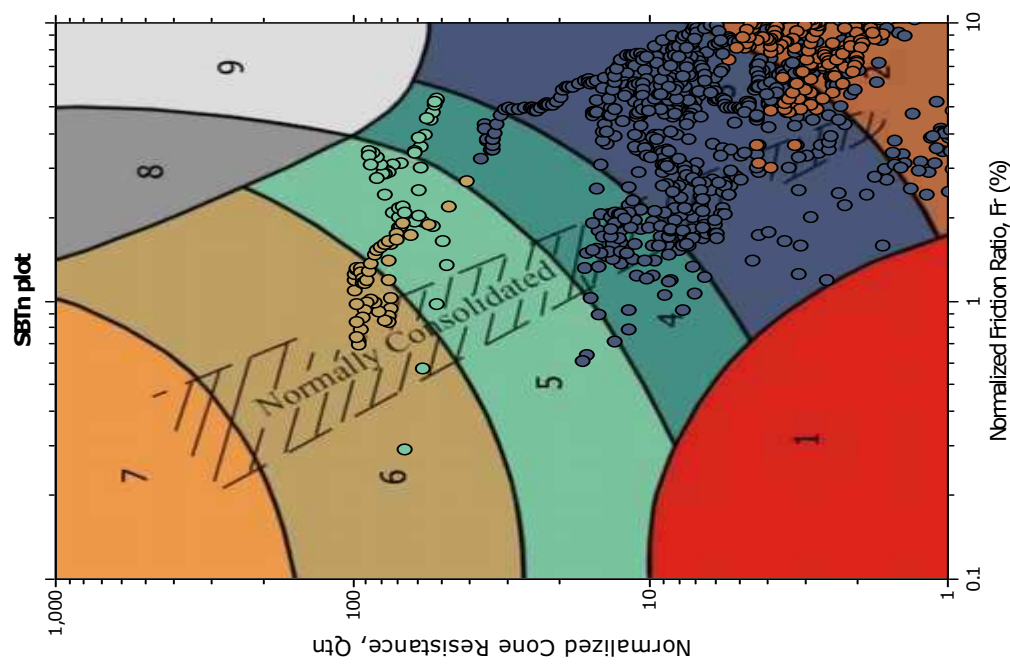
**SBT plot**



### SBT - Bq plots (normalized)

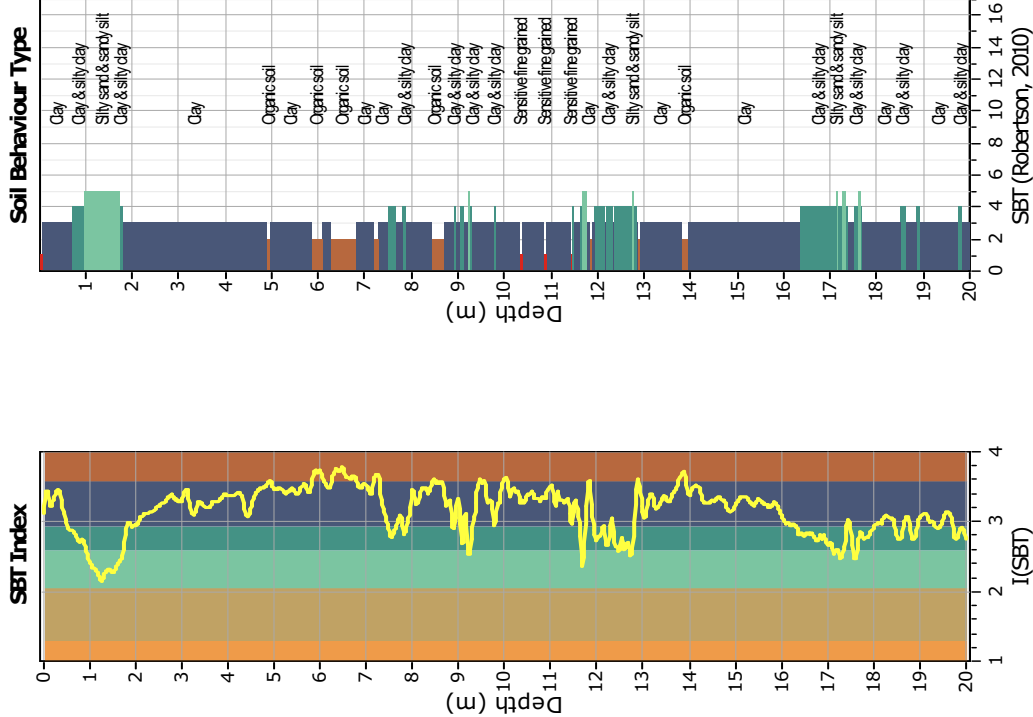
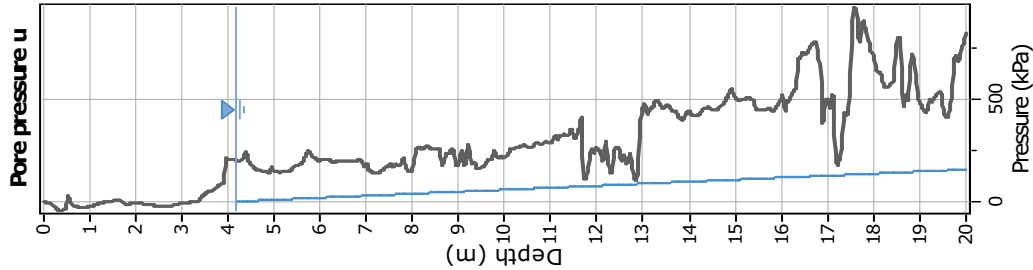
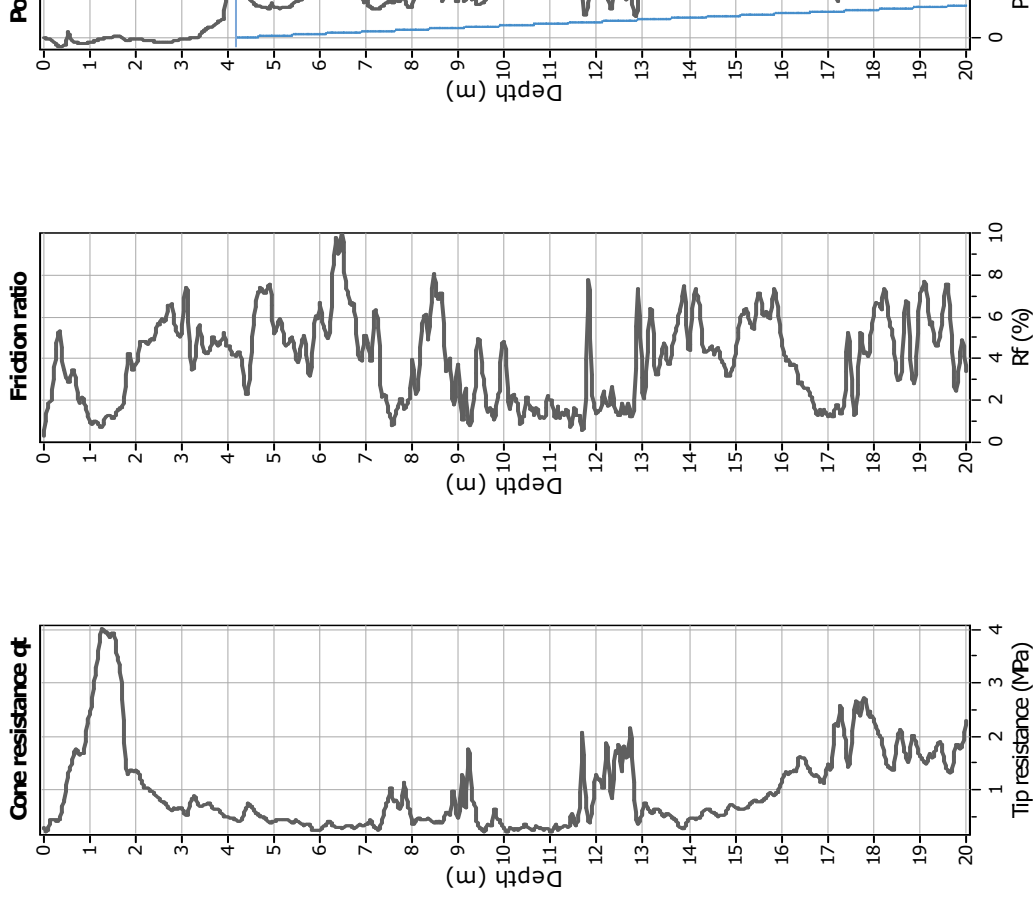


### SBT plot



### SBTn legend

- 1. Sensitive fine grained
- 2. Organic material
- 3. Clay to silty clay
- 4. Clayey silt to silty clay
- 5. Silty sand to sandy silt
- 6. Clean sand to silty sand
- 7. Gravely sand to sand
- 8. Very stiff sand to clayey sand
- 9. Very stiff fine grained

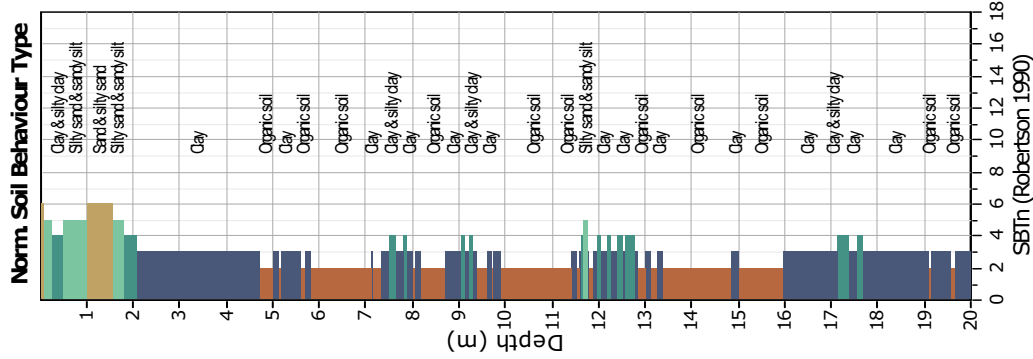
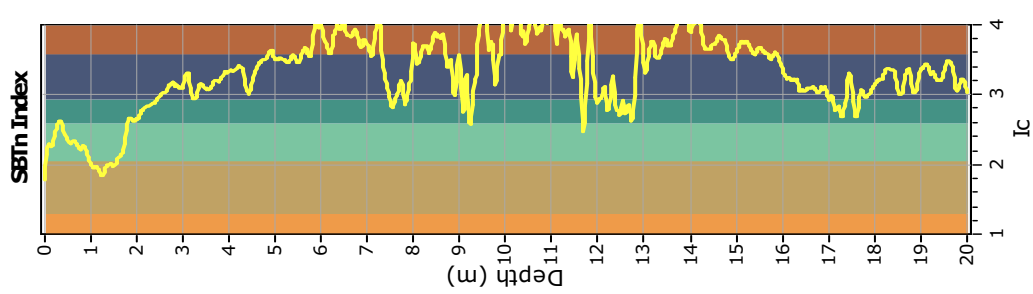
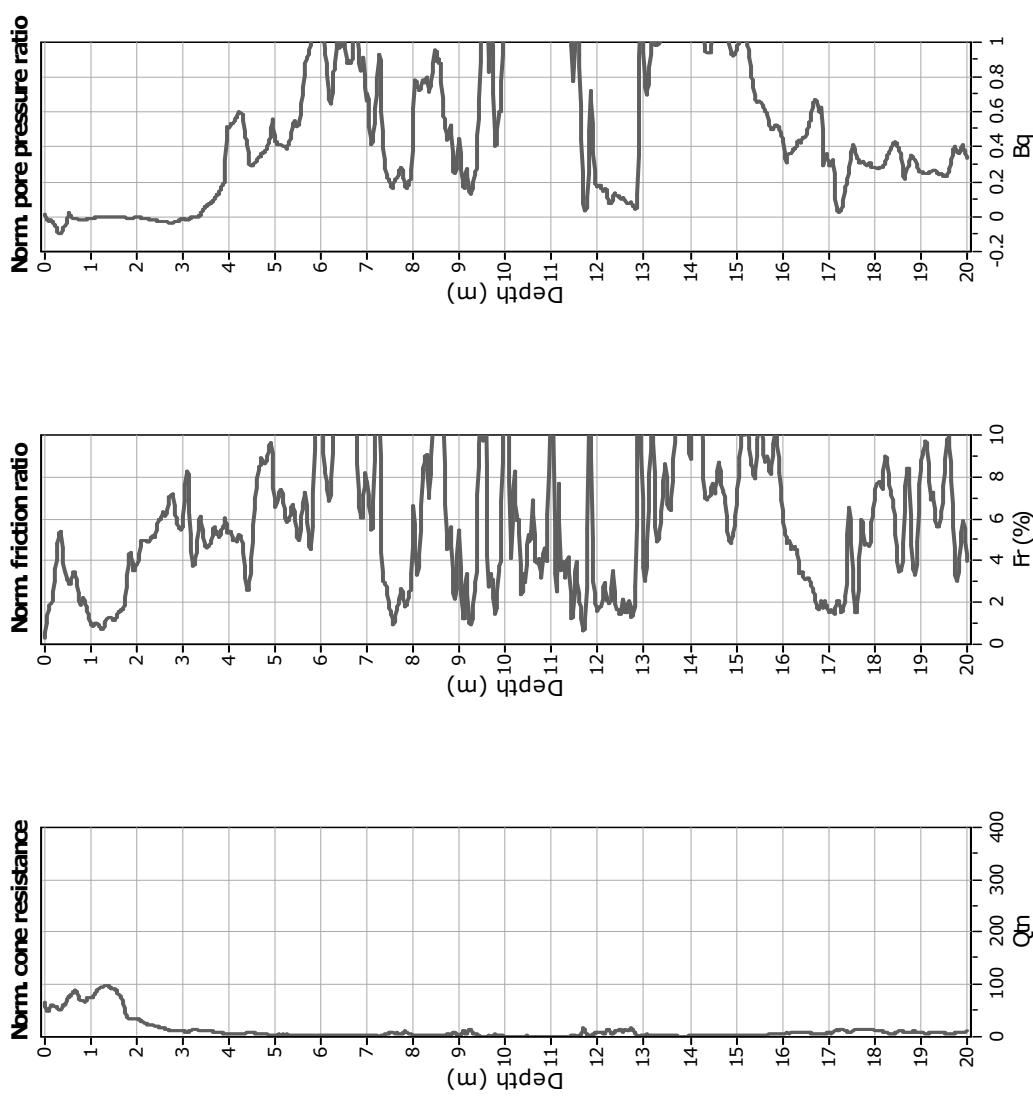


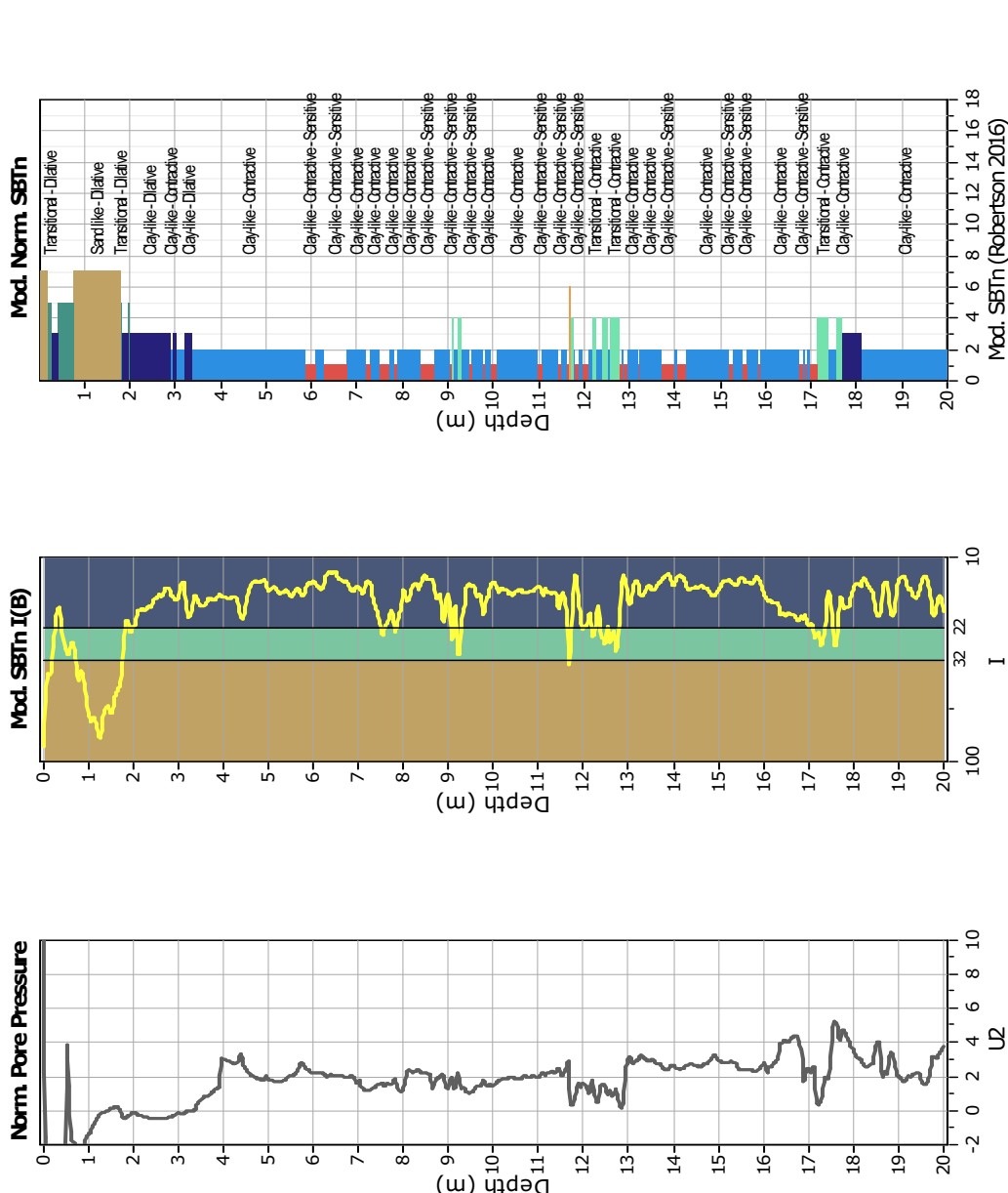
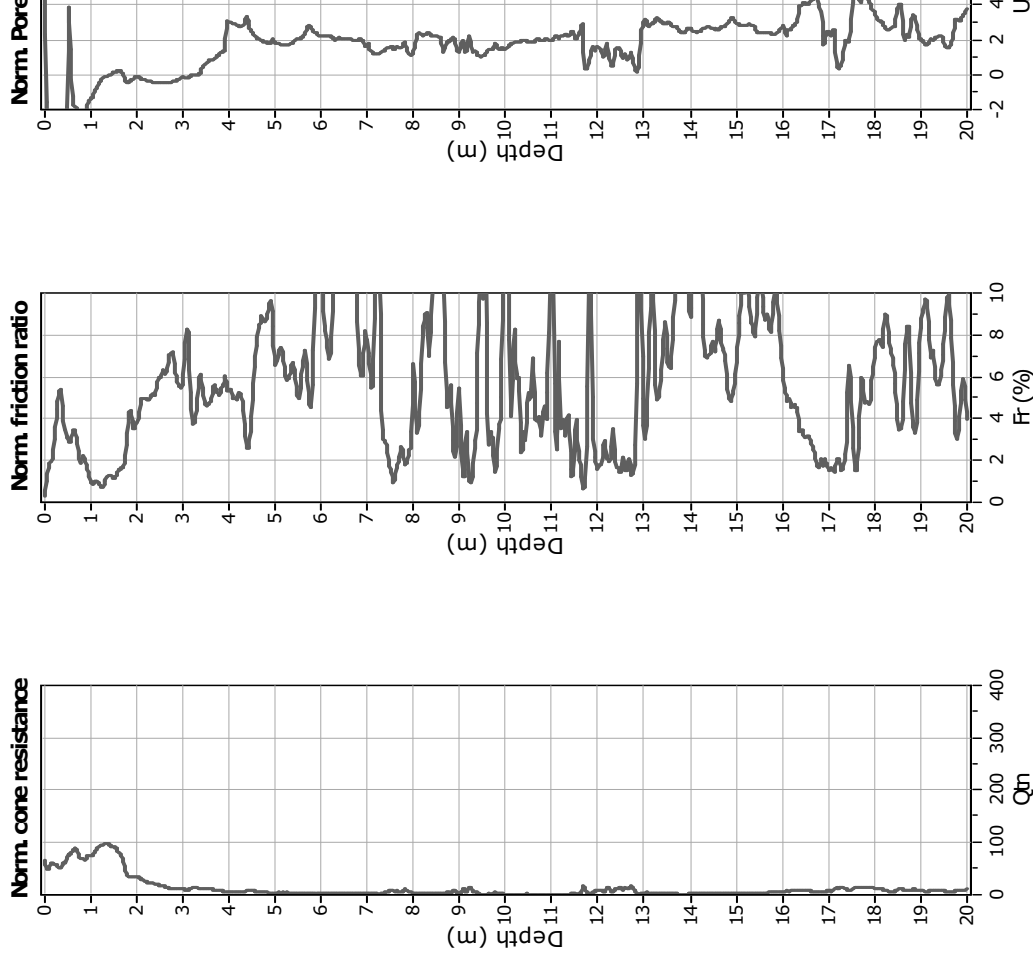
**SBT legend**

- 1. Sensitive fine grained
- 2. Organic material
- 3. Clay to silty clay
- 4. Clay & silty clay
- 5. Silty sand to sandy silt
- 6. Clean sand to silty sand
- 7. Gravely sand to sand
- 8. Very stiff sand to clayey sand
- 9. Very stiff fine grained

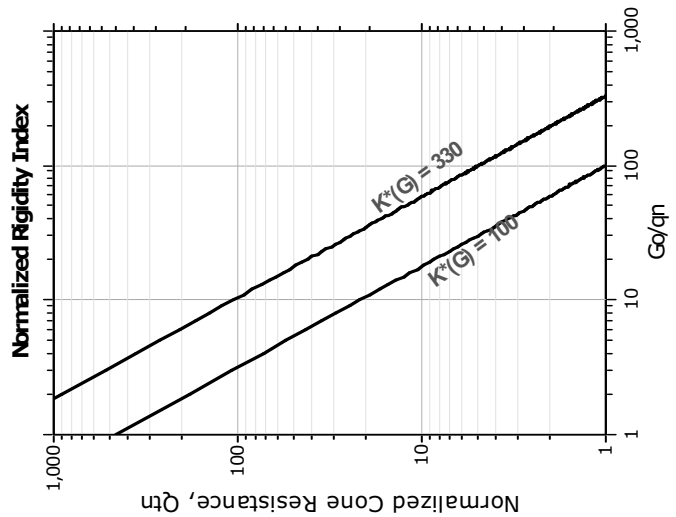
CPT: CPTU 2

Total depth: 20.00 m. Date: 31/10/2017

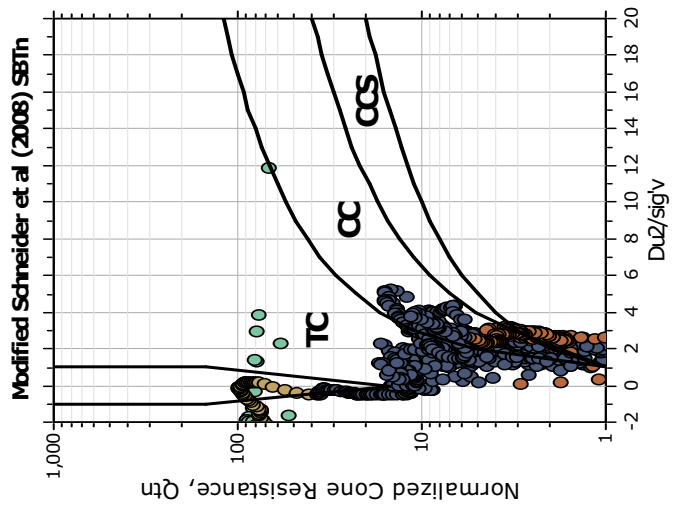




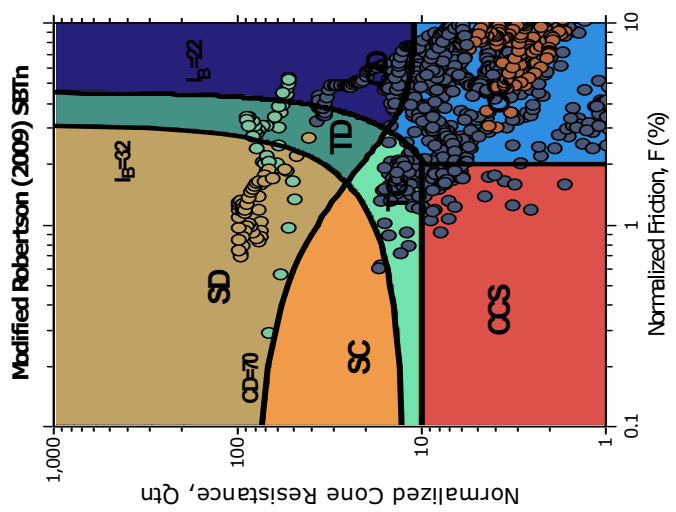
### Updated SBTn plots

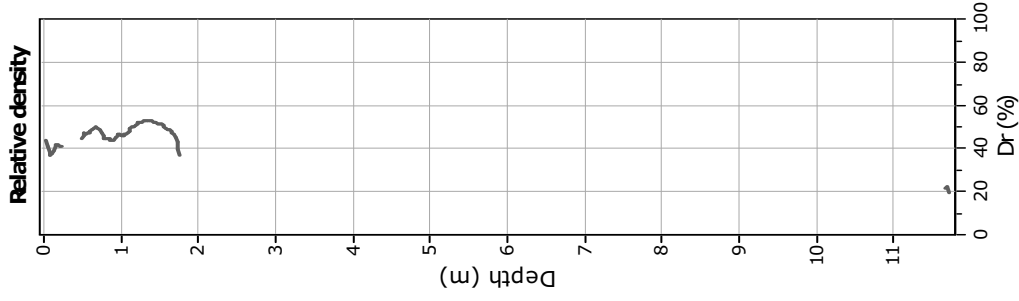
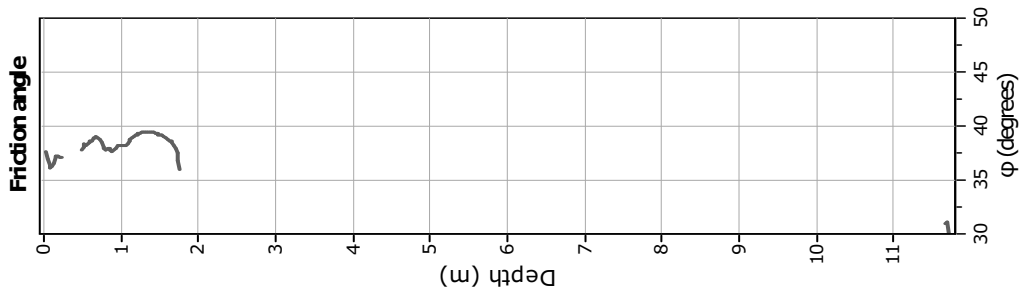
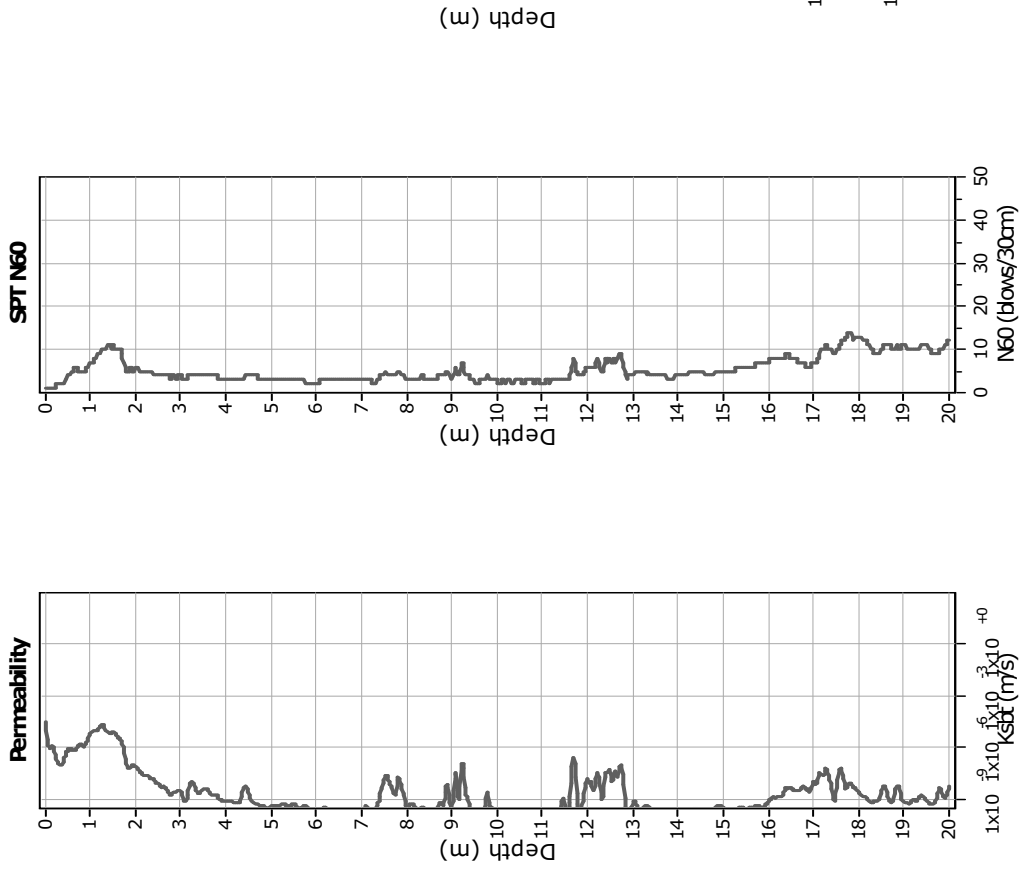


$K(G) > 330$ : Soils with significant microstructure (e.g. age/cementation)



$\alpha$ : Clay-like - Contractive  
 $\alpha S$ : Clay-like - Contractive  
 $\alpha D$ : Clay-like - Dilative  
 TC: Transitional - Contractive  
 TD: Transitional - Dilative  
 SC: Sand-like - Contractive  
 SD: Sand-like - Dilative



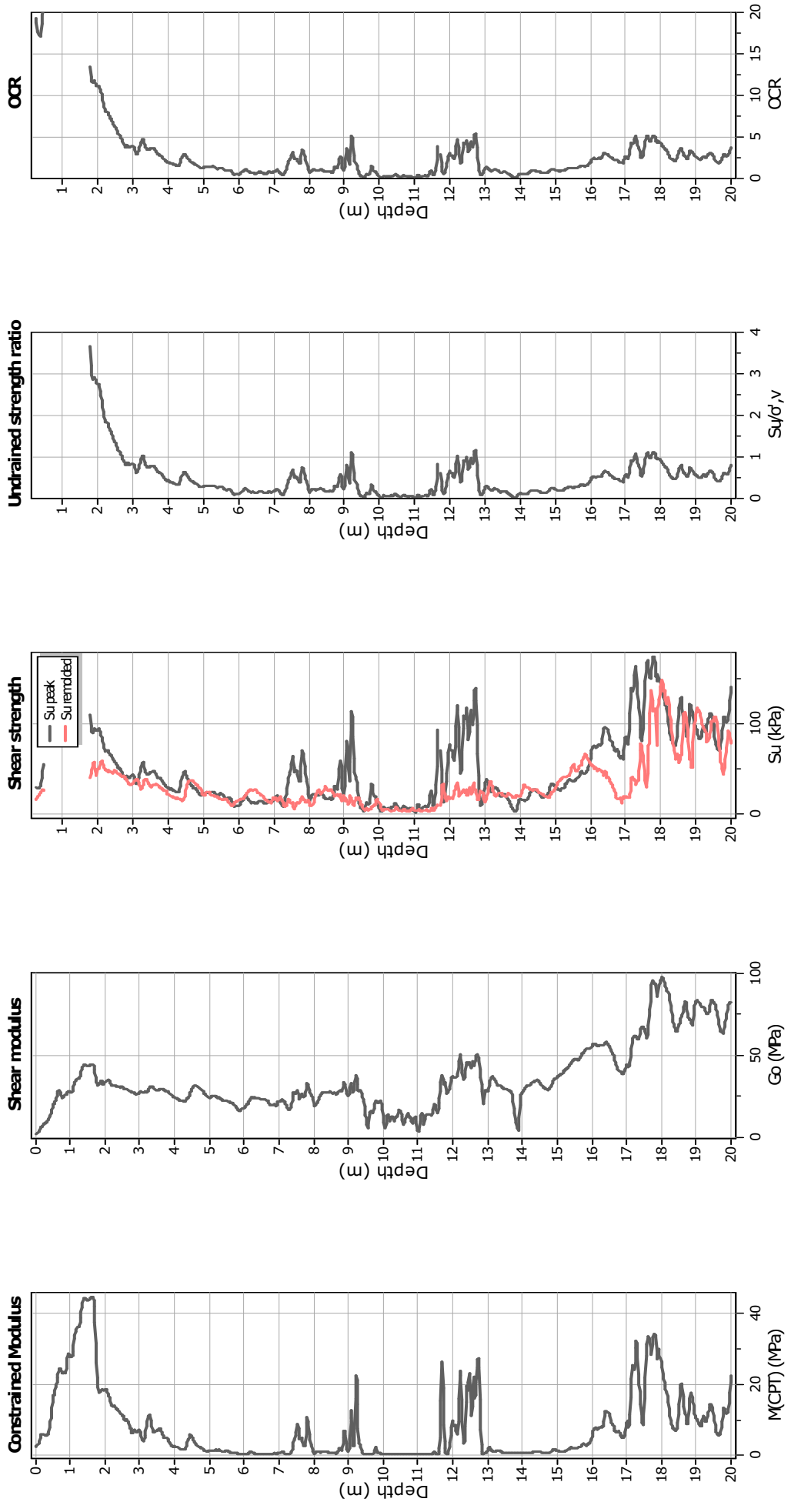


**Calculation parameters**

Permeability: Based on  $SBT_n$   
 SPT N<sub>60</sub>: Based on  $I_c$  and  $q_t$   
 Young's modulus: Based on variable alpha using  $I_c$  (Robertson, 2009)

Relative desity constant,  $C_{Dr}$ : 350.0  
 Phi: Based on Kulhawy & Mayne (1990)  
 User defined estimation data

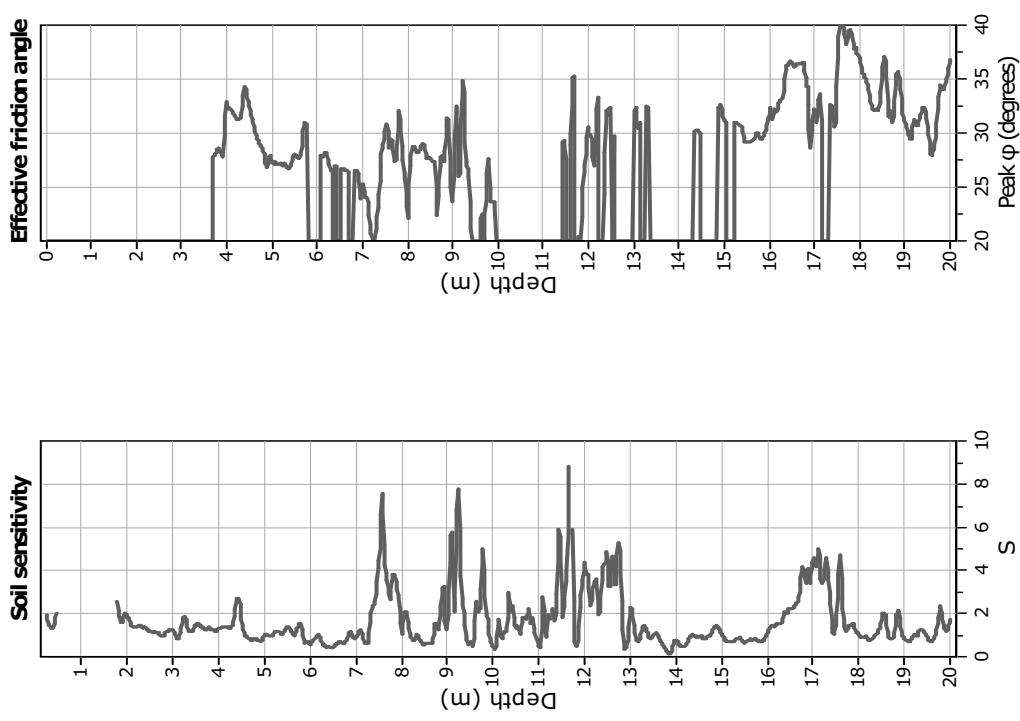
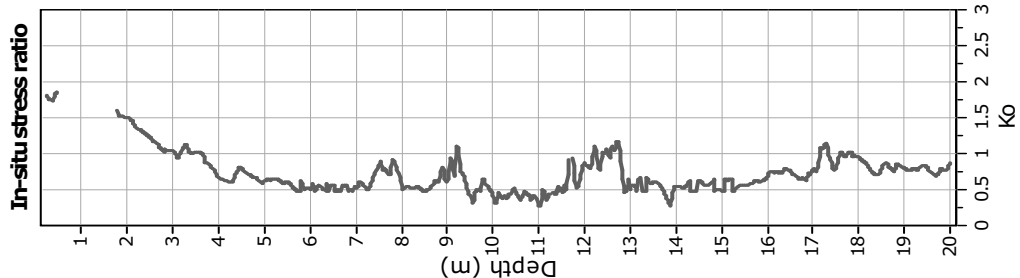
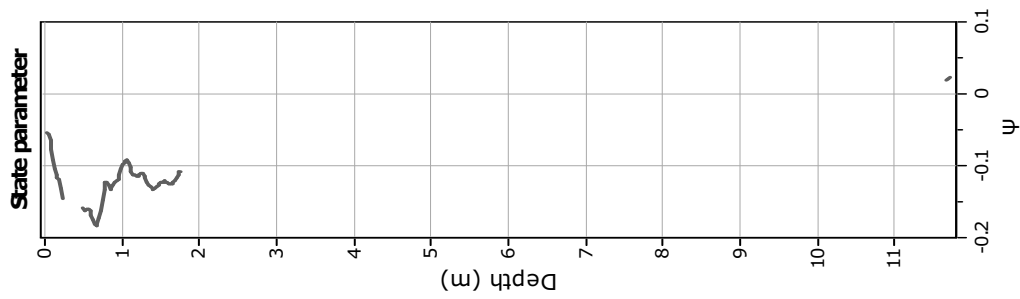
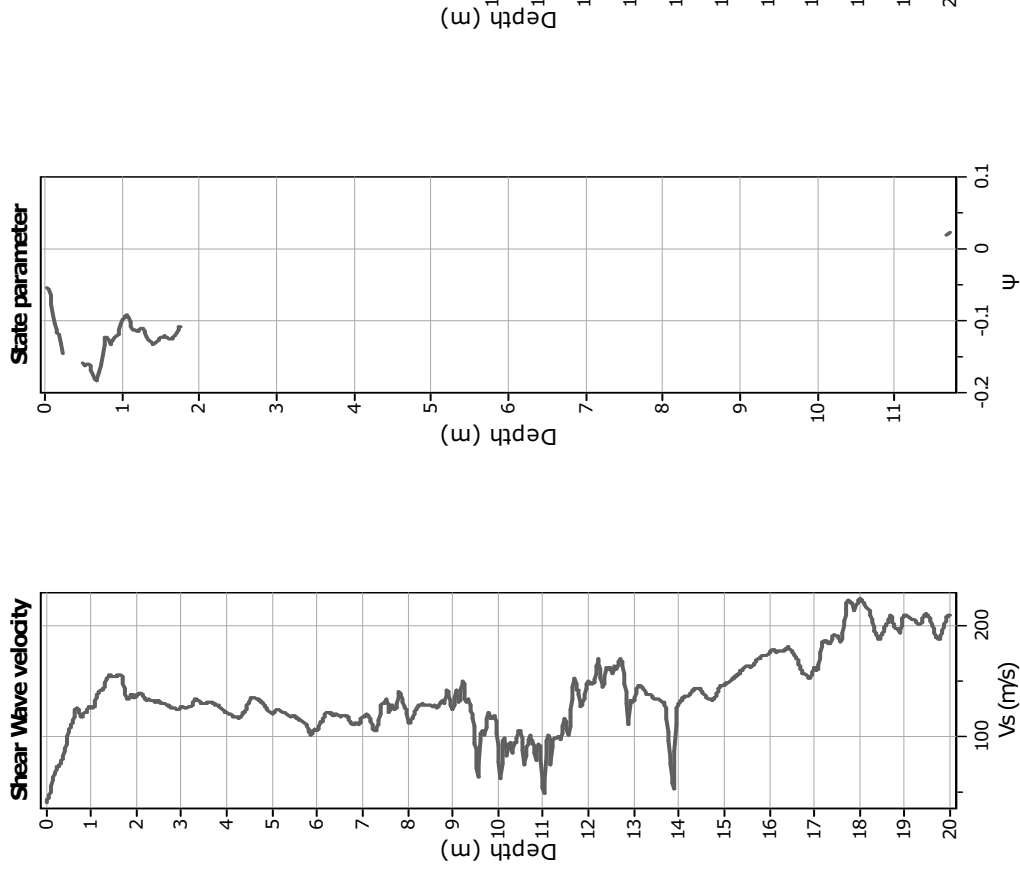
CPeT-IT v.2.0.1.77 - CPTU data presentation & interpretation software - Report created on: 09/11/2017, 17:17:55  
 Project file: C:\Users\luteo\Desktop\ELABORAZIONE\CPTU.cpt



#### Calculation parameters

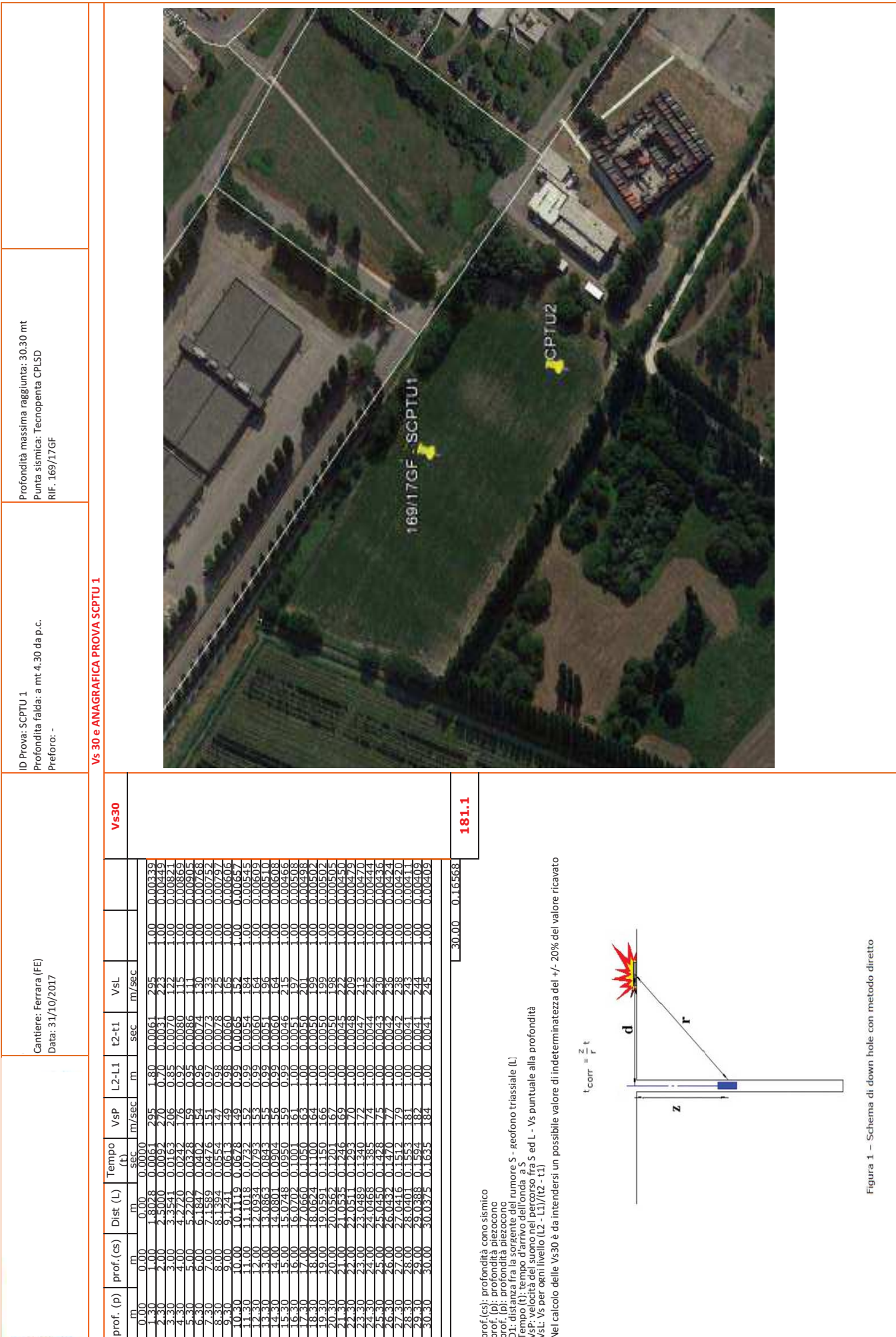
Constrained modulus: Based on variable  $\alpha/\phi\text{ha}$  using  $I_c$  and  $Q_{in}$  (Robertson, 2009)  
 $Go$ : Based on variable  $\alpha/\phi\text{ha}$  using  $I_c$  (Robertson, 2009)  
 Undrained shear strength cone factor for clays,  $N_{k\epsilon} = 14$

OCR factor for clays,  $N_{k\epsilon} = 0.33$   
● User defined estimation data  
● Flat Dilatometer Test data



**calculation parameters**

Soil Sensitivity factor, N<sub>s</sub>: 7.00  
 User defined estimation data



prof (cs): profondità cono sismico  
 prof (p): profondità piezometro  
 prof (d): profondità piezocorno  
 D1: distanza fra la sorgente del rumore S - retefonio triassiale [L]  
 Tempo (t<sub>h</sub>): tempo d'arrivo della onda S  
 V<sub>sP</sub>: velocità del suono nel percorso (L<sub>2</sub>-L<sub>1</sub>)/(L<sub>2</sub>-1)  
 V<sub>sL</sub>: Vs per ogni livello (L<sub>2</sub>-L<sub>1</sub>)/(L<sub>2</sub>-1)  
 Nel calcolo delle V<sub>s30</sub> è da intendersi un possibile valore di indeterminatezza del +/- 20% del valore ricavato

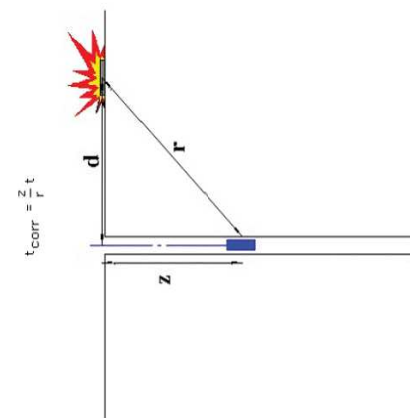


Figura 1 – Schema di down hole con metodo diretto



**GEO GROUP s.r.l.**

Sede Legale: via C. Costa, 182 – 41124 Modena

Sede operativa: via per Modena, 12 – 41051 Castelnuovo Rangone (MO)

Tel. 059-39.67.169 - Fax . 059-53.32.019

p.IVA e C.F. 02981500362 – [www.geogroupmodena.it](http://www.geogroupmodena.it) - e-mail: info@geogroupmodena.it

## ANALISI SISMICA DI SITO SECONDO METODOLOGIA ReMi

**Cantiere:** Ferrara (FE), Via Bologna n. 534

**Data:** 27/10/2017

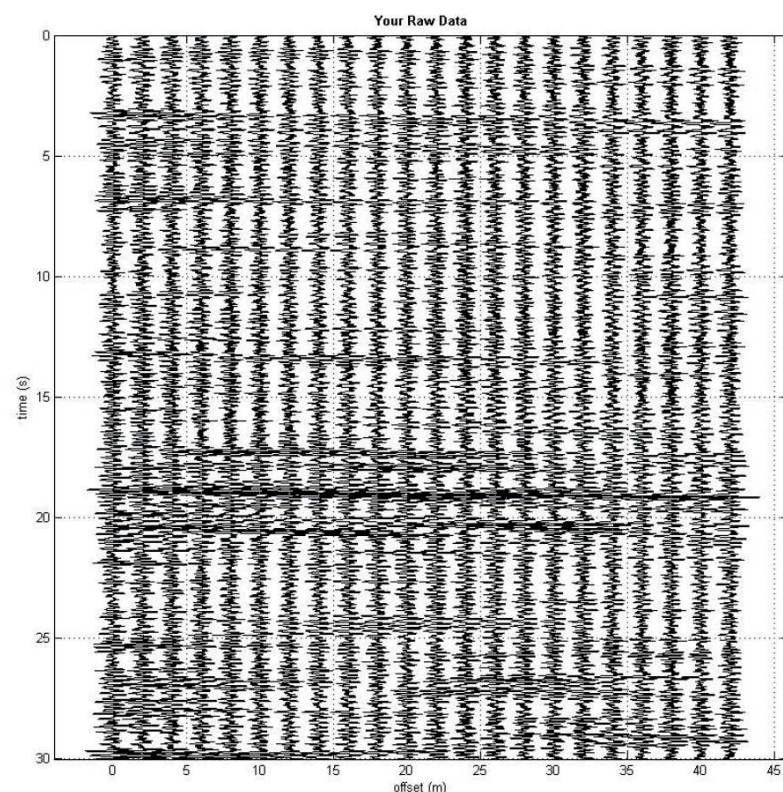
**Lavoro:** Studio di microzonazione sismica

**Responsabile:** Dott. Geol. Pier Luigi Dallari

**Re.Mi. 1  
Rif. 646/17**



**UBICAZIONE DELLO STENDIMENTO SISMICO IMPIEGATO**





**GEO GROUP s.r.l.**

Sede Legale: via C. Costa, 182 – 41124 Modena

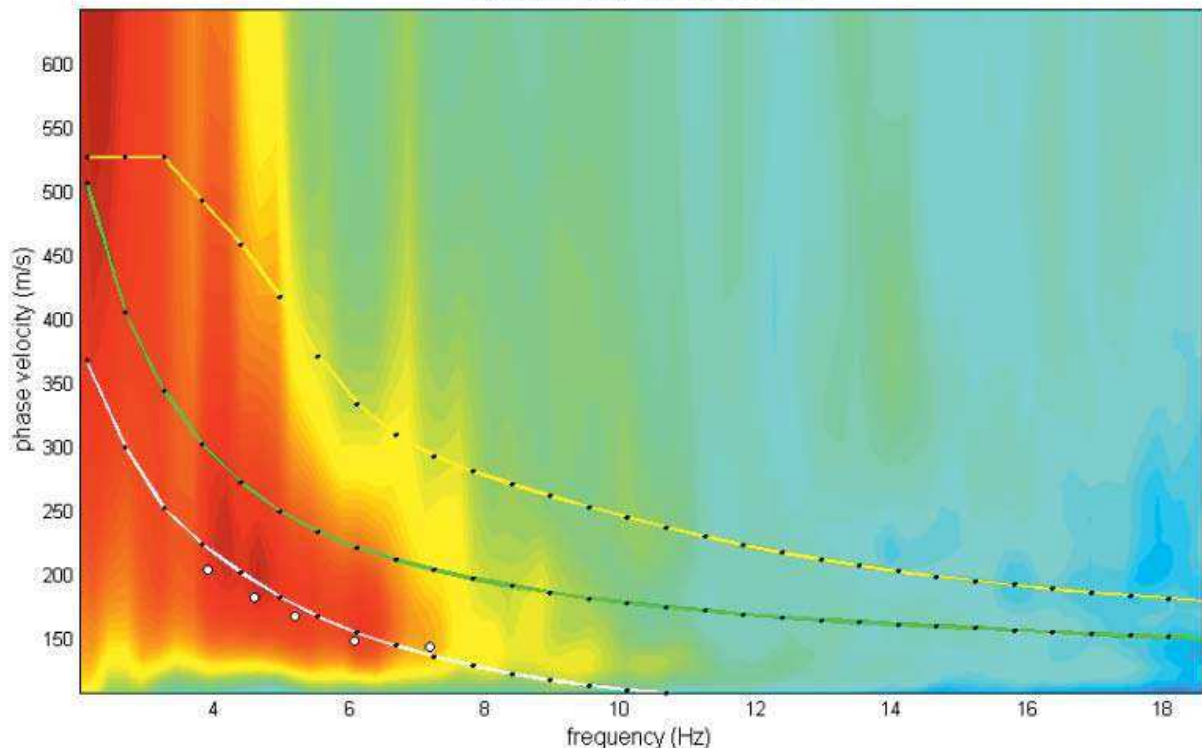
Sede operativa: via per Modena, 12 – 41051 Castelnuovo Rangone (MO)

Tel. 059-39.67.169 - Fax . 059-53.32.019

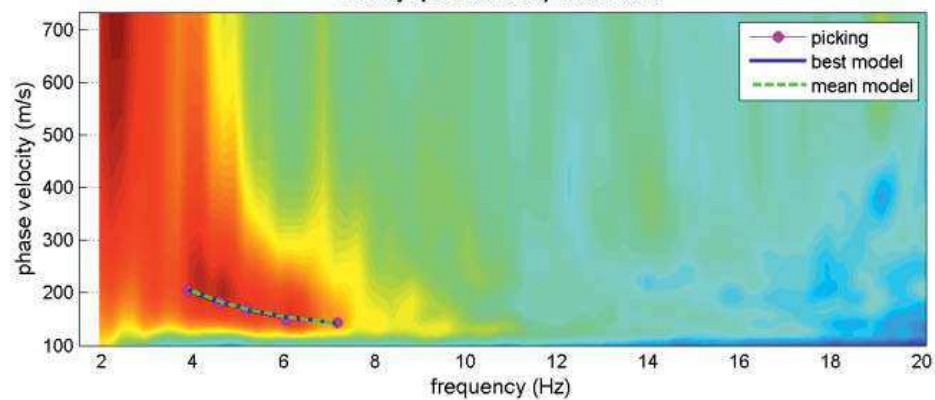
p.IVA e C.F. 02981500362 – [www.geogroupmodena.it](http://www.geogroupmodena.it) - e-mail: info@geogroupmodena.it

## SPETTRO RELATIVO ALLE VELOCITA' DI FASE, REGISTRATE NEL DOMINIO DELLE FREQUENZE

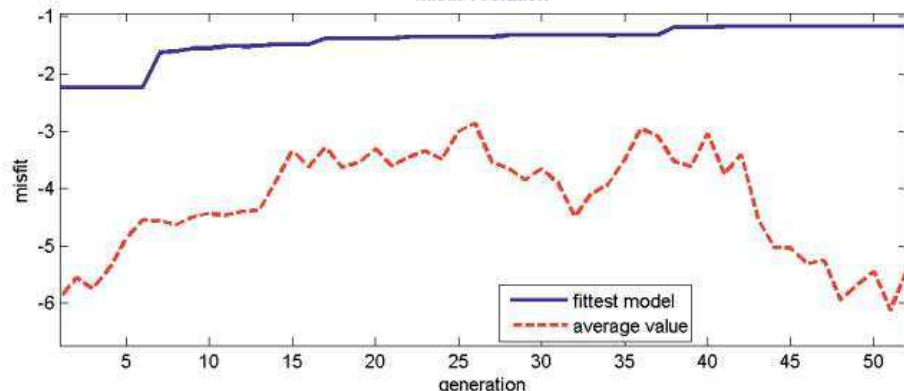
dispersion curves - model: model.mod

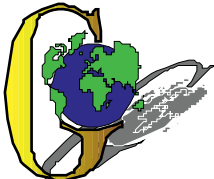


velocity spectrum & dispersion curve



misfit evolution





**GEO GROUP s.r.l.**

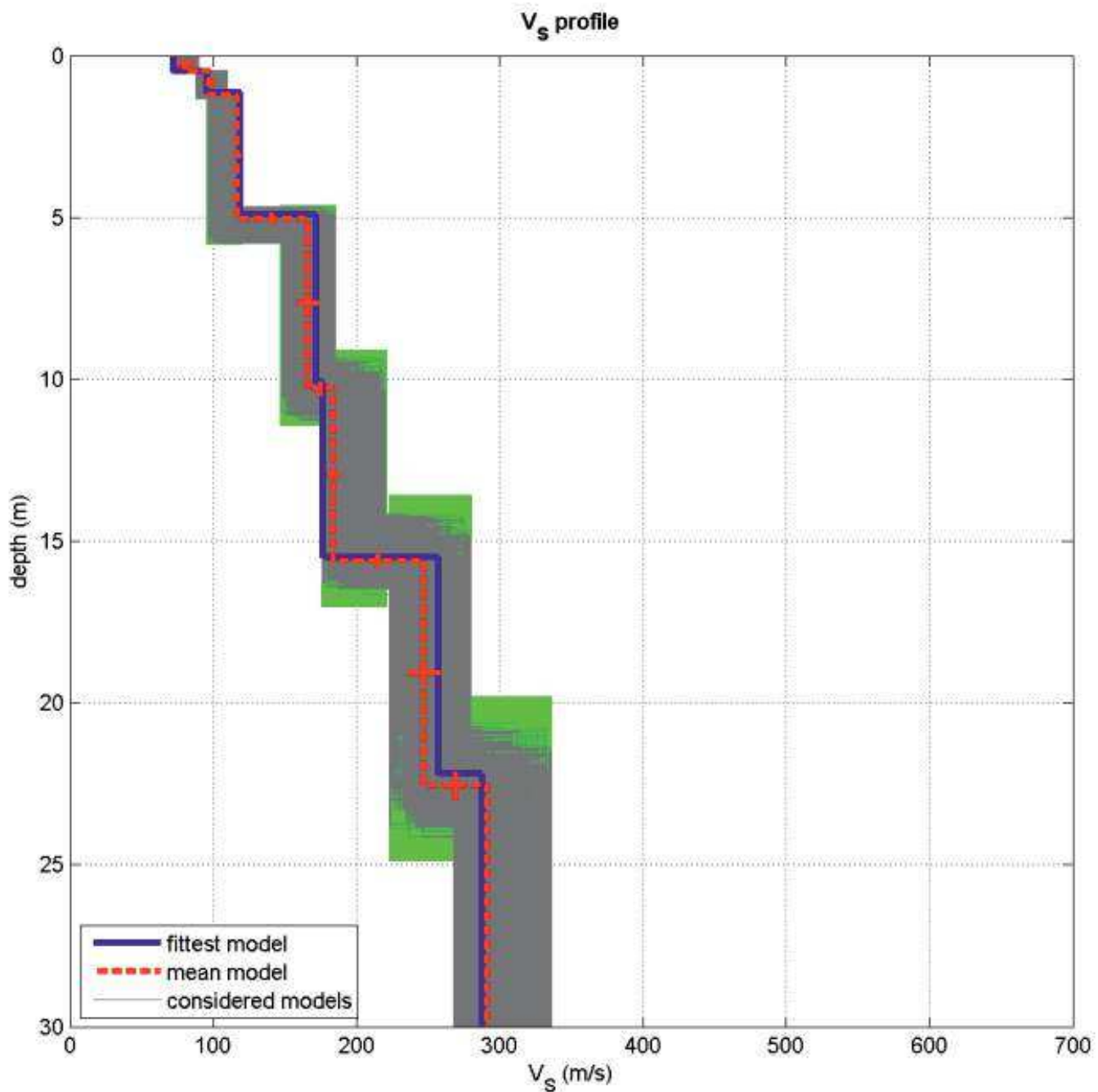
Sede Legale: via C. Costa, 182 – 41124 Modena

Sede operativa: via per Modena, 12 – 41051 Castelnuovo Rangone (MO)

Tel. 059-39.67.169 - Fax . 059-53.32.019

p.IVA e C.F. 02981500362 – [www.geogroupmodena.it](http://www.geogroupmodena.it) - e-mail: info@geogroupmodena.it

## MODELLO Vs30 DERIVATO DALL'INDAGINE ReMI ESEGUITA



**BEST MODEL**  
**V<sub>s30</sub> = 189 m/s**



**GEO GROUP s.r.l.**

Sede Legale: via C. Costa, 182 – 41124 Modena

Sede operativa: via per Modena, 12 – 41051 Castelnuovo Rangone (MO)

Tel. 059-39.67.169 - Fax . 059-53.32.019

p.IVA e C.F. 02981500362 – [www.geogroupmodena.it](http://www.geogroupmodena.it) - e-mail: info@geogroupmodena.it

## ANALISI SISMICA DI SITO SECONDO METODOLOGIA ReMi

**Cantiere:** Ferrara (FE), Via Bologna n. 534

**Data:** 27/10/2017

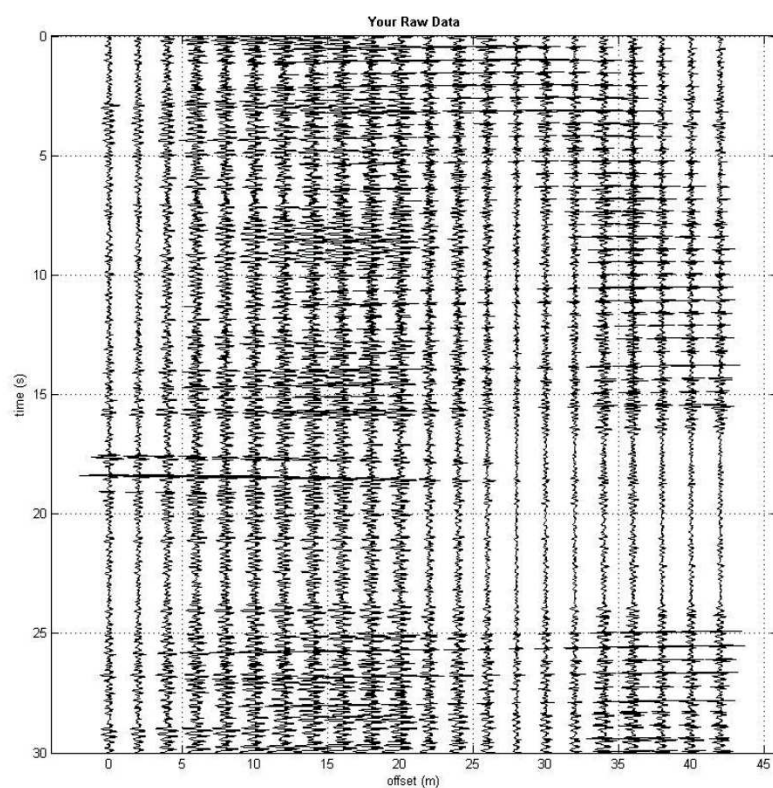
**Lavoro:** Studio di microzonazione sismica

**Responsabile:** Dott. Geol. Pier Luigi Dallari

**Re.Mi. 2  
Rif. 646/17**



**UBICAZIONE DELLO STENDIMENTO SISMICO IMPIEGATO**





**GEO GROUP s.r.l.**

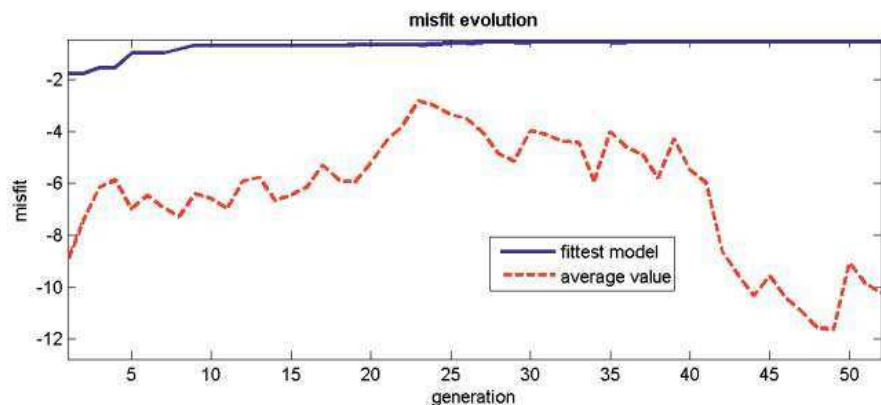
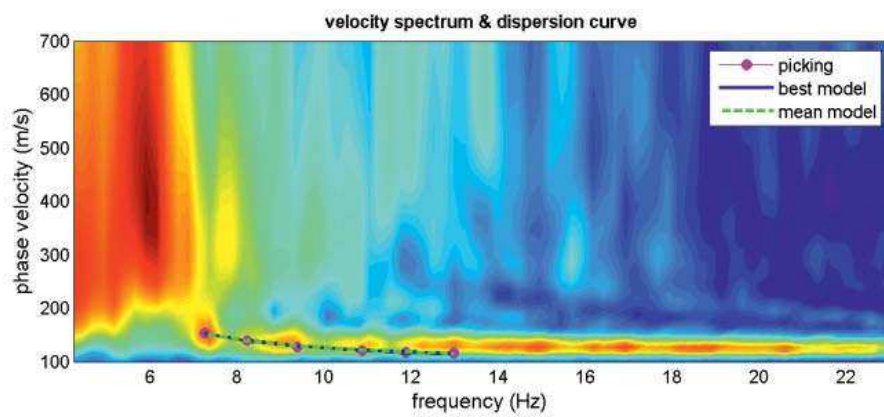
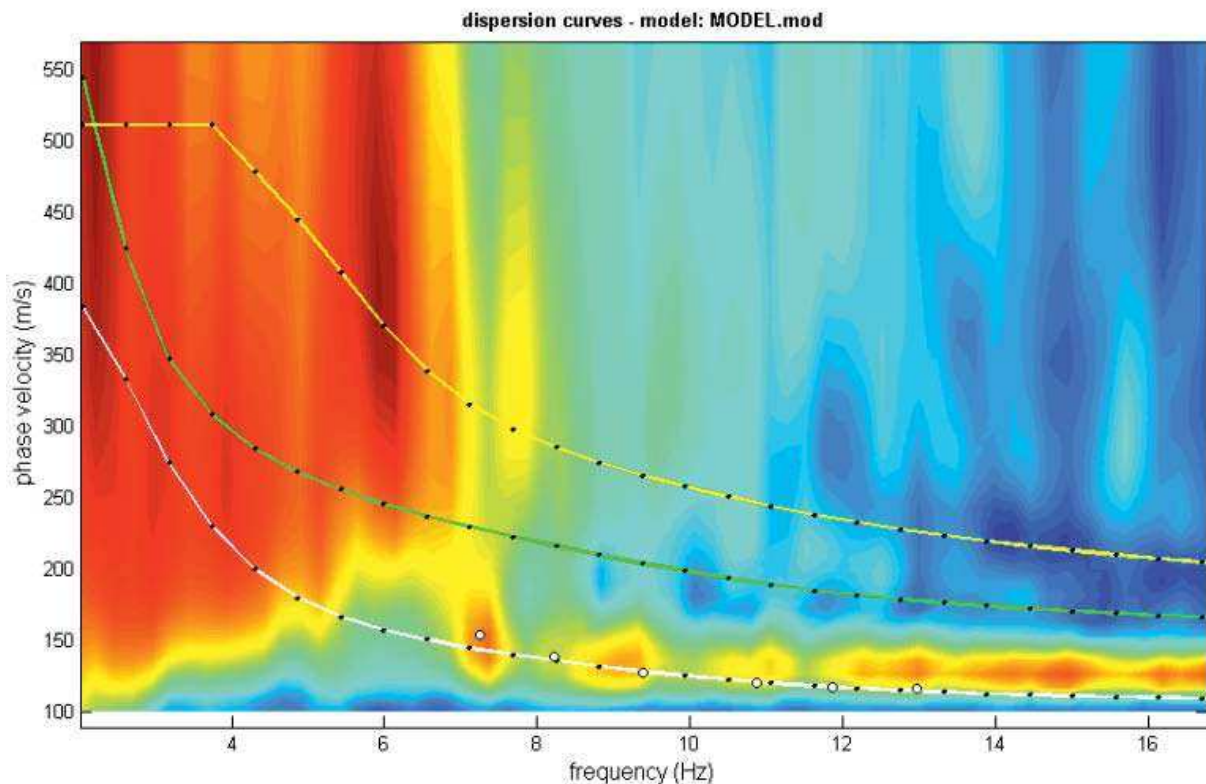
Sede Legale: via C. Costa, 182 – 41124 Modena

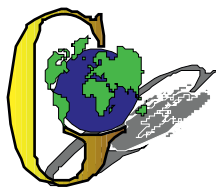
Sede operativa: via per Modena, 12 – 41051 Castelnuovo Rangone (MO)

Tel. 059-39.67.169 - Fax . 059-53.32.019

p.IVA e C.F. 02981500362 – [www.geogroupmodena.it](http://www.geogroupmodena.it) - e-mail: info@geogroupmodena.it

## SPETTRO RELATIVO ALLE VELOCITA' DI FASE, REGISTRATE NEL DOMINIO DELLE FREQUENZE





GEO GROUP s.r.l.

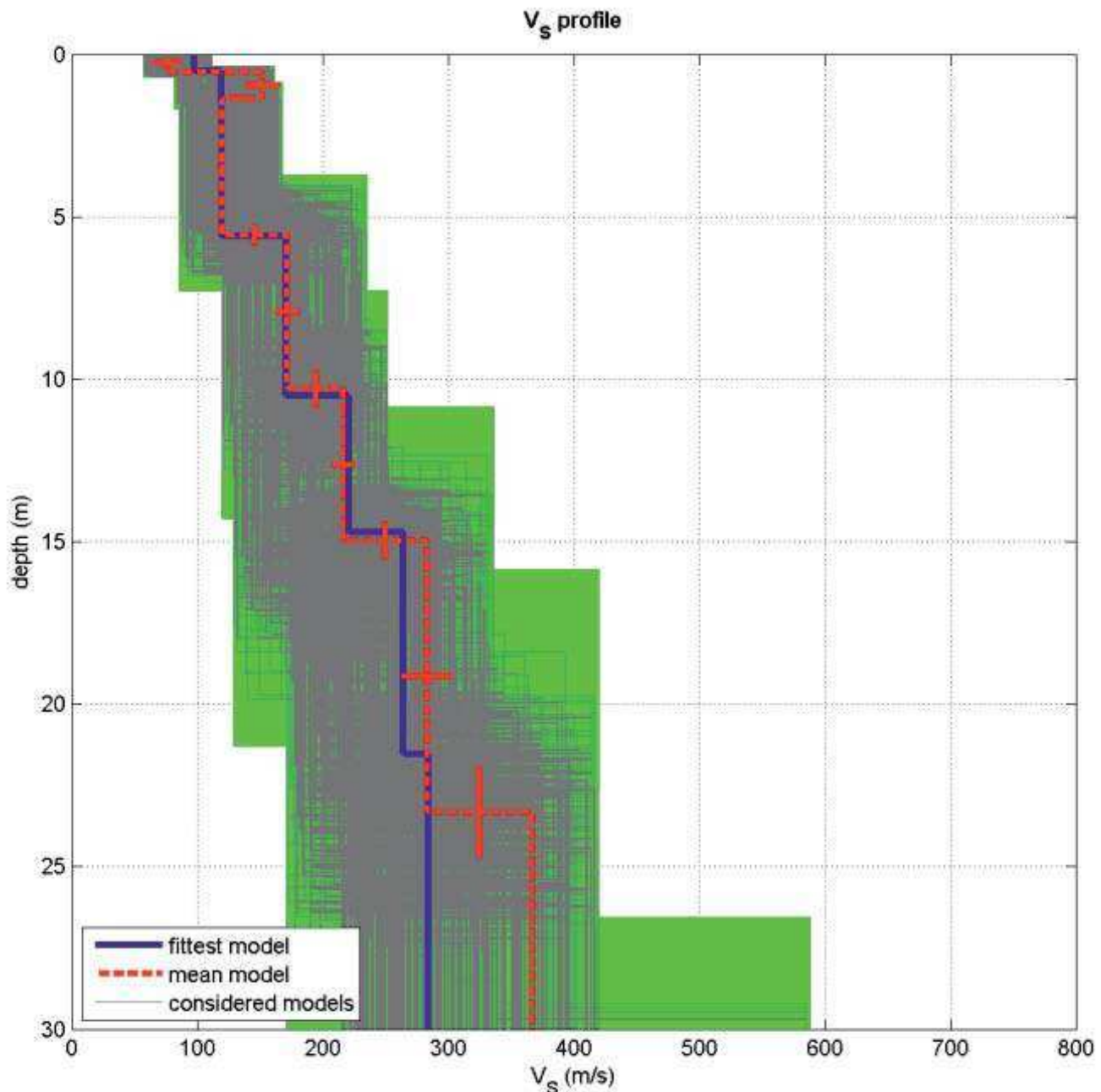
**Sed e Legale:** via C. Costa, 182 – 41124 Modena

**Sede operativa: via per Modena, 12 – 41051 Castelnuovo Rangone (MO)**

Tel. 059-39.67.169 - Fax . 059-53.32.019

p.IVA e C.F. 02981500362 - [www.geogroupmodena.it](http://www.geogroupmodena.it) - e-mail: info@geogroupmodena.it

## MODELLO Vs30 DERIVATO DALL'INDAGINE ReMI ESEGUITA



# BEST MODEL

## V<sub>s30</sub> = 189 m/s



**GEO GROUP s.r.l.**

Sede Legale: via C. Costa, 182 – 41124 Modena

Sede operativa: via per Modena, 12 – 41051 Castelnuovo Rangone (MO)

Tel. 059-39.67.169 - Fax . 059-53.32.019

p.IVA e C.F. 02981500362 - [www.geogroupmodena.it](http://www.geogroupmodena.it) - e-mail: info@geogroupmodena.it

## **ANALISI SISMICA DI SITO SECONDO METODOLOGIA M.A.S.W.**

**Cantiere:** Ferrara (FE), Via Bologna n. 534

**Lavoro:** Studio di microzonazione sismica

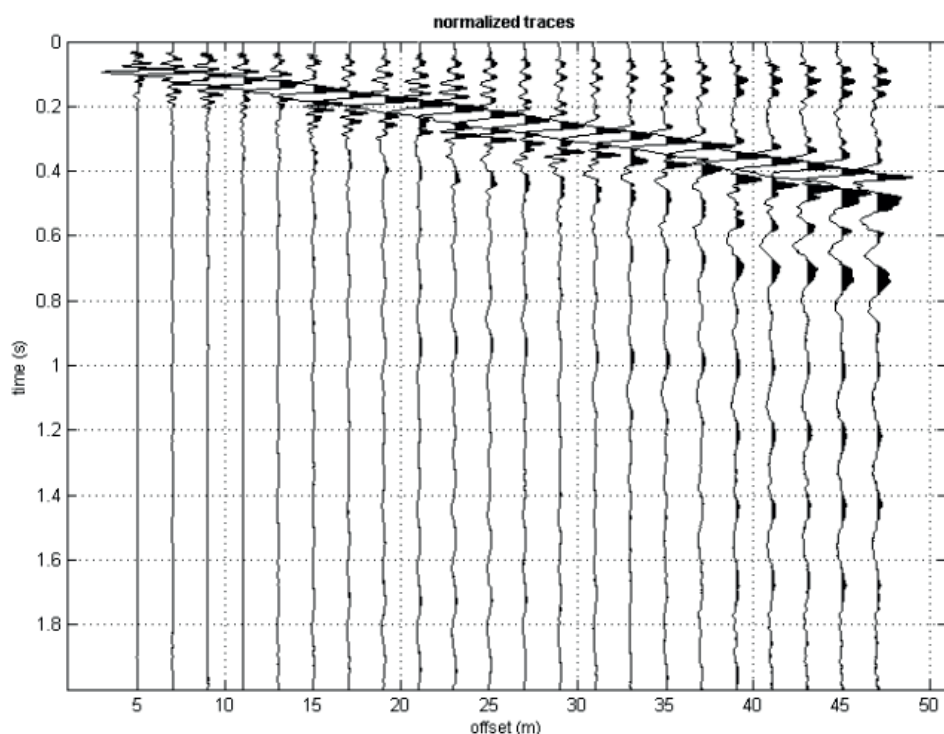
**Data:** 27/10/2017

**Responsabile:** Dott. Geol. Pier Luigi Dallari

**MASW n. 1  
Rif. 646/17**



**UBICAZIONE DELLO STENDIMENTO SISMICO IMPIEGATO**





**GEO GROUP s.r.l.**

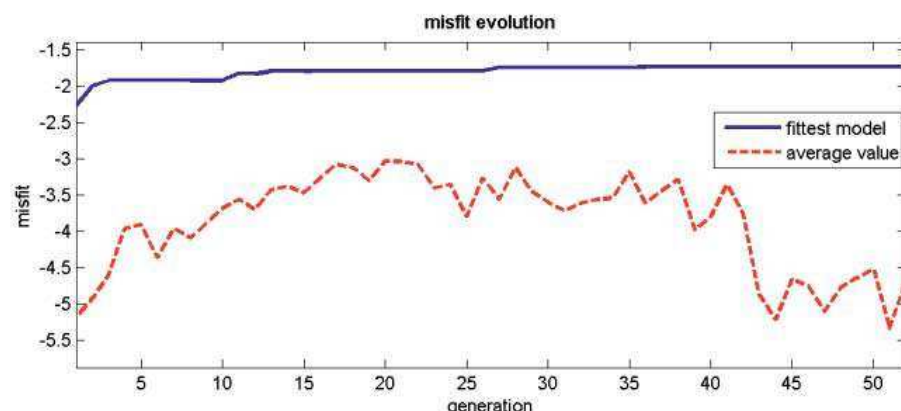
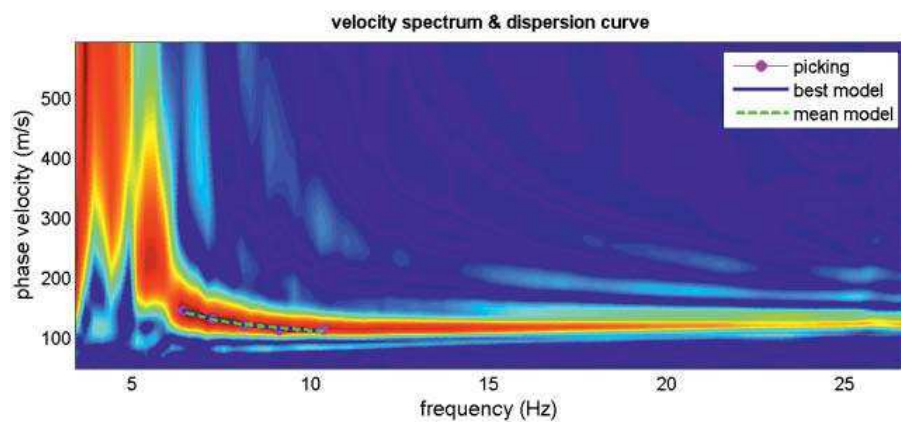
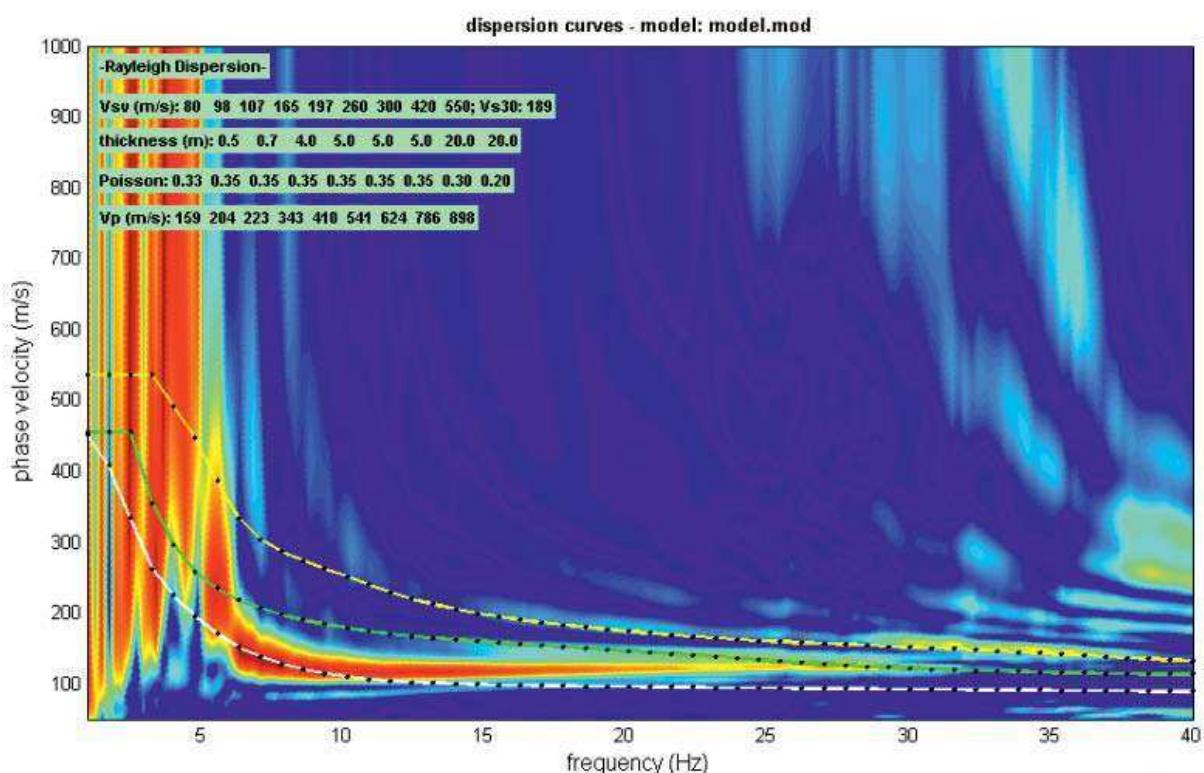
Sede Legale: via C. Costa, 182 – 41124 Modena

Sede operativa: via per Modena, 12 – 41051 Castelnuovo Rangone (MO)

Tel. 059-39.67.169 - Fax . 059-53.32.019

p.IVA e C.F. 02981500362 – [www.geogroupmodena.it](http://www.geogroupmodena.it) - e-mail: info@geogroupmodena.it

## SPECTRUM RELATIVO ALLE VELOCITA' DI FASE, REGISTRATE NEL DOMINIO DELLE FREQUENZE





**GEO GROUP s.r.l.**

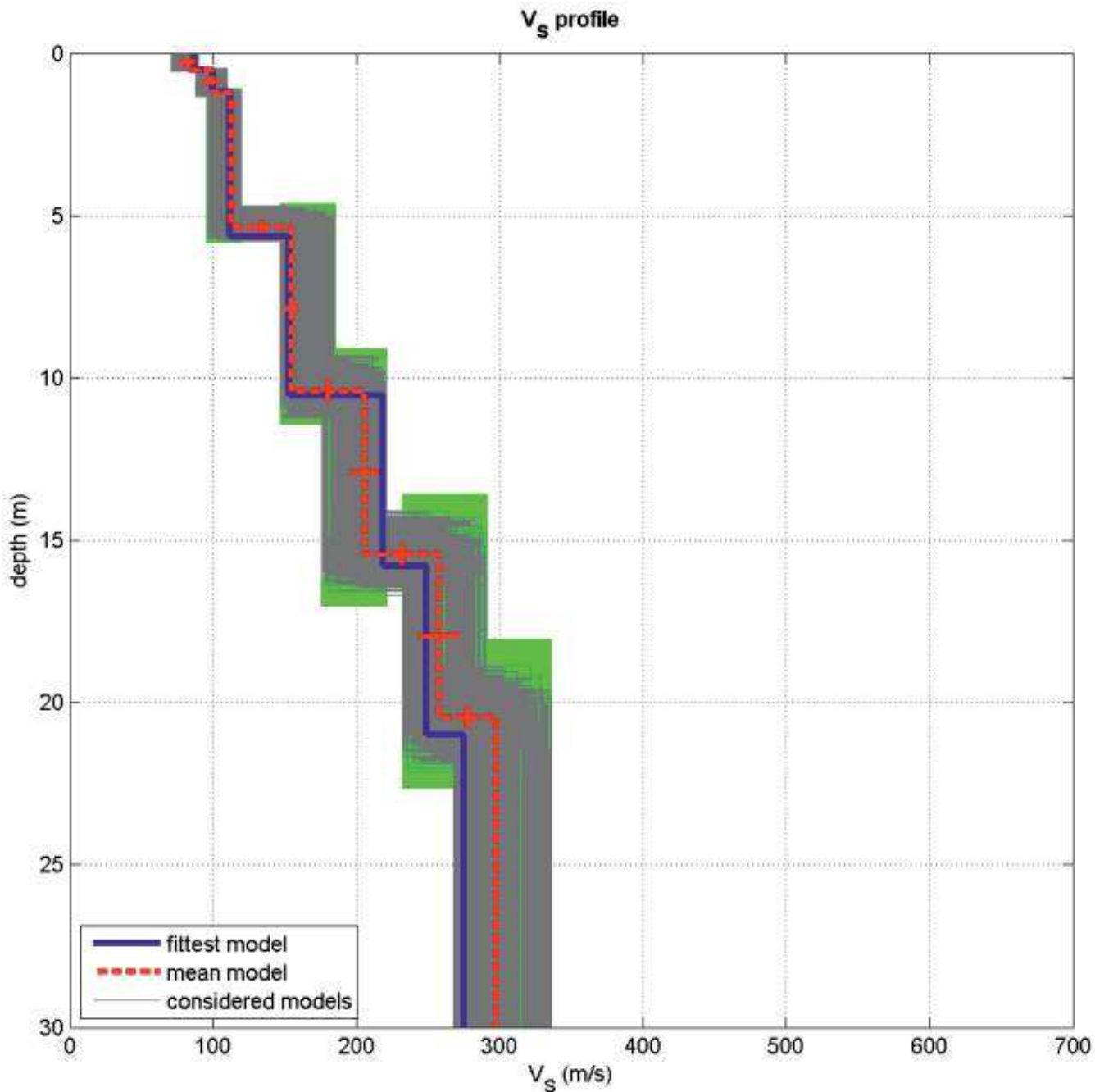
Sede Legale: via C. Costa, 182 – 41124 Modena

Sede operativa: via per Modena, 12 – 41051 Castelnuovo Rangone (MO)

Tel. 059-39.67.169 - Fax . 059-53.32.019

p.IVA e C.F. 02981500362 – [www.geogroupmodena.it](http://www.geogroupmodena.it) - e-mail: info@geogroupmodena.it

## MODELLO Vs30 DERIVATO DALL'INDAGINE MASW ESEGUITA



**BEST MODEL**  
**V<sub>s30</sub> = 185 m/s**



**GEO GROUP s.r.l.**

Sede Legale: via C. Costa, 182 – 41124 Modena

Sede operativa: via per Modena, 12 – 41051 Castelnuovo Rangone (MO)

Tel. 059-39.67.169 - Fax . 059-53.32.019

p.IVA e C.F. 02981500362 – [www.geogroupmodena.it](http://www.geogroupmodena.it) - e-mail: info@geogroupmodena.it

## **ANALISI SISMICA DI SITO SECONDO METODOLOGIA M.A.S.W.**

**Cantiere:** Ferrara (FE), Via Bologna n. 534

**Lavoro:** Studio di microzonazione sismica

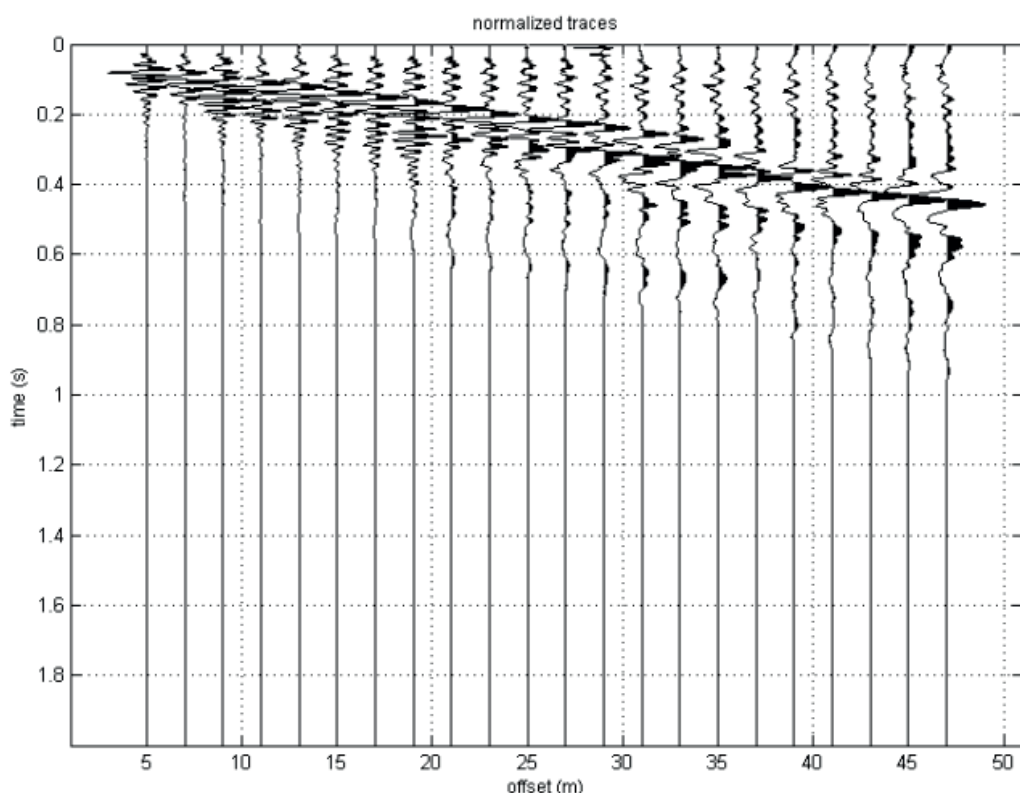
**Data:** 27/10/2017

**Responsabile:** Dott. Geol. Pier Luigi Dallari

**MASW n. 2  
Rif. 646/17**



**UBICAZIONE DELLO STENDIMENTO SISMICO IMPIEGATO**





**GEO GROUP s.r.l.**

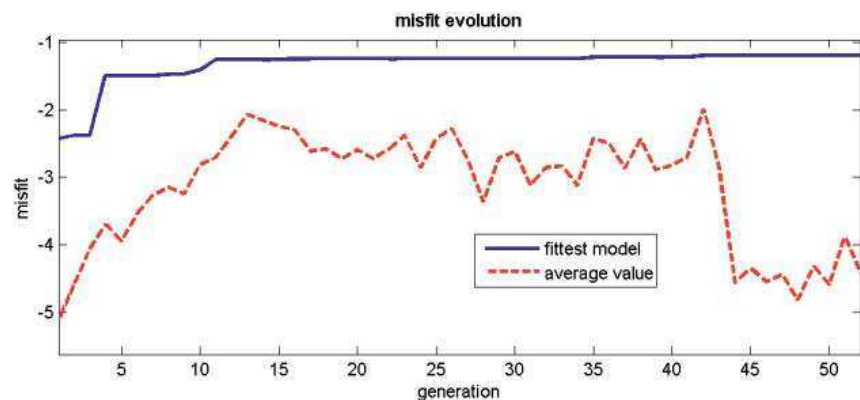
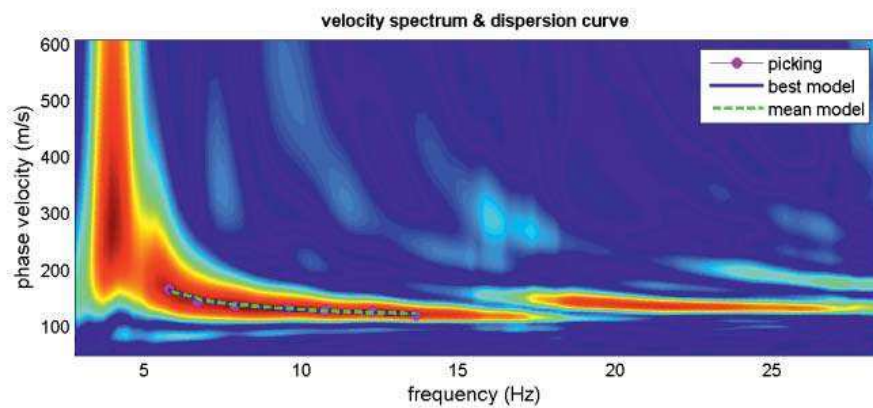
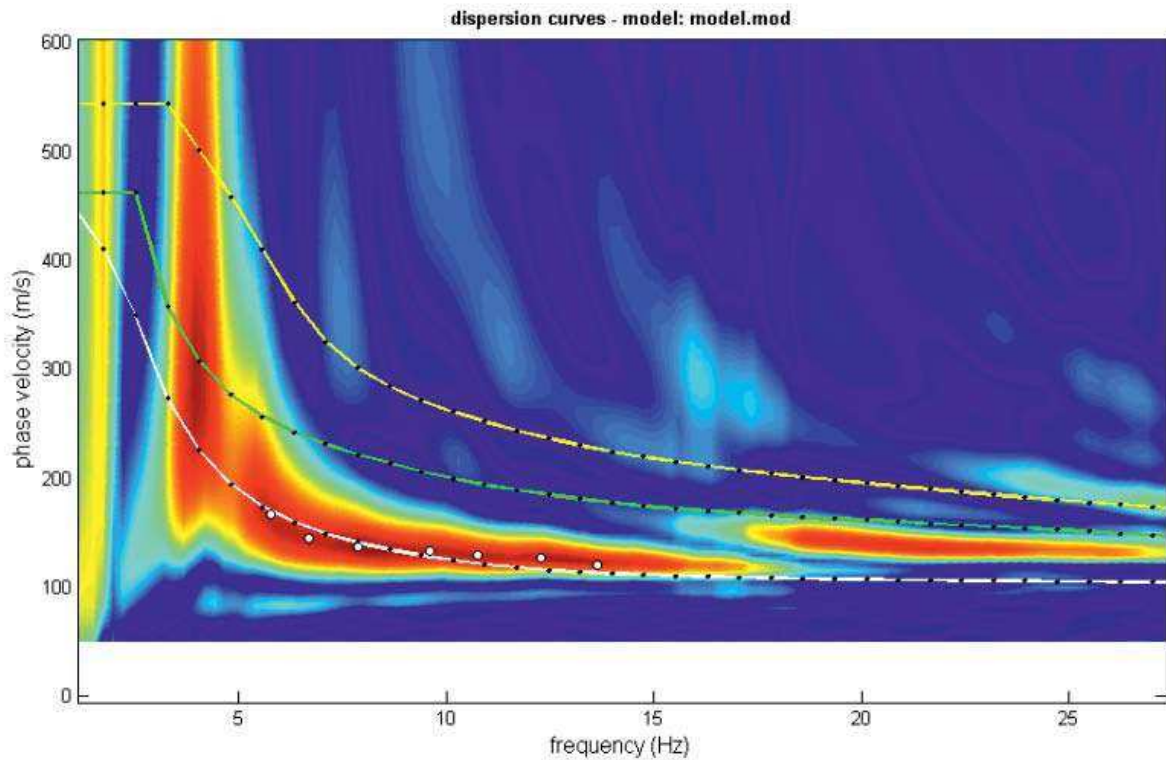
Sede Legale: via C. Costa, 182 – 41124 Modena

Sede operativa: via per Modena, 12 – 41051 Castelnuovo Rangone (MO)

Tel. 059-39.67.169 - Fax . 059-53.32.019

p.IVA e C.F. 02981500362 – [www.geogroupmodena.it](http://www.geogroupmodena.it) - e-mail: info@geogroupmodena.it

## SPECTRUM RELATIVO ALLE VELOCITA' DI FASE, REGISTRATE NEL DOMINIO DELLE FREQUENZE





**GEO GROUP s.r.l.**

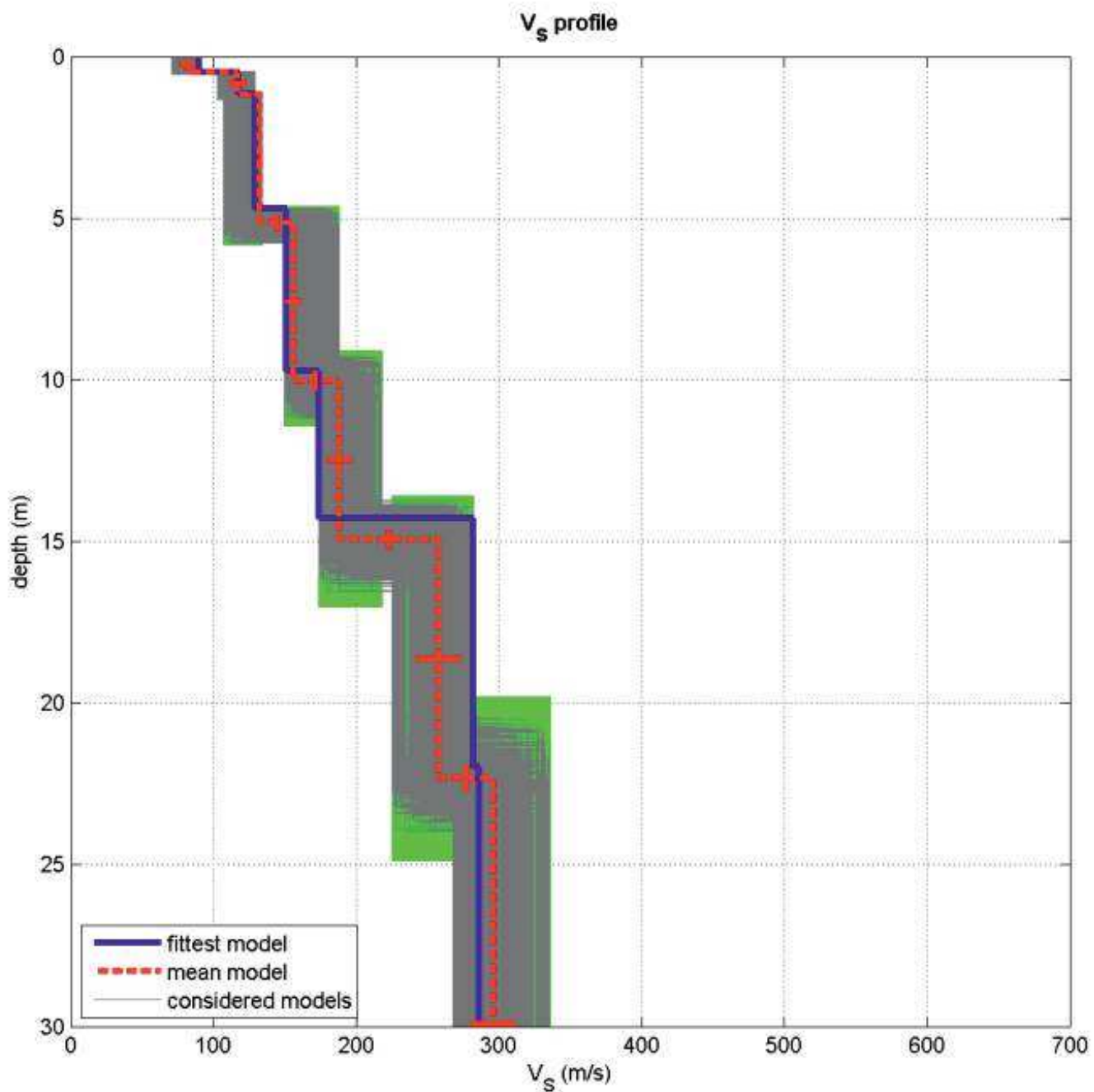
Sede Legale: via C. Costa, 182 – 41124 Modena

Sede operativa: via per Modena, 12 – 41051 Castelnuovo Rangone (MO)

Tel. 059-39.67.169 - Fax . 059-53.32.019

p.IVA e C.F. 02981500362 – [www.geogroupmodena.it](http://www.geogroupmodena.it) - e-mail: info@geogroupmodena.it

## MODELLO Vs30 DERIVATO DALL'INDAGINE MASW ESEGUITA



**BEST MODEL**  
**V<sub>s30</sub> = 196 m/s**

**1, 01**

Instrument: EXT- 24 bit USB

Data format: 16 byte

Full scale [mV]: n.a.

Start recording: 27/10/17 10:55:04 End recording: 27/10/17 11:15:04

Channel labels: NORTH SOUTH; EAST WEST ; UP DOWN

GPS data not available

Trace length: 0h20'00". Analysis performed on the entire trace.

Sampling rate: 200 Hz

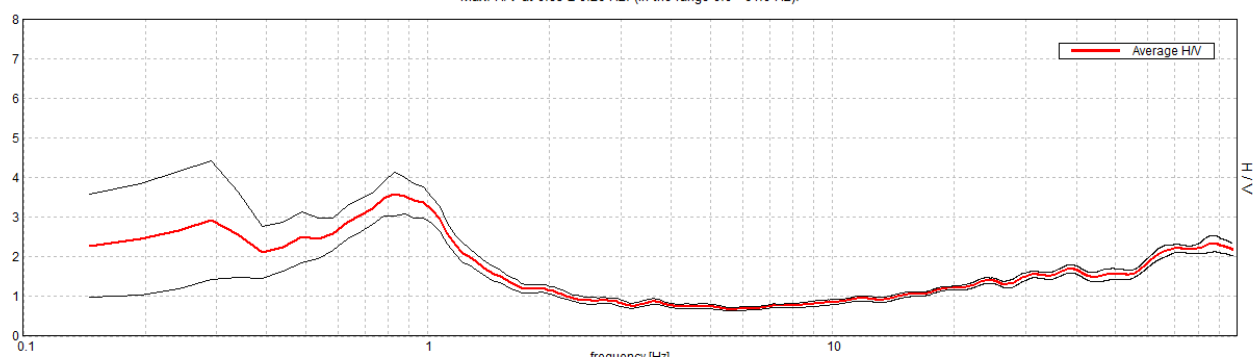
Window size: 20 s

Smoothing type: Triangular window

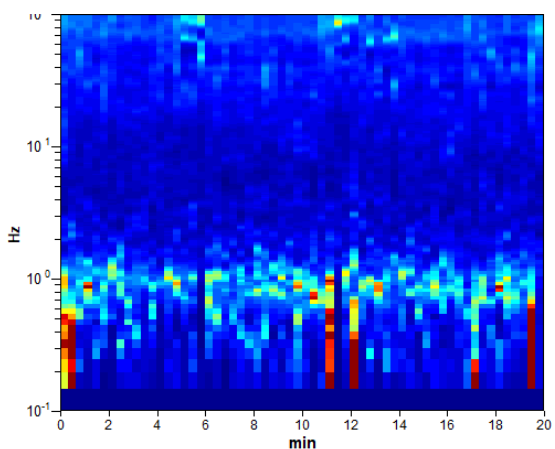
Smoothing: 10%

#### HORIZONTAL TO VERTICAL SPECTRAL RATIO

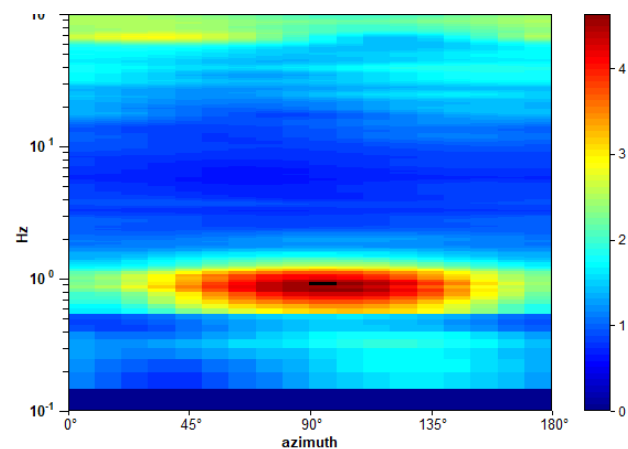
Max. H/V at 0.83 ± 0.26 Hz. (In the range 0.0 - 64.0 Hz).



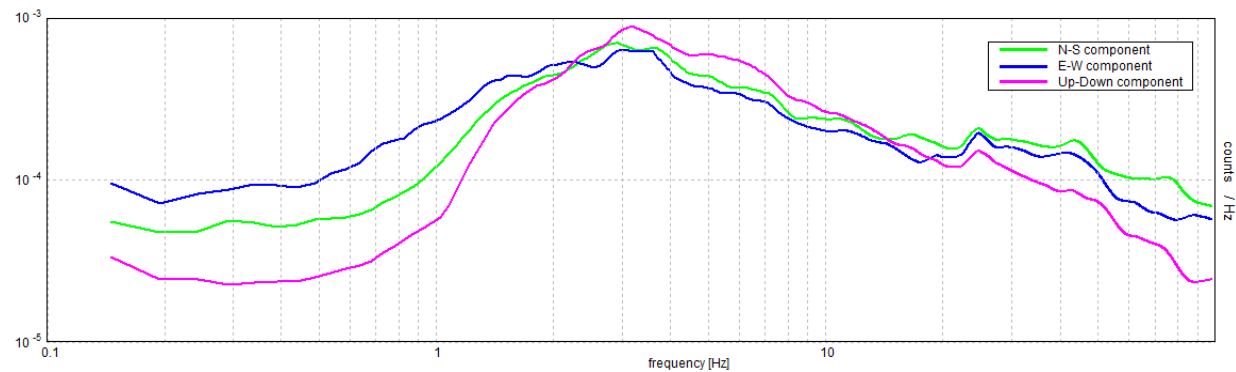
#### H/V TIME HISTORY



#### DIRECTIONAL H/V



SINGLE COMPONENT SPECTRA



[According to the SESAME, 2005 guidelines. Please read carefully the *Grilla* manual before interpreting the following tables.]

**Max. H/V at  $0.83 \pm 0.26$  Hz (in the range 0.0 - 64.0 Hz).**

**Criteria for a reliable H/V curve**

[All 3 should be fulfilled]

$f_0 > 10 / L_w$	$0.83 > 0.50$	OK	
$n_c(f_0) > 200$	$996.1 > 200$	OK	
$\sigma_A(f) < 2$ for $0.5f_0 < f < 2f_0$ if $f_0 > 0.5\text{Hz}$ $\sigma_A(f) < 3$ for $0.5f_0 < f < 2f_0$ if $f_0 < 0.5\text{Hz}$	Exceeded 0 out of 26 times	OK	

**Criteria for a clear H/V peak**

[At least 5 out of 6 should be fulfilled]

Exists $f^-$ in $[f_0/4, f_0]$   $A_{H/V}(f^-) < A_0 / 2$			NO
Exists $f^+$ in $[f_0, 4f_0]$   $A_{H/V}(f^+) < A_0 / 2$	1.367 Hz	OK	
$A_0 > 2$	$3.58 > 2$	OK	
$f_{peak}[A_{H/V}(f) \pm \sigma_A(f)] = f_0 \pm 5\%$	$ 0.3121  < 0.05$		NO
$\sigma_f < \varepsilon(f_0)$	$0.25907 < 0.12451$		NO
$\sigma_A(f_0) < \theta(f_0)$	$0.5444 < 2.0$	OK	

$L_w$	window length
$n_w$	number of windows used in the analysis
$n_c = L_w n_w f_0$	number of significant cycles
$f$	current frequency
$f_0$	H/V peak frequency
$\sigma_f$	standard deviation of H/V peak frequency
$\varepsilon(f_0)$	threshold value for the stability condition $\sigma_f < \varepsilon(f_0)$
$A_0$	H/V peak amplitude at frequency $f_0$
$A_{H/V}(f)$	H/V curve amplitude at frequency $f$
$f^-$	frequency between $f_0/4$ and $f_0$ for which $A_{H/V}(f^-) < A_0/2$
$f^+$	frequency between $f_0$ and $4f_0$ for which $A_{H/V}(f^+) < A_0/2$
$\sigma_A(f)$	standard deviation of $A_{H/V}(f)$ , $\sigma_A(f)$ is the factor by which the mean $A_{H/V}(f)$ curve should be multiplied or divided
$\sigma_{\log H/V}(f)$	standard deviation of $\log A_{H/V}(f)$ curve
$\theta(f_0)$	threshold value for the stability condition $\sigma_A(f) < \theta(f_0)$

Threshold values for  $\sigma_f$  and  $\sigma_A(f_0)$

Freq. range [Hz]	< 0.2	0.2 – 0.5	0.5 – 1.0	1.0 – 2.0	> 2.0
$\varepsilon(f_0)$ [Hz]	$0.25 f_0$	$0.2 f_0$	$0.15 f_0$	$0.10 f_0$	$0.05 f_0$
$\theta(f_0)$ for $\sigma_A(f_0)$	3.0	2.5	2.0	1.78	1.58
$\log \theta(f_0)$ for $\sigma_{\log H/V}(f_0)$	0.48	0.40	0.30	0.25	0.20

**1, 02**

Instrument: EXT- GEMINI 3D L

Data format: 16 byte

Full scale [mV]: n.a.

Start recording: 27/10/17 11:22:51 End recording: 27/10/17 11:42:51

Channel labels: NORTH SOUTH; EAST WEST ; UP DOWN

GPS data not available

Trace length: 0h20'00". Analysis performed on the entire trace.

Sampling rate: 200 Hz

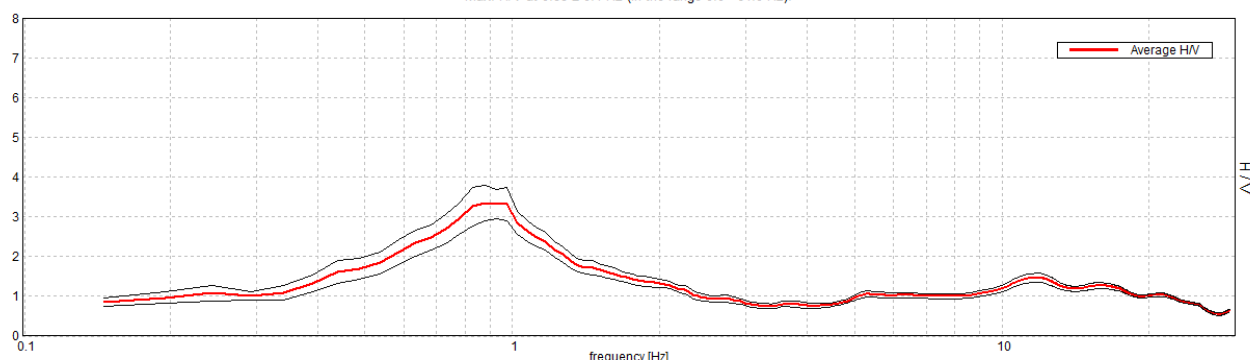
Window size: 20 s

Smoothing type: Triangular window

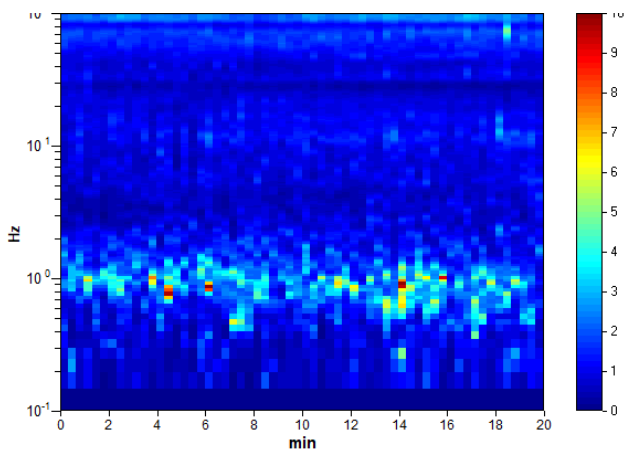
Smoothing: 10%

#### HORIZONTAL TO VERTICAL SPECTRAL RATIO

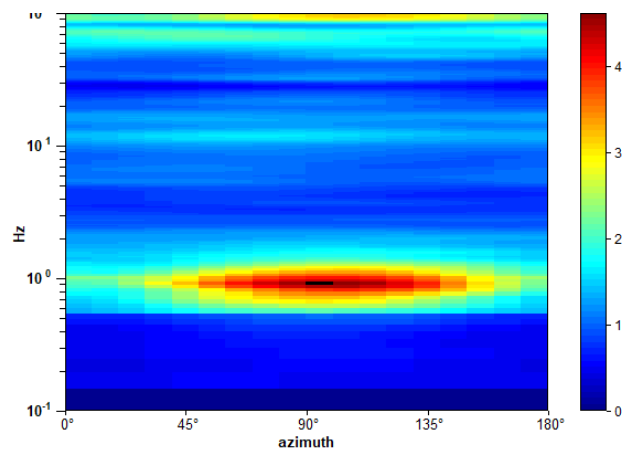
Max. H/V at  $0.88 \pm 0.1$  Hz (in the range 0.0 - 64.0 Hz).



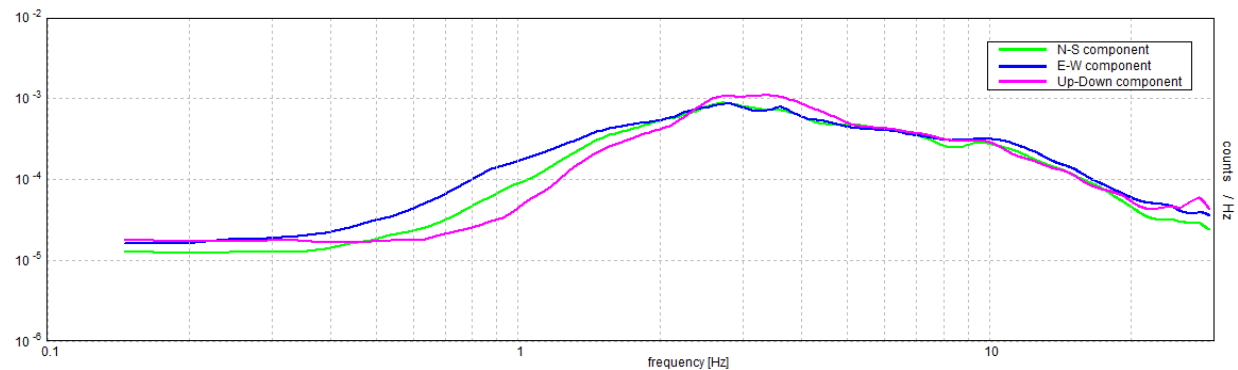
#### H/V TIME HISTORY



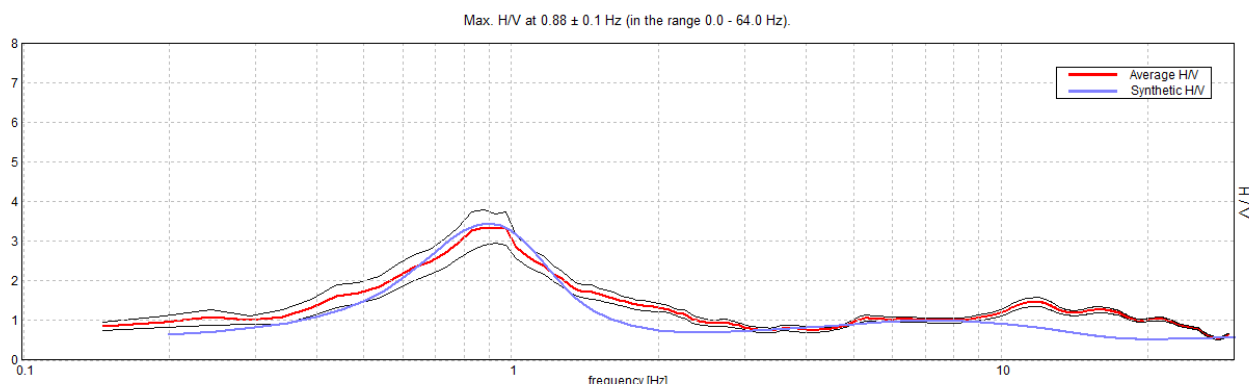
#### DIRECTIONAL H/V



SINGLE COMPONENT SPECTRA

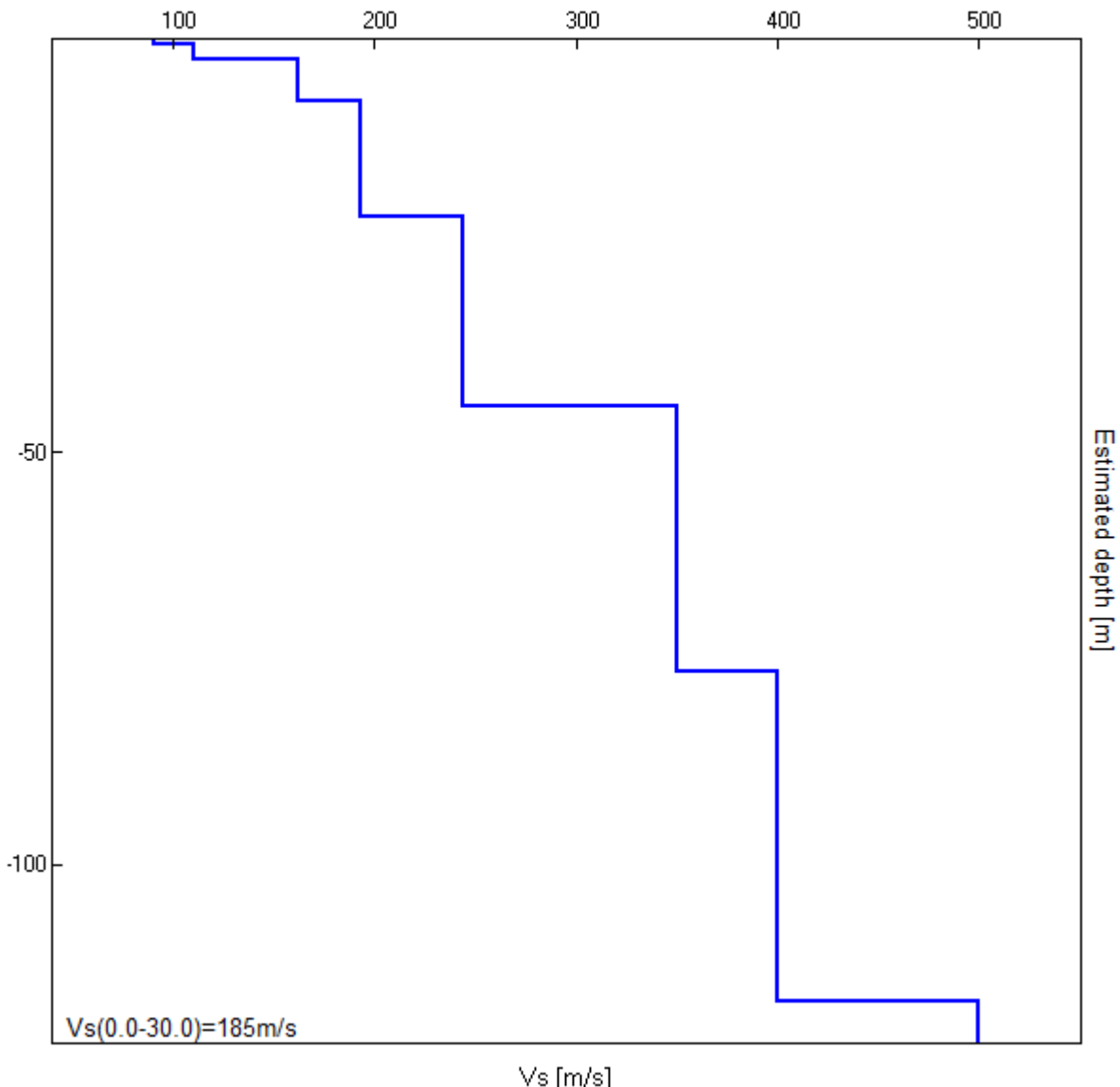


### EXPERIMENTAL vs. SYNTHETIC H/V



Depth at the bottom of the layer [m]	Thickness [m]	Vs [m/s]	Poisson ratio
0.50	0.50	90	0.42
2.50	2.00	110	0.42
7.50	5.00	162	0.42
21.50	14.00	193	0.42
44.50	23.00	244	0.42
76.50	32.00	350	0.42
116.50	40.00	400	0.42
inf.	inf.	500	0.42

$$Vs(0.0-30.0)=185 \text{ m/s}$$



[According to the SESAME, 2005 guidelines. Please read carefully the *Grilla* manual before interpreting the following tables.]

**Max. H/V at  $0.88 \pm 0.1$  Hz (in the range 0.0 - 64.0 Hz).**

**Criteria for a reliable H/V curve**

[All 3 should be fulfilled]

$f_0 > 10 / L_w$	$0.88 > 0.50$	OK	
$n_c(f_0) > 200$	$1054.7 > 200$	OK	
$\sigma_A(f) < 2$ for $0.5f_0 < f < 2f_0$ if $f_0 > 0.5$ Hz $\sigma_A(f) < 3$ for $0.5f_0 < f < 2f_0$ if $f_0 < 0.5$ Hz	Exceeded 0 out of 28 times	OK	

**Criteria for a clear H/V peak**

[At least 5 out of 6 should be fulfilled]

Exists $f^-$ in $[f_0/4, f_0]$   $A_{H/V}(f^-) < A_0 / 2$	0.439 Hz	OK	
Exists $f^+$ in $[f_0, 4f_0]$   $A_{H/V}(f^+) < A_0 / 2$	1.514 Hz	OK	
$A_0 > 2$	3.34 > 2	OK	
$f_{peak}[A_{H/V}(f) \pm \sigma_A(f)] = f_0 \pm 5\%$	$ 0.11763  < 0.05$		NO
$\sigma_f < \varepsilon(f_0)$	$0.10339 < 0.13184$	OK	
$\sigma_A(f_0) < \theta(f_0)$	$0.446 < 2.0$	OK	

$L_w$	window length
$n_w$	number of windows used in the analysis
$n_c = L_w n_w f_0$	number of significant cycles
$f$	current frequency
$f_0$	H/V peak frequency
$\sigma_f$	standard deviation of H/V peak frequency
$\varepsilon(f_0)$	threshold value for the stability condition $\sigma_f < \varepsilon(f_0)$
$A_0$	H/V peak amplitude at frequency $f_0$
$A_{H/V}(f)$	H/V curve amplitude at frequency $f$
$f^-$	frequency between $f_0/4$ and $f_0$ for which $A_{H/V}(f^-) < A_0/2$
$f^+$	frequency between $f_0$ and $4f_0$ for which $A_{H/V}(f^+) < A_0/2$
$\sigma_A(f)$	standard deviation of $A_{H/V}(f)$ , $\sigma_A(f)$ is the factor by which the mean $A_{H/V}(f)$ curve should be multiplied or divided
$\sigma_{\log H/V}(f)$	standard deviation of $\log A_{H/V}(f)$ curve
$\theta(f_0)$	threshold value for the stability condition $\sigma_A(f) < \theta(f_0)$

Threshold values for  $\sigma_f$  and  $\sigma_A(f_0)$

Freq. range [Hz]	< 0.2	0.2 – 0.5	0.5 – 1.0	1.0 – 2.0	> 2.0
$\varepsilon(f_0)$ [Hz]	$0.25 f_0$	$0.2 f_0$	$0.15 f_0$	$0.10 f_0$	$0.05 f_0$
$\theta(f_0)$ for $\sigma_A(f_0)$	3.0	2.5	2.0	1.78	1.58
$\log \theta(f_0)$ for $\sigma_{\log H/V}(f_0)$	0.48	0.40	0.30	0.25	0.20

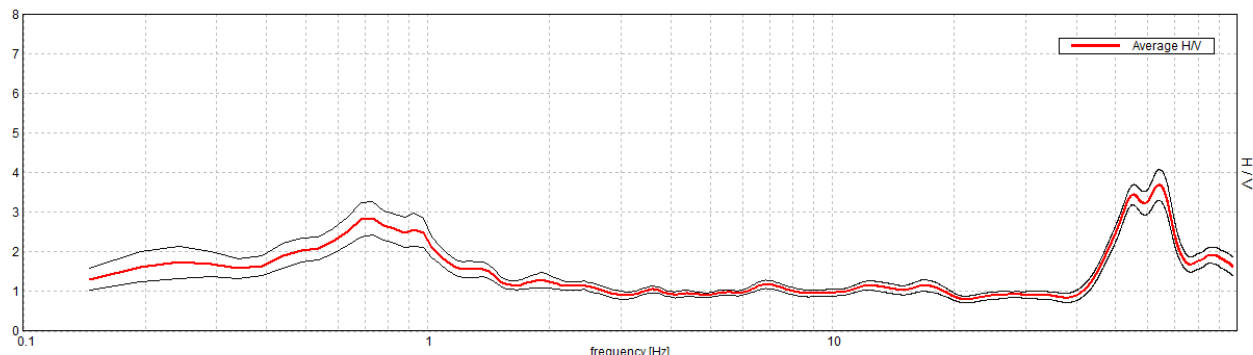
**01, 03**

Instrument: EXT- GEMINI 3D L  
 Data format: 16 byte  
 Full scale [mV]: n.a.  
 Start recording: 27/10/17 12:27:02 End recording: 27/10/17 12:47:02  
 Channel labels: NORTH SOUTH; EAST WEST ; UP DOWN  
 GPS data not available

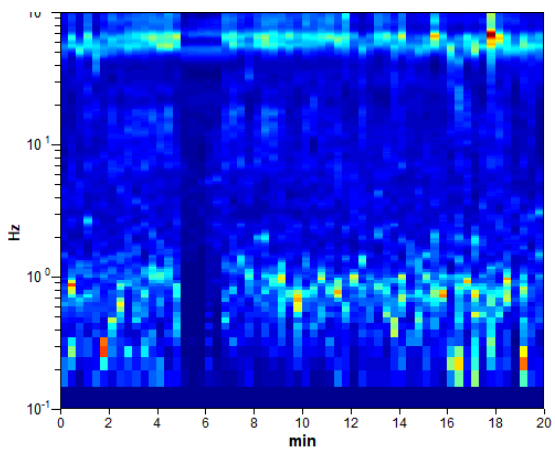
Trace length: 0h20'00". Analysis performed on the entire trace.  
 Sampling rate: 200 Hz  
 Window size: 20 s  
 Smoothing type: Triangular window  
 Smoothing: 10%

#### HORIZONTAL TO VERTICAL SPECTRAL RATIO

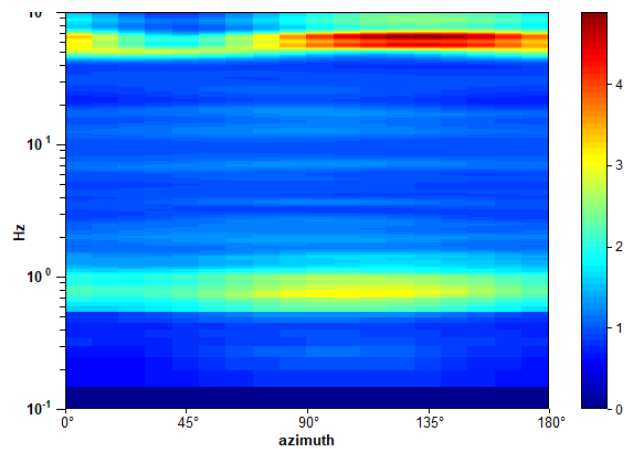
Max. H/V at  $63.96 \pm 16.85$  Hz. (In the range 0.0 - 64.0 Hz).



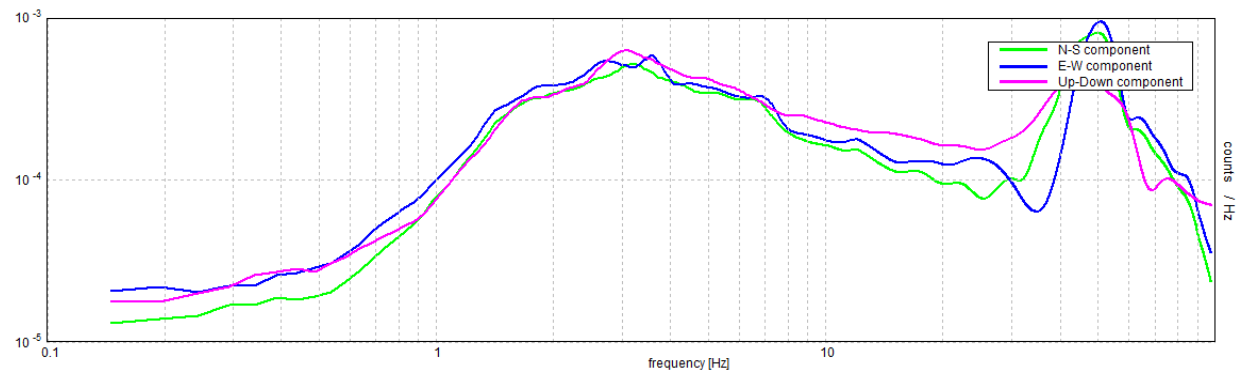
#### H/V TIME HISTORY



#### DIRECTIONAL H/V



SINGLE COMPONENT SPECTRA



[According to the SESAME, 2005 guidelines. Please read carefully the *Grilla* manual before interpreting the following tables.]

**Max. H/V at  $63.96 \pm 16.85$  Hz (in the range 0.0 - 64.0 Hz).**

**Criteria for a reliable H/V curve**

[All 3 should be fulfilled]

$f_0 > 10 / L_w$	$63.96 > 0.50$	OK	
$n_c(f_0) > 200$	$76757.8 > 200$	OK	
$\sigma_A(f) < 2$ for $0.5f_0 < f < 2f_0$ if $f_0 > 0.5\text{Hz}$ $\sigma_A(f) < 3$ for $0.5f_0 < f < 2f_0$ if $f_0 < 0.5\text{Hz}$	Exceeded 0 out of 1394 times	OK	

**Criteria for a clear H/V peak**

[At least 5 out of 6 should be fulfilled]

Exists $f^-$ in $[f_0/4, f_0]$   $A_{H/V}(f^-) < A_0 / 2$	46.924 Hz	OK	
Exists $f^+$ in $[f_0, 4f_0]$   $A_{H/V}(f^+) < A_0 / 2$	73.486 Hz	OK	
$A_0 > 2$	3.69 > 2	OK	
$f_{peak}[A_{H/V}(f) \pm \sigma_A(f)] = f_0 \pm 5\%$	$ 0.26343  < 0.05$		NO
$\sigma_f < \varepsilon(f_0)$	$16.8501 < 3.19824$		NO
$\sigma_A(f_0) < \theta(f_0)$	0.387 < 1.58	OK	

$L_w$	window length
$n_w$	number of windows used in the analysis
$n_c = L_w n_w f_0$	number of significant cycles
$f$	current frequency
$f_0$	H/V peak frequency
$\sigma_f$	standard deviation of H/V peak frequency
$\varepsilon(f_0)$	threshold value for the stability condition $\sigma_f < \varepsilon(f_0)$
$A_0$	H/V peak amplitude at frequency $f_0$
$A_{H/V}(f)$	H/V curve amplitude at frequency $f$
$f^-$	frequency between $f_0/4$ and $f_0$ for which $A_{H/V}(f^-) < A_0/2$
$f^+$	frequency between $f_0$ and $4f_0$ for which $A_{H/V}(f^+) < A_0/2$
$\sigma_A(f)$	standard deviation of $A_{H/V}(f)$ , $\sigma_A(f)$ is the factor by which the mean $A_{H/V}(f)$ curve should be multiplied or divided
$\sigma_{\log H/V}(f)$	standard deviation of $\log A_{H/V}(f)$ curve
$\theta(f_0)$	threshold value for the stability condition $\sigma_A(f) < \theta(f_0)$

Threshold values for  $\sigma_f$  and  $\sigma_A(f_0)$

Freq. range [Hz]	< 0.2	0.2 – 0.5	0.5 – 1.0	1.0 – 2.0	> 2.0
$\varepsilon(f_0)$ [Hz]	$0.25 f_0$	$0.2 f_0$	$0.15 f_0$	$0.10 f_0$	$0.05 f_0$
$\theta(f_0)$ for $\sigma_A(f_0)$	3.0	2.5	2.0	1.78	1.58
$\log \theta(f_0)$ for $\sigma_{\log H/V}(f_0)$	0.48	0.40	0.30	0.25	0.20

## **GEO GROUP s.r.l.**

Indagini geognostiche e geofisiche – geologia applicata alle costruzioni – laboratorio geotecnico - idrogeologia  
– coltivazione cave– bonifiche – consolidamenti – geologia ambientale – consulenze geologiche e geotecniche

### **ALLEGATO N° 3**

### ***Verifica alla liquefazione***

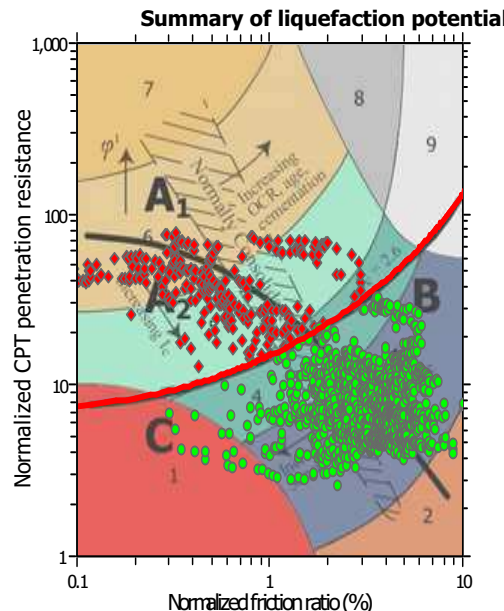
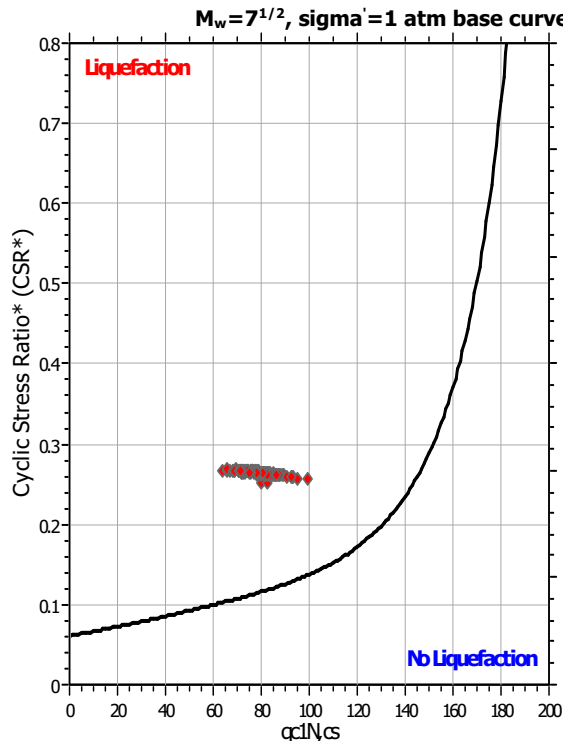
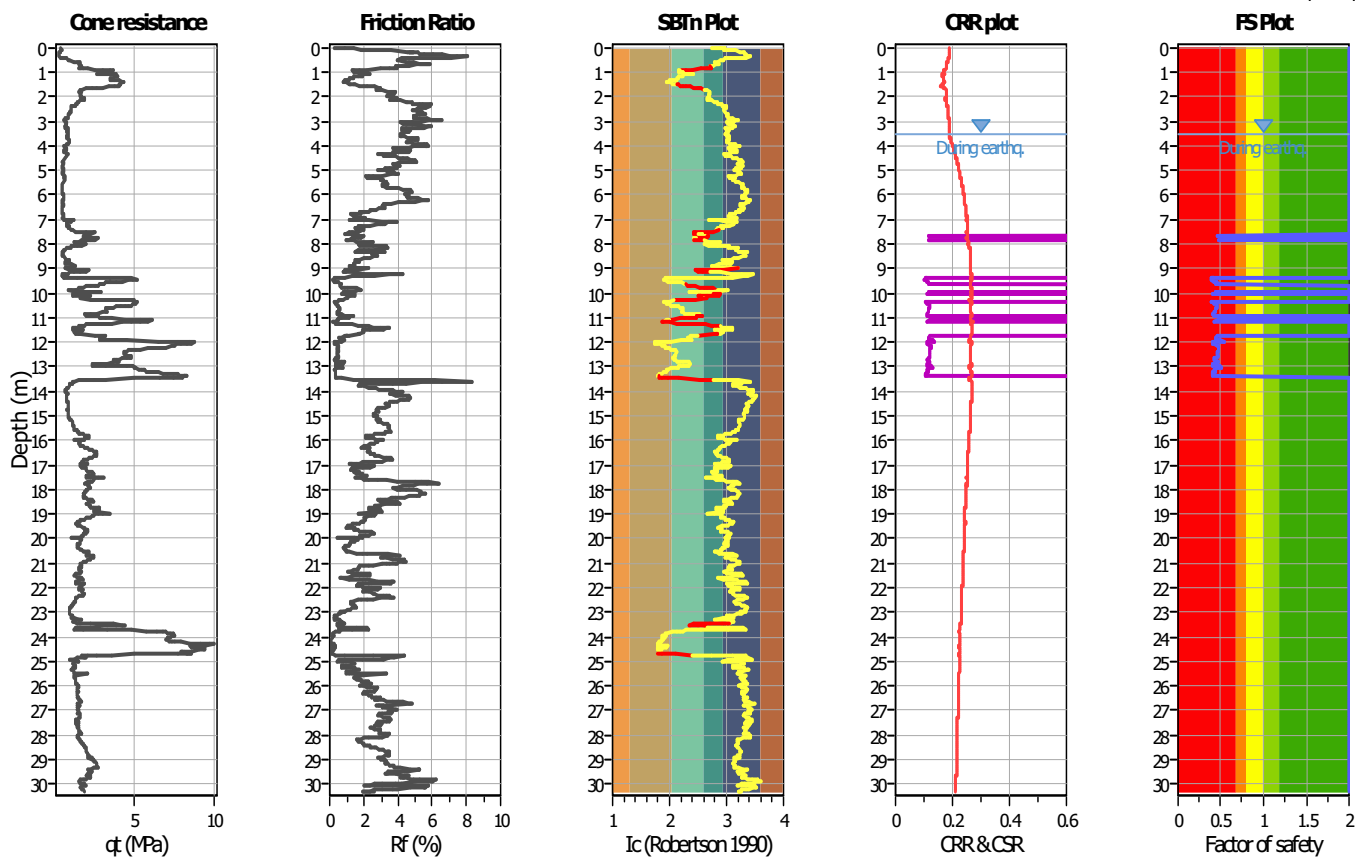
## LIQUEFACTION ANALYSIS REPORT

**Project title : Centro Unificato dell'Emergenza sul Territorio      Location : Ferrara**

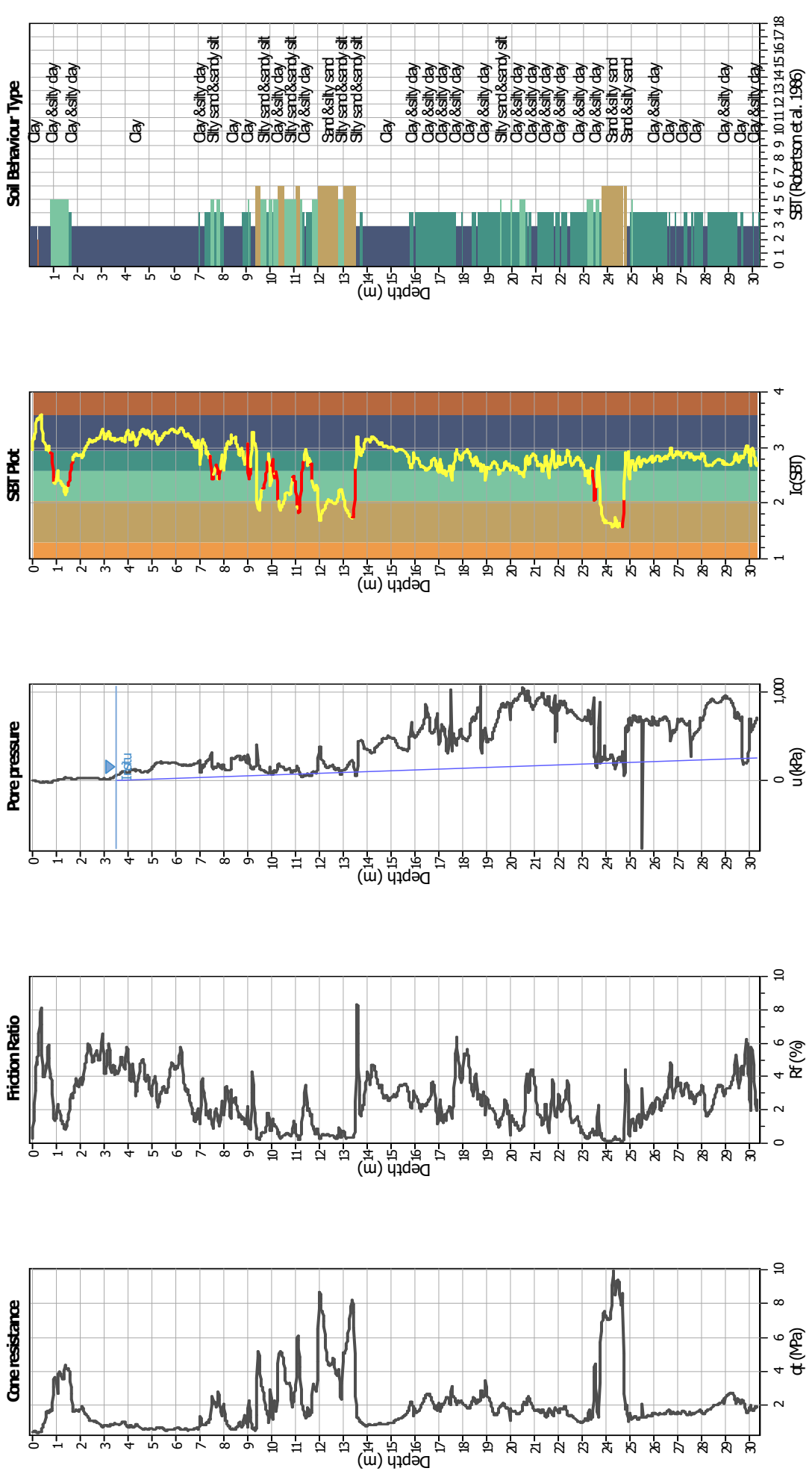
**CPT file : CPTU 1**

### Input parameters and analysis data

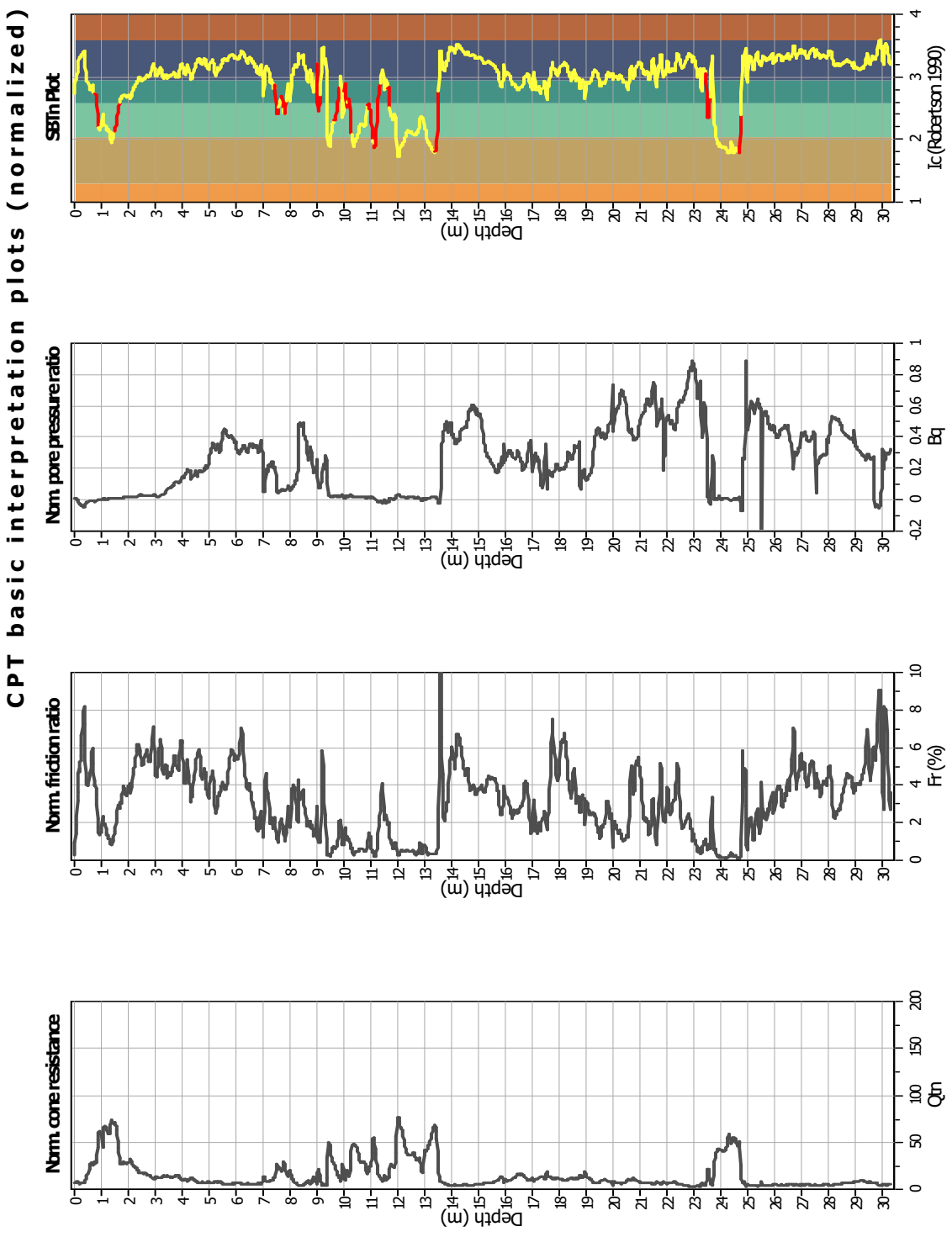
Analysis method:	B&I (2014)	G.W.T. (in-situ):	3.50 m	Use fill:	No	Clay like behavior applied:	Sands only
Fines correction method:	B&I (2014)	G.W.T. (earthq.):	3.50 m	Fill height:	N/A	Limit depth applied:	Yes
Points to test:	Based on Ic value	Average results interval:	1	Fill weight:	N/A	Limit depth:	20.00 m
Earthquake magnitude $M_w$ :	6.14	Ic cut-off value:	2.60	Trans. detect. applied:	Yes	MSF method:	Method
Peak ground acceleration:	0.34	Unit weight calculation:	Based on SBT	$K_o$ applied:	Yes		



Zone A<sub>1</sub>: Cyclic liquefaction likely depending on size and duration of cyclic loading  
 Zone A<sub>2</sub>: Cyclic liquefaction and strength loss likely depending on loading and ground geometry  
 Zone B: Liquefaction and post-earthquake strength loss unlikely, check cyclic softening  
 Zone C: Cyclic liquefaction and strength loss possible depending on soil plasticity, brittleness/sensitivity, strain to peak undrained strength and ground geometry

**CPT basic interpretation plots****Input parameters and analysis data**

Analysis method:	B&I (2014)
Fines correction method:	K <sub>o</sub> applied
Points to test:	Based on SBT
Earthquake magnitude $M_w$ :	6.14
Peak ground acceleration:	0.34
Depth to water table (in situ):	3.50 m
Fill height:	N/A
Depth to GWT (erthq.):	3.50 m
Average results interval:	1
Ic cut-off value:	2.60
Unit weight calculation:	No
Use fill:	Yes
Fill weight:	N/A
Transition detect. applied:	Yes
$K_0$ applied:	Sands only
Clay like behavior applied:	Yes
Limit depth applied:	20.00 m
Limit depth:	N/A



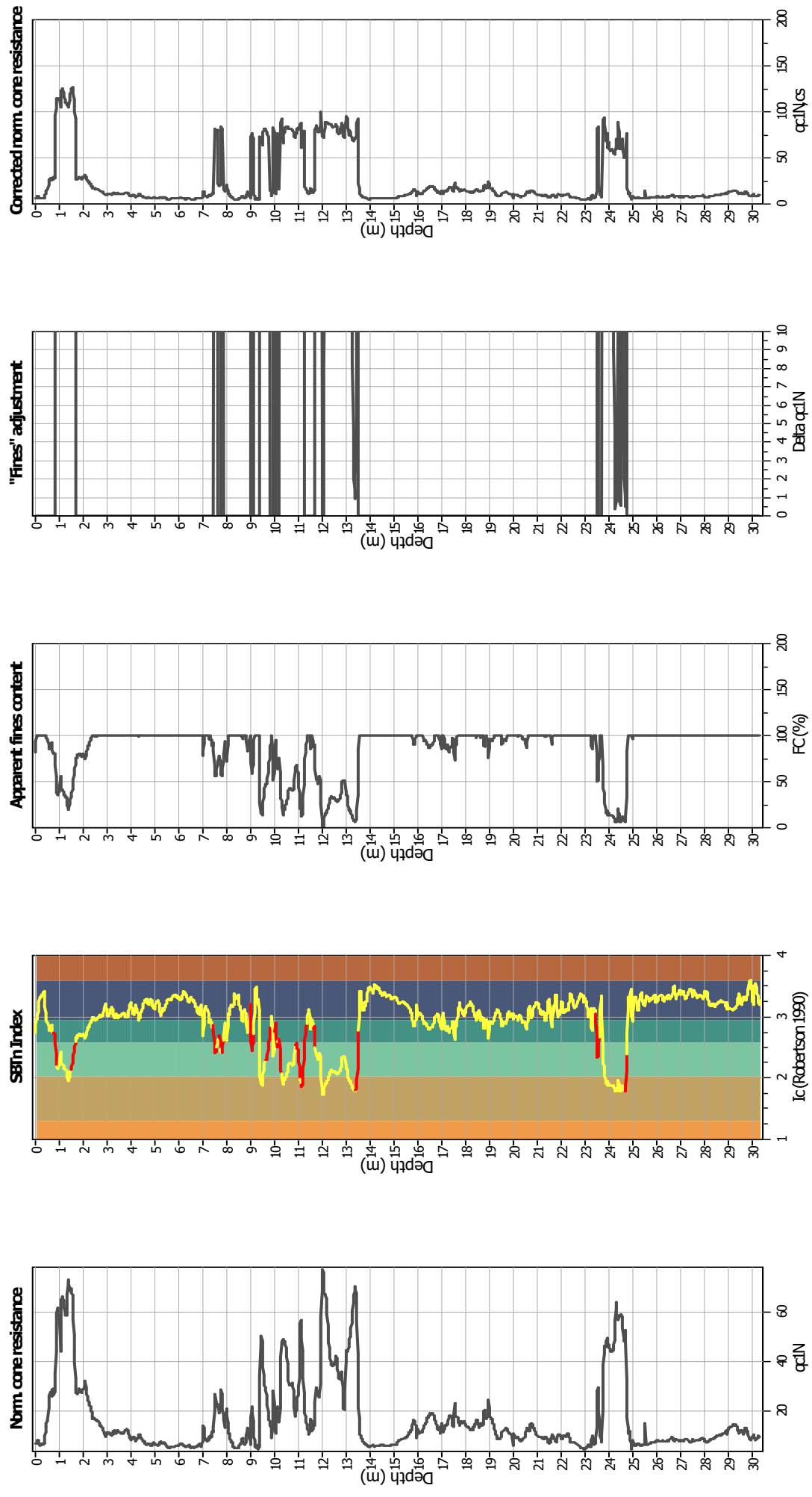
## **Input parameters and analysis data**

Analysis method:	B&L (2014)
Fines correction method:	B&L (2014)
Points to test:	Based on IC values
Earthquake magnitude $M_w$ :	6.14
Peak ground acceleration:	0.34
Depth to water table (in situ):	3.50 m

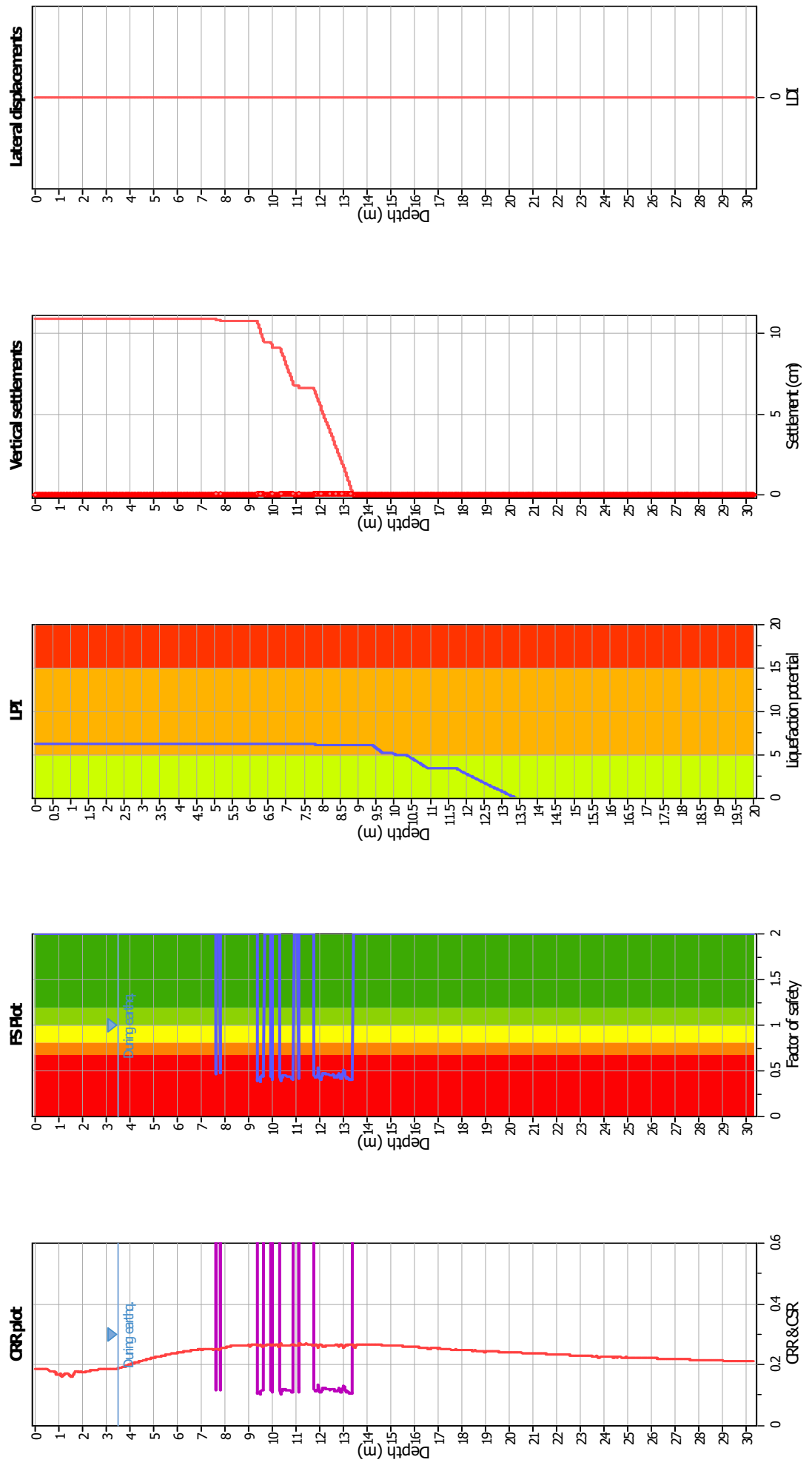
Depth to GWT (erthq.):	3.50 m	Fill weight:	N/A
Average results interval:	1	Transition detect. applied:	Yes
Ic cut-off value:	2.60	$K_o$ applied:	Yes
Unit weight calculation:	Based on SBT	Clay like behavior applied:	Sand
Use fill:	No	Limit depth applied:	Yes
Fill height:	N/A	Limit depth:	20.00

**SBTr legend**

1. Sensitive fine grained	4. Clayey silt to silty
2. Organic material	5. Silty sand to sandy silt
3. Clay to silty clay	6. Clean sand to silty sand
7. Gravelly sand to sand	
8. Very stiff sand to	
9. Very stiff fine grained	

**Liquefaction analysis overall plots (intermediate results)****Input parameters and analysis data**

Analysis method:	B&I (2014)	Depth to GWT (erthq.):	3.50 m
Fines correction method:	B&I (2014)	Average results interval:	1
Points to test:	Based on Ic value	Ic cut-off value:	2.60
Earthquake magnitude $M_w$ :	6.14	Unit weight calculation:	Based on SBT
Peak ground acceleration:	0.34	Use fill:	No
Depth to water table (in situ):	3.50 m	Fill height:	N/A

**Liquefaction analysis overall plots****Input parameters and analysis data**

Analysis method:	B&I (2014)
Fines correction method:	Based on Ic value
Points to test:	Ic cut-off value:
Earthquake magnitude $M_w$ :	6.14
Peak ground acceleration:	0.34
Depth to water table (in situ):	3.50 m

Fill weight:	N/A
Transition detect. applied:	Yes
$K_0$ applied:	Yes
Clay-like behavior applied:	Sands only
Limit depth applied:	No
Limit depth:	20.00 m

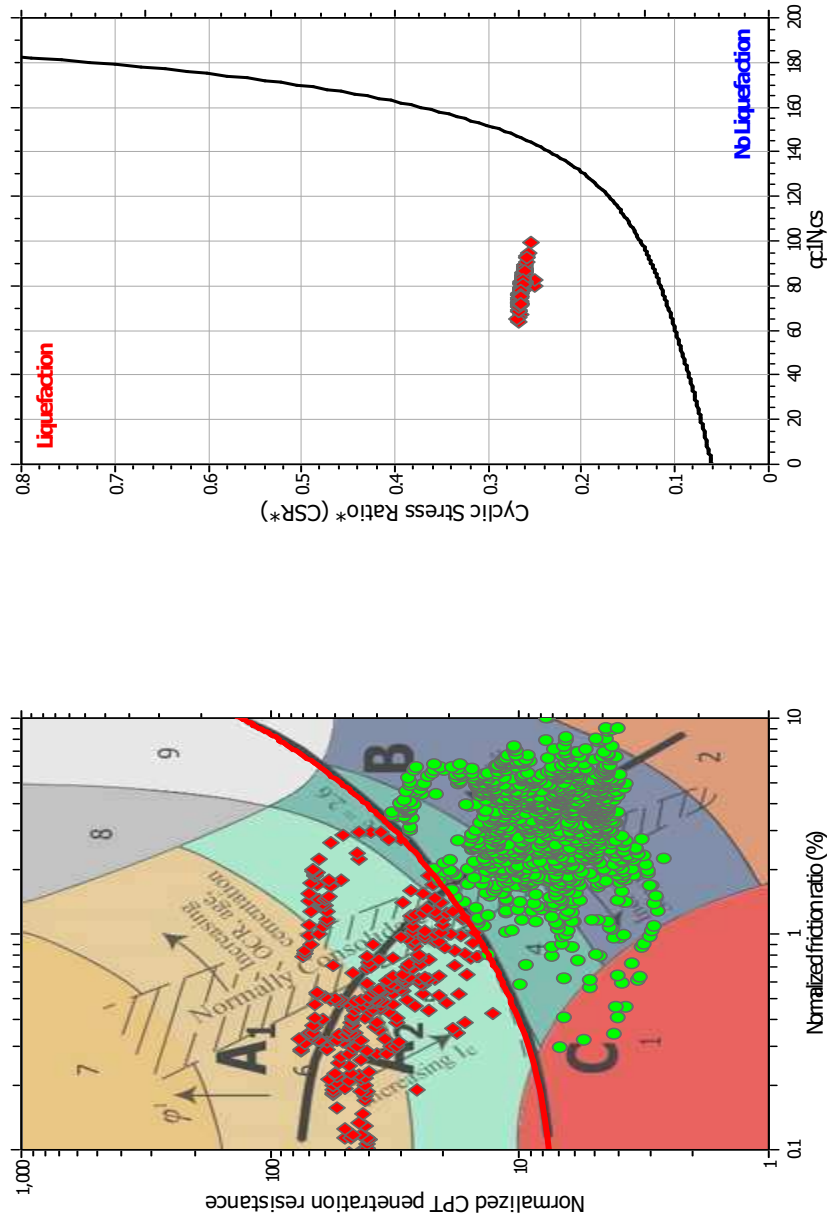
**LPI color scheme**

- Very high risk (Red)
- High risk (Orange)
- Low risk (Yellow/Green)

**F.S. color scheme**

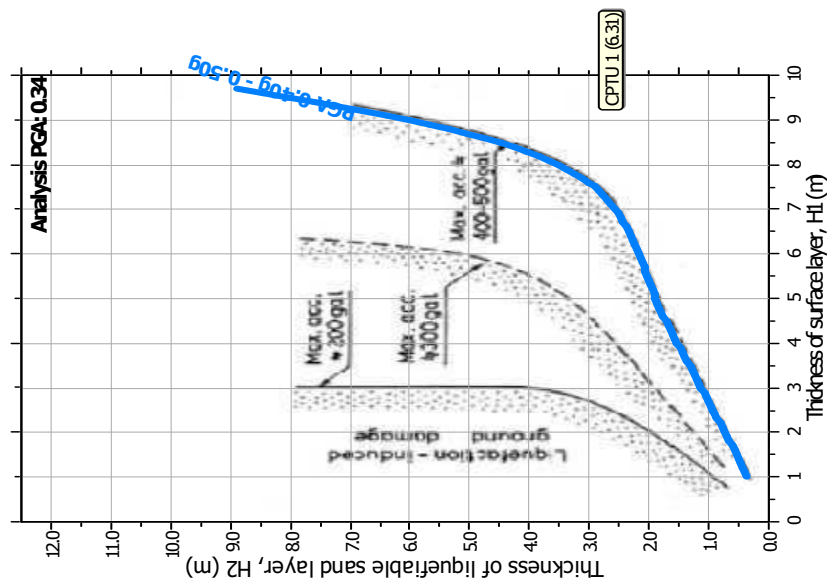
- Almost certain it will liquefy (Red)
- Very likely to liquefy (Orange)
- Liquefaction and no lig. are equally likely (Yellow)
- Unlike to liquefy (Green)
- Almost certain it will not liquefy (Dark Green)

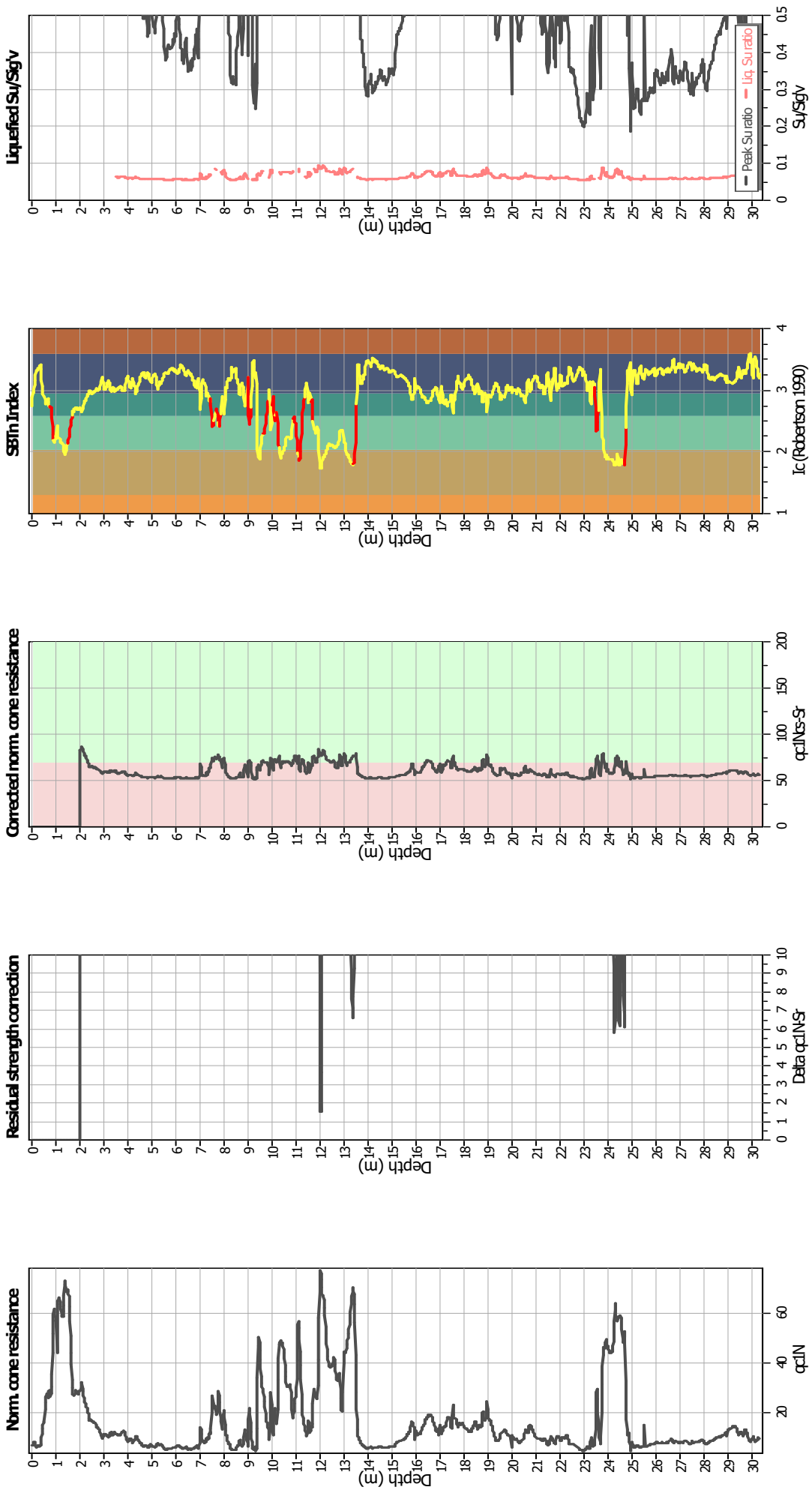
## Liquefaction analysis summary plots



### Input parameters and analysis data

Analysis method:	B&I (2014)	Depth to GWT (erthq.):	3.50 m	Fill weight:	N/A
Fines correction method:	Based on Ic value	Average results interval:	1	Transition detect. applied:	Yes
Points to test:	Based on Ic value	Ic cut-off value:	2.60	$K_0$ applied:	Yes
Earthquake magnitude $M_w$ :	6.14	Unit weight calculation:	Based on SBT	Clay like behavior applied:	Sands only
Peak ground acceleration:	0.34	Use fill:	No	Limit depth applied:	Yes
Depth to water table (in situ):	3.50 m	Fill height:	N/A	Limit depth:	20.00 m



**Check for strength loss plots (Idriess & Boulangier (2008))****Input parameters and analysis data**

Analysis method:	B&I (2014)	Depth to GWT (erthq.):	3.50 m
Fines correction method:	B&I (2014)	Average results interval:	1
Points to test:	Based on Ic value	Ic cut-off value:	2.60
Earthquake magnitude M <sub>w</sub> :	6.14	Unit weight calculation:	Based on SBT
Peak ground acceleration:	0.34	Use fill:	No
Depth to water table (in situ):	3.50 m	Fill height:	N/A
		Fill weight:	N/A
		Transition detect. applied:	Yes
		K <sub>0</sub> applied:	Yes
		Clay like behavior applied:	Sands only
		Limit depth applied:	Yes
		Limit depth:	20.00 m

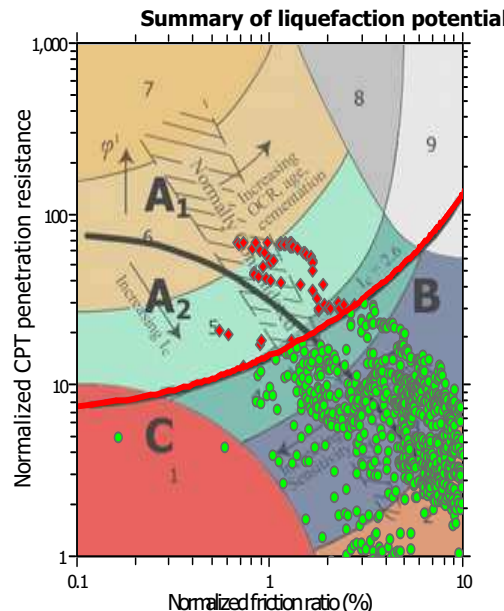
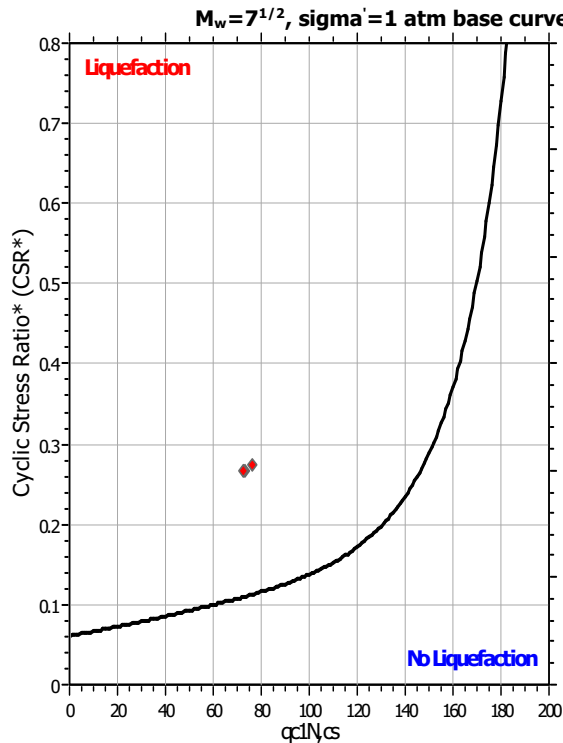
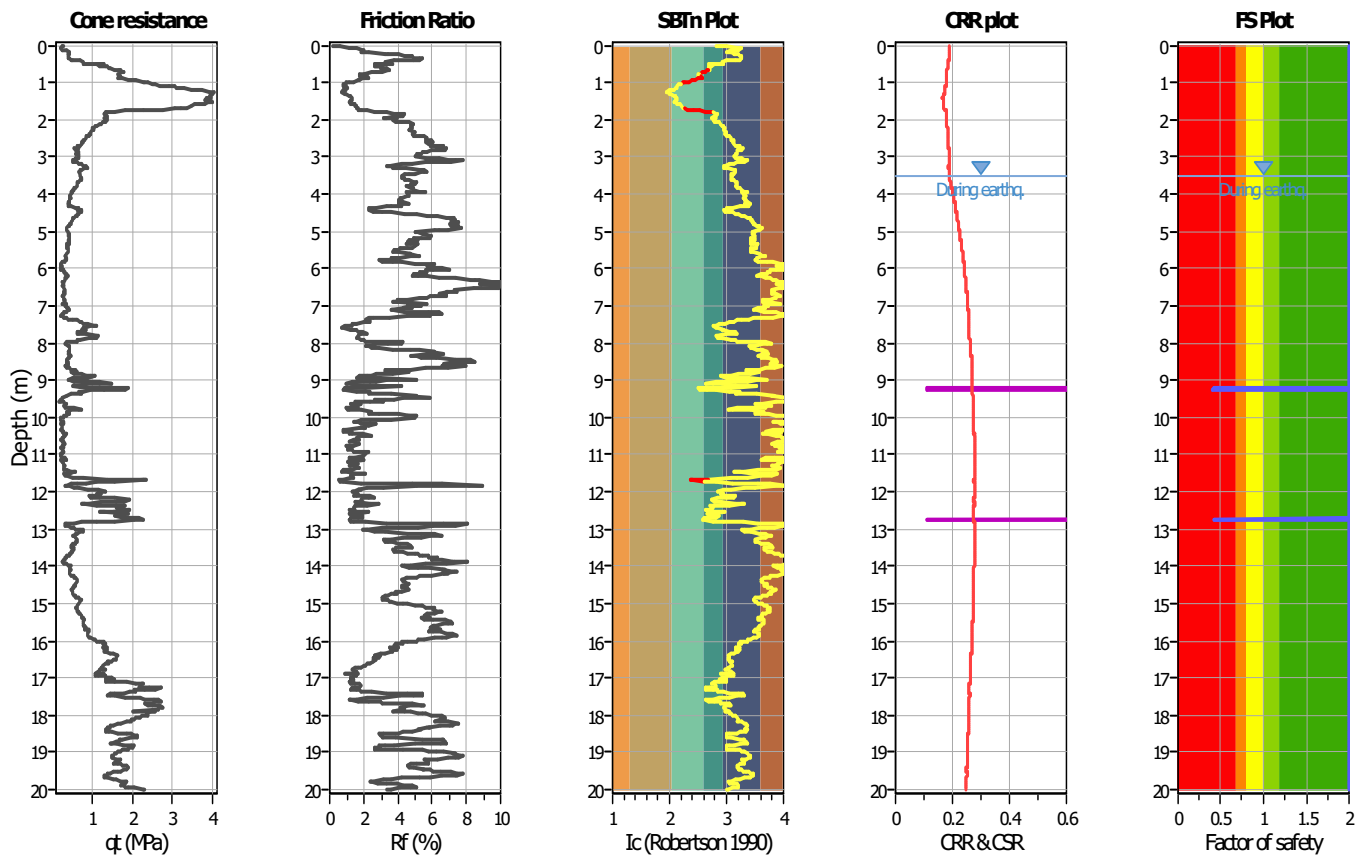
## LIQUEFACTION ANALYSIS REPORT

**Project title : Centro Unificato dell'Emergenza sul Territorio      Location : Ferrara**

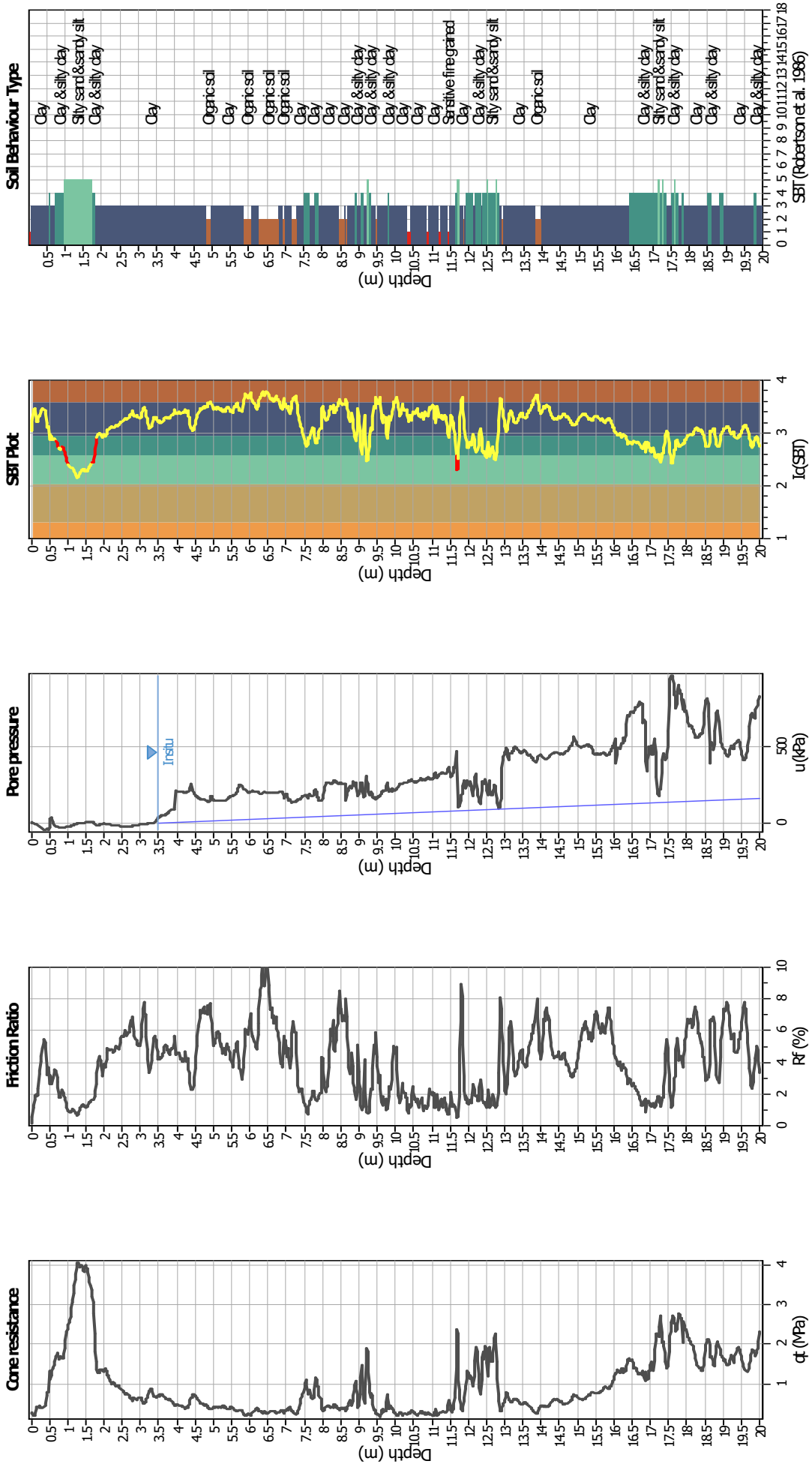
**CPT file : CPTU 2**

### Input parameters and analysis data

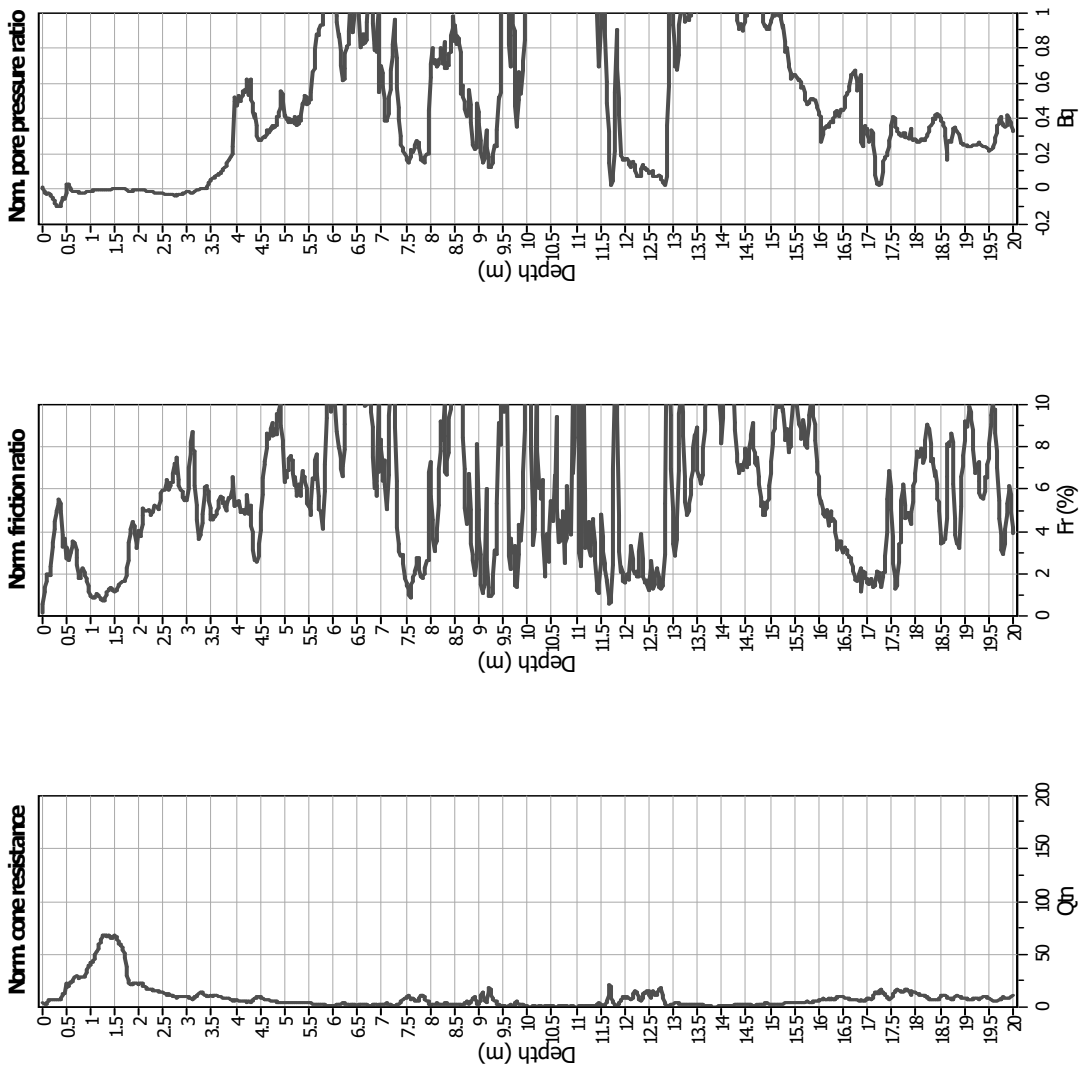
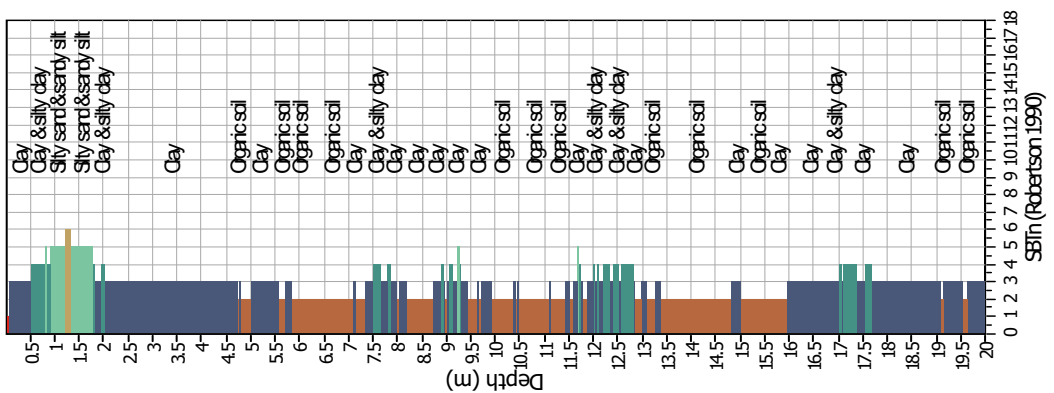
Analysis method:	B&I (2014)	G.W.T. (in-situ):	3.50 m	Use fill:	No	Clay like behavior applied:	Sands only
Fines correction method:	B&I (2014)	G.W.T. (earthq.):	3.50 m	Fill height:	N/A	Limit depth applied:	Yes
Points to test:	Based on Ic value	Average results interval:	1	Fill weight:	N/A	Limit depth:	20.00 m
Earthquake magnitude $M_w$ :	6.14	Ic cut-off value:	2.60	Trans. detect. applied:	Yes	MSF method:	Method
Peak ground acceleration:	0.34	Unit weight calculation:	Based on SBT	$K_o$ applied:	Yes		



Zone A<sub>1</sub>: Cyclic liquefaction likely depending on size and duration of cyclic loading  
 Zone A<sub>2</sub>: Cyclic liquefaction and strength loss likely depending on loading and ground geometry  
 Zone B: Liquefaction and post-earthquake strength loss unlikely, check cyclic softening  
 Zone C: Cyclic liquefaction and strength loss possible depending on soil plasticity, brittleness/sensitivity, strain to peak undrained strength and ground geometry

**CPT basic interpretation plots****Input parameters and analysis data**

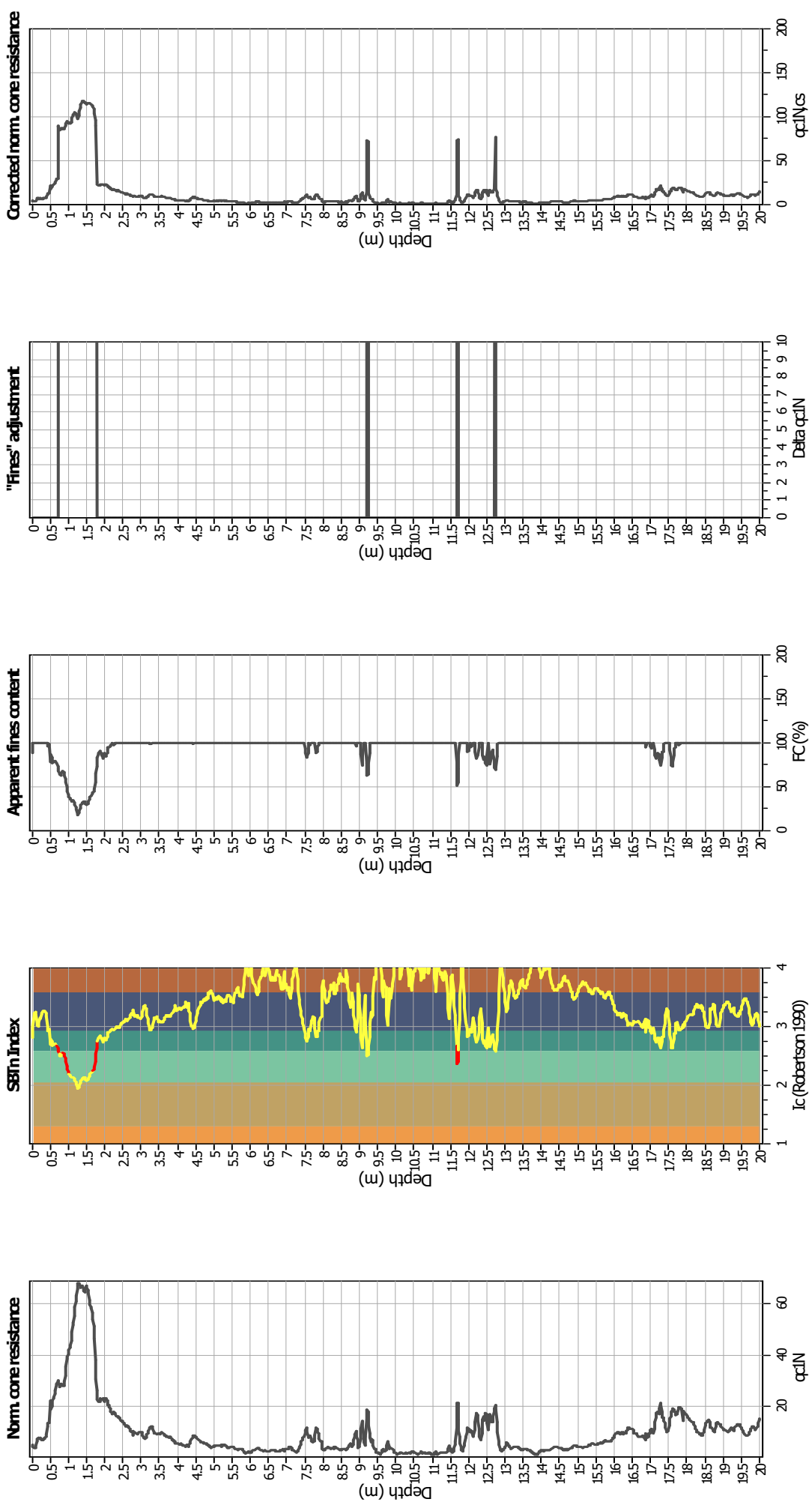
Analysis method:	B&I (2014)	Depth to GWT (erthq.):	3.50 m	Fill weight:	N/A
Fines correction method:	B&I (2014)	Average results interval:	1	Transition detect. applied:	Yes
Points to test:	Based on $I_c$ value	Ic cut-off value:	2.60	$K_0$ applied:	
Earthquake magnitude $M_w$ :	6.14	Unit weight calculation:	Based on SBT	Clay like behavior applied:	
Peak ground acceleration:	0.34	Use fill:	No	Limit depth applied:	
Depth to water table (in situ):	3.50 m	Fill height:	N/A	Limit depth:	

**CPT basic interpretation plots (normalized)****Num. Soil Behavior Type****Input parameters and analysis data**

Analysis method:	B&I (2014)
Fines correction method:	Ic (2014)
Points to test:	Based on Ic value
Earthquake magnitude $M_w$ :	6.14
Peak ground acceleration:	0.34
Depth to water table (in situ):	3.50 m
Fill height:	N/A
Fill weight:	N/A
Transition detect. applied:	Yes
$K_0$ applied:	Yes
Clay like behavior applied:	Sands only
Limit depth applied:	Yes
Limit depth:	20.00 m

**SBTn legend**

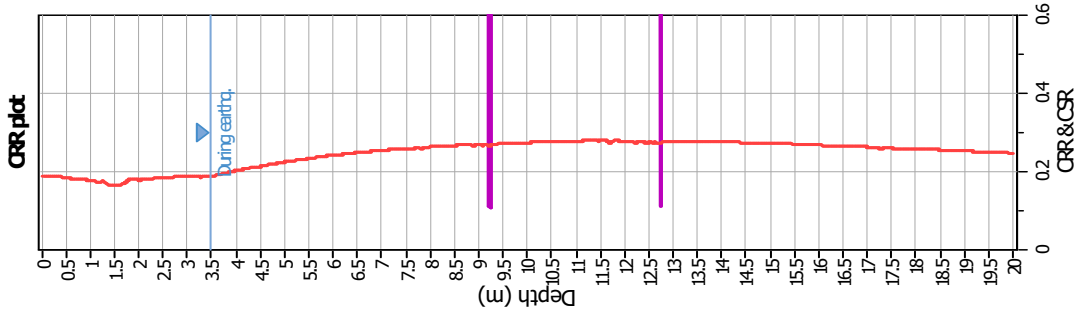
1. Sensitive fine grained	4. Clayey silt to silty
2. Organic material	5. Silty sand to sandy silt
3. Clay to silty clay	6. Clean sand to silty sand
	7. Gravely sand to sand
	8. Very stiff sand to
	9. Very stiff fine grained

**Liquefaction analysis overall plots (intermediate results)****Input parameters and analysis data**

Analysis method:	B&I (2014)	Depth to GWT (earthq.):	3.50 m
Fines correction method:	B&I (2014)	Average results interval:	1
Points to test:	Based on Ic value	Ic cut-off value:	2.60
Earthquake magnitude $M_w$ :	6.14	Unit weight calculation:	Based on SBT
Peak ground acceleration:	0.34	Use fill:	No
Depth to water table (in situ):	3.50 m	Fill height:	N/A

Fill weight:	N/A
Transition detect. applied:	Yes
$K_0$ applied:	Yes
Clay like behavior applied:	Sands only
Limit depth applied:	Yes
Limit depth:	20.00 m

## Liquefaction analysis overall plots



## **Input parameters and analysis data**

Analysis method:	B&I (2014)
Fines correction method:	B&I (2014)
Points to test:	Based on Ic value
Earthquake magnitude $M_w$ :	6.14
Peak ground acceleration:	0.34
Depth to water table (in situ):	3.50 m

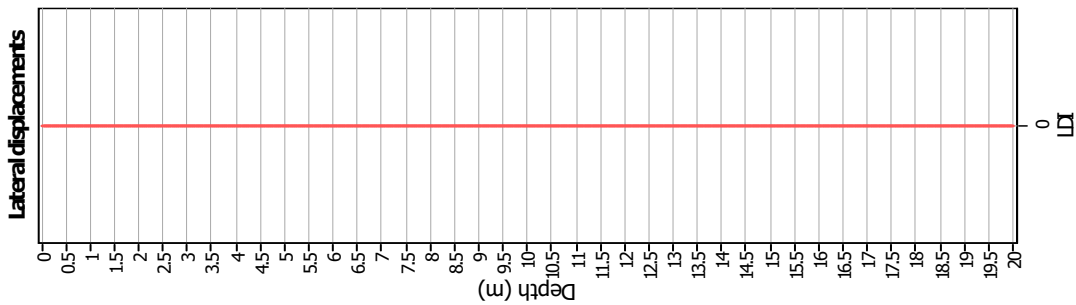
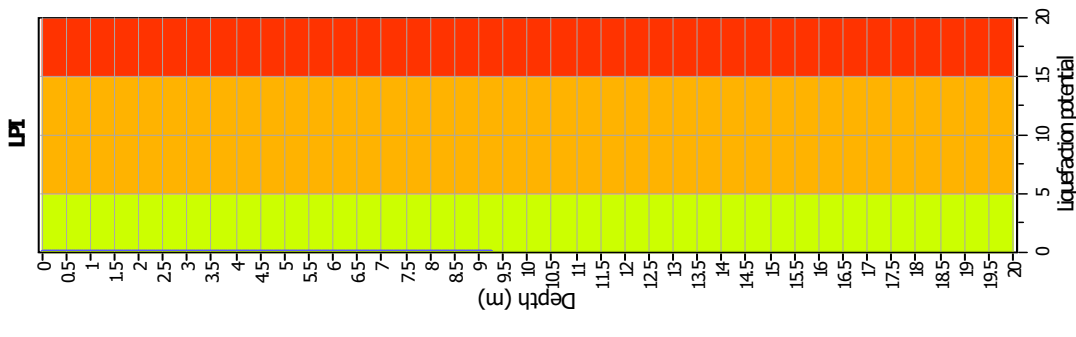
Fill weight: N/A  
 Transition detect. applied: Yes  
 $K_g$  applied: Yes  
 Clay like behavior applied: Sand  
 Limit depth applied: Yes  
 Limit depth: 20.00

F.S. color scheme

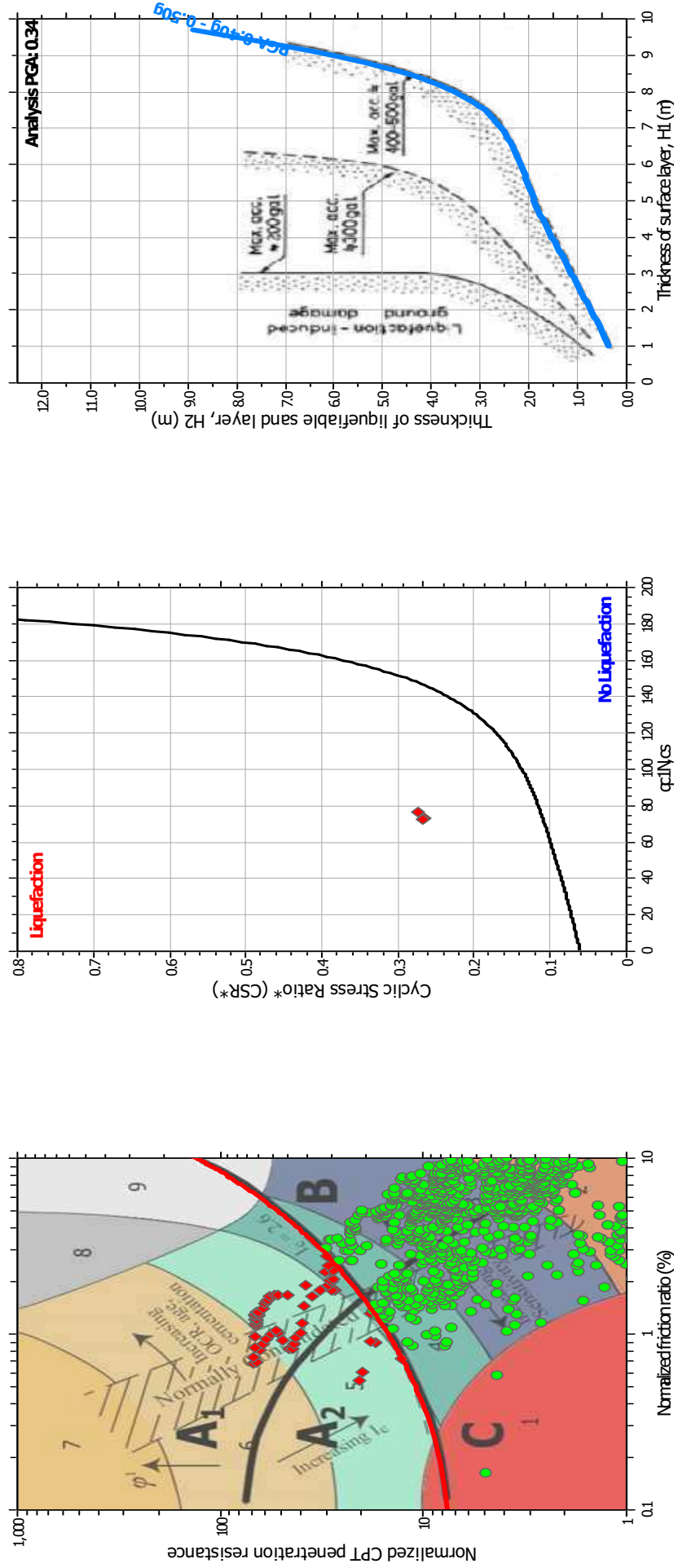
- Almost certain it will liquefy
- Very likely to liquefy
- Liquefaction and no liq. are equal
- Unlike to liquefy
- Almost certain it will not liquefy

LPI color scheme

Very high risk  
High risk  
Low risk



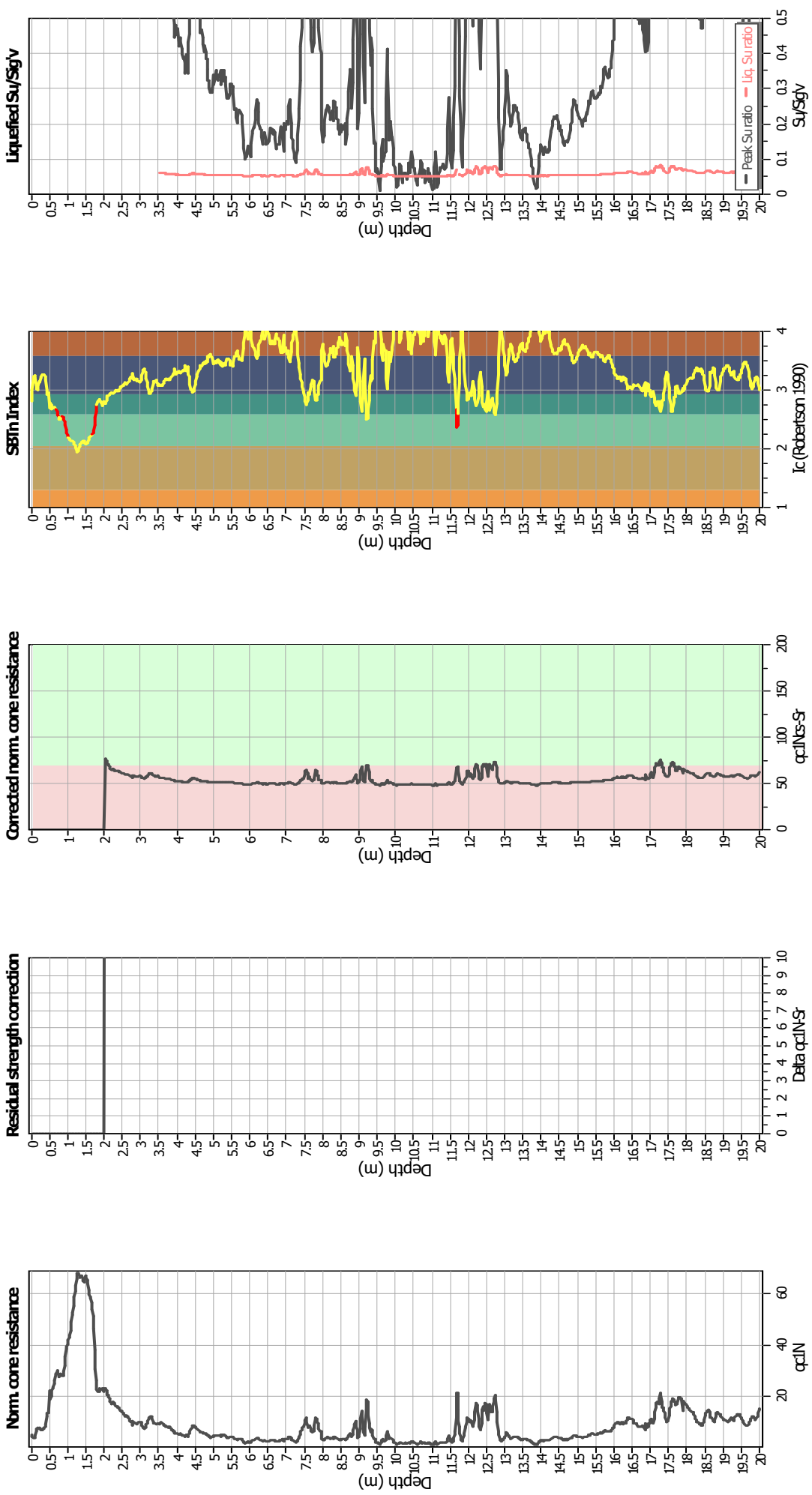
## Liquefaction analysis summary plots



### Input parameters and analysis data

Analysis method:	B&I (2014)	Depth to GWT (erthq.):	3.50 m
Fines correction method:	B&I (2014)	Average results interval:	1
Points to test:	Based on I <sub>c</sub> value	I <sub>c</sub> cut-off value:	2.60
Earthquake magnitude M <sub>w</sub> :	6.14	Unit weight calculation:	Based on SBT
Peak ground acceleration:	0.34	Use fill:	No
Depth to water table (in situ):	3.50 m	Fill height:	N/A
		Fill weight:	N/A
		Transition detect. applied:	Yes
		K <sub>0</sub> applied:	Yes
		Clay like behavior applied:	Sands only
		Limit depth applied:	Yes
		Limit depth:	20.00 m

## Check for strength loss plots (Idriess & Boulangier (2008))



## Input parameters and analysis data

Analysis method:	B&I (2014)	Depth to GWT (erthq.):	3.50 m
Fines correction method:	B&I (2014)	Average results interval:	1
Points to test:	Based on Ic value	Ic cut-off value:	2.60
Earthquake magnitude M <sub>w</sub> :	6.14	Unit weight calculation:	Based on SBT
Peak ground acceleration:	0.34	Use fill:	No
Depth to water table (in situ):	3.50 m	Fill height:	N/A